

## รายงานการวิจัย

เรื่อง

การสังเคราะห์ไบโอดีเซลประเภทเอทิลเอสเทอร์จากน้ำมันเมล็ดยางพาราและน้ำมัน  
สบู่ด้วยใช้ตัวเร่งปฏิกิริยาแบบบริหพันธุ์จากเปลือกหอยแครง

Synthesis of the ethyl ester biodiesel from rubber seed oil and *Jatropha curcas* oil by using heterogeneous catalyst from *Anadara granosa* shell

คณบดีวิจัย

นางศศิริมล วุฒิกนกกาญจน์

นายชัชวาลย์ สุขมั่น

ดร. อนาพร ชื่นอิม

โครงการวิจัยงบประมาณแผ่นดิน ประจำปีงบประมาณ พ.ศ. 2557

มหาวิทยาลัยเทคโนโลยีราชมงคลกรุงเทพ

## กิตติกรรมประกาศ

งานวิจัยเรื่องการสังเคราะห์ใบโอดีเซลประเภทเอทิลเอสเทอร์จากน้ำมันเมล็ดยางพาราและน้ำมันสนบู่ ดำเนินการใช้ตัวเร่งปฏิกิริยาแบบบิวิรพันธุ์จากเปลือกหอยแครงได้สำเร็จล่วงไปด้วยตี ทางคณะผู้จัดทำต้องขอขอบพระคุณ มหาวิทยาลัยเทคโนโลยีราชมงคลธัญบุรี ที่ให้ทุนงบประมาณผลประโยชน์ชนในการจัดทำ งานวิจัยเรื่องนี้ รวมทั้งขอขอบพระคุณ คณาจารย์และเจ้าหน้าที่ของสำนักงานวิจัยและพัฒนาที่ได้ให้คำแนะนำ ต่างๆ ที่ดี เกี่ยวกับการจัดทำเอกสารที่ด้องใช้สำหรับวิจัย ในส่วนของการทดลองขั้นการทึบน้ำมันเมล็ด ยางพาราได้รับความอนุเคราะห์ จาก ผู้ช่วยศาสตราจารย์ ดร.ไชยยันต์ ไชยยะ และสาขาวิชาศึกษาเคมี คณะวิศวกรรมศาสตร์ ที่อนุเคราะห์ให้ใช้เครื่องทึบน้ำมันเมล็ดยางพารา และ ในส่วนของการวิเคราะห์สมบัติ ของน้ำมัน ได้รับความเอื้อเพื่อจาก ผู้ช่วยศาสตราจารย์ ดร.ไชยยันต์ ไชยยะ ปตท (จำกัด) มหาชน ทางคณะผู้จัดทำต้องขอขอบพระคุณท่านเป็นอย่างสูง ขอขอบพระคุณสาขาวิชาเคมี คณะวิทยาศาสตร์และเทคโนโลยี ที่ได้ให้เชื้อสถานที่ในการทำงานวิจัยและใช้เครื่องแก๊สโครมาโทกราฟในการวิเคราะห์หาปริมาณเอสเทอร์ สุดท้ายนี้ ขอขอบพระคุณ บิดา มารดา และครอบครัวที่เป็นกำลังใจที่ดีเสมอมา

คณะผู้วิจัย



## บทคัดย่อ

งานวิจัยเรื่องนี้เป็นการนำน้ำมันที่ไม่สามารถบริโภคได้ 2 ชนิดที่มีปริมาณกรดไขมันอิสระสูงคือ น้ำมันสนบุ่ง คำ และน้ำมันเมล็ดยางพารามาใช้เป็นวัตถุดินในการเตรียมใบโพดีเซลประเภทเอทิลเอสเทอร์ โดยก่อนทำปฏิกิริยาแพรนส์-เอสเทอริฟิเคชัน ได้ทำการลดปริมาณกรดไขมันอิสระผ่านปฏิกิริยาเอสเทอริฟิเคชัน การเตรียมตัวเร่งปฏิกิริยาในขั้นการสังเคราะห์เอทิลเอสเทอร์เริ่มจากน้ำเปลือกหอยแครงเหลือทั้งมาเพาที่อุณหภูมิสูง 1000 °C และเคลือบฝังแบบเปียกด้วยสารละลาย LiNO<sub>3</sub> ที่มีความเข้มข้นของ Li+ ร้อยละ 1.75 โดยน้ำหนัก ศึกษาภาวะที่เหมาะสมในการทำปฏิกิริยาแพรนส์-เอสเทอริฟิเคชันได้แก่ อัตราส่วนโดยไม่ระบุระหว่างเอทานอลต่อน้ำมัน (9:1-18:1) ปริมาณตัวเร่งปฏิกิริยา (ร้อยละ 2-4 โดยน้ำหนักของน้ำมัน) อุณหภูมิ (55-75 °C) เวลา (1-5 ชั่วโมง) พบว่า ตัวเร่งปฏิกิริยาที่เตรียมขึ้นสามารถใช้ในการสังเคราะห์ใบโพดีเซลประเภทเอทิลเอสเทอร์ได้และภาวะที่เหมาะสมจากการศึกษาของน้ำมันทั้ง 2 ชนิดคือ ที่อัตราส่วนโดยไม่ระบุระหว่างเอทานอลต่อน้ำมันเท่ากับ 9:1 ปริมาณตัวเร่งปฏิกิริยา ร้อยละ 4 โดยน้ำหนักของน้ำมัน อุณหภูมิ 75 °C เวลา 5 ชั่วโมง เกิดเอทิลเอสเทอร์จากน้ำมันสนบุ่ง คำ 90.1 โดยน้ำหนัก และเกิดเอทิลเอสเทอร์จากน้ำมันเมล็ดยางพารา ร้อยละ 85.6 โดยน้ำหนัก ผลการทดลองสามารถที่จะเพิ่มน้ำหนักน้ำมันทั้ง 2 ชนิดให้สูงขึ้น



## ABSTRACT

This research was to study the synthesis of ethyl ester biodiesel from non-edible oil, rubber seed oil and *Jatropha curcas* oil. Prior to subject transesterification, high free fatty acid containing in both rubber seed oil and *Jatropha curcas* oil were reduced through esterification reaction. Preparation of catalyst used for ethyl ester production started by calcination of waste *Anadara granosa* shell at 1000 °C before impregnation with LiNO<sub>3</sub> at 1.75 % w/w of Li concentration. The parameters that were studied to optimize the condition for transesterification included molar ratio of ethanol to oil (9:1-18:1), the amount of catalyst (2-4 % w/w), temperature (55-75°C), reaction time (1-5 h). The results indicated that the prepared catalyst could be used in synthesis of ethyl ester biodiesel, and the optimized condition for both oils was the molar ratio of ethanol to oil at 9:1, the amount of catalyst at 4 % w/w, the reaction temperature at 75°C, and the reaction time at 5 h. This yielded ethyl ester biodiesel when utilized rubber seed oil and *Jatropha curcas* oil as raw material at 90.1 % w/w and 85.6 % w/w, respectively. Importantly, the results from this study can be used to increase considerable value of two non-eatable oil, rubber seed oil and *Jatropha curcas* oil in industrial



## สารบัญเรื่อง

	หน้า
กิจกรรมประภาก	ก
บทคัดย่อ	ข
Abstract	ค
สารบัญ	ง
สารบัญตาราง	ช
สารบัญภาพ	ฉ
<b>บทที่ 1 บทนำ</b>	<b>1</b>
1.1 ความสำคัญและที่มาของปัญหา	1
1.2 วัตถุประสงค์ของโครงการวิจัย	3
1.3 ขอบเขตของโครงการวิจัย	3
1.4 ประโยชน์ที่คาดว่าจะได้รับ	4
<b>บทที่ 2 การทบทวนวรรณกรรม</b>	<b>5</b>
2.1 สบู่ดำ	5
2.1.1 ลักษณะที่วัpieของสบู่ดำ	5
2.1.2 การสกัดน้ำมันสบู่ดำดิบ	6
2.1.3 สมบัติทางเคมีและทางกายภาพของน้ำมันสบู่ดำ	7
2.2 ยางพารา	8
2.2.1 ลักษณะที่วัpieของยางพารา	8
2.2.2 เมล็ดยางพารา	9
2.2.3 น้ำมันเมล็ดยางพารา	10
2.3 ใบโอดีเซล	11
2.3.1 คำจำกัดความ	11
2.3.2 กระบวนการผลิตใบโอดีเซล	13
2.3.3 ปฏิกริยาแพรนส์อสเทอโรฟิเคชัน	13
2.3.4 มาตรฐานคุณภาพใบโอดีเซล	17

## สารบัญเรื่อง (ต่อ)

	หน้า
2.4 ตัวเร่งปฏิกิริยา	20
2.4.1 ตัวเร่งปฏิกิริยาแบบวิวิพันธ์	20
2.4.2 การเตรียมตัวเร่งปฏิกิริยา	21
2.5 แคลเซียมออกไซด์	23
2.5.1 สมบัติและการเร่งปฏิกิริยาของแคลเซียมออกไซด์	24
2.5.2 เปเล็กทอยแครงแปรรูป	26
2.6 แก๊สโครมาโทกราฟี	26
2.6.1 ส่วนประกอบของเครื่องแก๊สโครมาโทกราฟ	26
2.6.2 กลไกการแยกของสาร	27
2.6.3 การวิเคราะห์ตัวยเทคนิคแก๊สโครมาโทกราฟี	28
2.6.4 ข้อดีของเทคนิคแก๊สโครมาโทกราฟี	30
2.7 งานวิจัยที่เกี่ยวข้อง	31
บทที่ 3 เนื้อหาการวิจัย	34
3.1 เครื่องมือและอุปกรณ์ที่ใช้ในการวิจัย	34
3.2 สารเคมีที่ใช้ในการวิจัย	34
3.3 วิธีดำเนินการวิจัย	35
3.3.1 การเตรียมน้ำมันเมล็ดยางพารา	35
3.3.2 การเตรียมน้ำมันสนบุ่ด	36
3.3.3 การทดสอบสมบัติของน้ำมันเมล็ดยางพาราและน้ำมันสนบุ่ด	37
3.3.4 การเตรียมตัวเร่งปฏิกิริยา	37
3.3.5 การลดปริมาณกรดไขมันอิสระในน้ำมันเมล็ดยางพาราและน้ำมันสนบุ่ด	41
3.3.6 ศึกษาผลของตัวแปรในการเกิดปฏิกิริยาทรนส์ເອສເທອຣີ	44
3.3.7 ทดสอบสมบัติบางประการของເອທິລເອສເທອຣ໌	49

## สารบัญเรื่อง (ต่อ)

	หน้า
3.3.8 วิเคราะห์ข้อมูล และสรุปผลการวิจัย	49
<b>บทที่ 4 ผลการดำเนินงานวิจัย</b>	
4.1 การเตรียมวัสดุดิบ	50
4.1.1 การเตรียมน้ำมันเมล็ดยางพารา	50
4.1.2 การเตรียมน้ำมันสบู่ดำ	52
4.2 การเตรียมตัวเร่งปฏิกิริยา	54
4.3 การลดปริมาณกรดไขมันอิสระ	59
4.4 ศึกษาผลของตัวแปรในการเกิดปฏิกิริยาแทرنส์อีสเทอเรฟิเคชัน	60
4.4.1 ศึกษาผลของอัตราส่วนโดยไม่ระบุว่างเอทานอลต่อน้ำมัน	60
4.4.2 ผลของปริมาณตัวเร่งปฏิกิริยา	60
<b>บทที่ 5 สรุปผลการวิจัยและข้อเสนอแนะ</b>	70
5.1 สรุปผลการวิจัย	70
5.2 ข้อเสนอแนะ	71
บรรณานุกรม	72
ภาคผนวก	77

## สารบัญตาราง

ตารางที่		หน้า
2.1	ชนิดและปริมาณกรดไขมันที่มีอยู่ในน้ำมันสปูตต์ต์	7
2.2	สมบัติทางเคมีและทางกายภาพของน้ำมันสปูตต์ต์	8
2.3	ชนิดและปริมาณกรดไขมันที่มีอยู่ในน้ำมันเมล็ดยางพารา	11
2.4	สมบัติทางเคมีและทางกายภาพของน้ำมันเมล็ดยางพารา	11
2.5	สมบัติของแคลเซียมออกไซด์	24
3.1	ปริมาณสารตั้งต้นที่ใช้ในการทำปฏิกิริยาเอสเทอเรติฟิเคชัน	42
3.2	ปริมาณสารตั้งต้นที่ใช้ในการศึกษาอัตราส่วนโดยไม่ระบุว่าเอทานอลต่อน้ำมันสปูตต์ต์	45
3.3	ปริมาณสารตั้งต้นที่ใช้ในการศึกษาปริมาณตัวเร่งปฏิกิริยา	45
3.4	ปริมาณสารตั้งต้นที่ใช้ในการศึกษาอัตราส่วนโดยไม่ระบุว่าเอทานอลต่อน้ำมันเมล็ดยางพารา	48
3.5	ปริมาณสารตั้งต้นที่ใช้ในการศึกษาปริมาณตัวเร่งปฏิกิริยา	48
4.1	สมบัติทางกายภาพและองค์ประกอบของกรดไขมันในน้ำมันเมล็ดยางพาราที่ใช้ในงานวิจัย	51
4.2	สมบัติทางกายภาพและองค์ประกอบของกรดไขมันในน้ำมันสปูตต์ต์ที่ใช้ในงานวิจัย	52
4.3	เปรียบเทียบปริมาณเมทธิลเอสเทอร์ของปฏิกิริยาแทรนส์เอสเทอเรติฟิเคชันที่อัตราส่วนระหว่าง เมทานอลต่อน้ำมันปาล์ม 12:1 ปริมาณตัวเร่งปฏิกิริยาร้อยละ 3 โดยน้ำหนัก เวลา 5 ชั่วโมง ที่อุณหภูมิ 65 °C	58
4.4	สมบัติของน้ำมันเมล็ดยางพาราและน้ำมันสปูตต์ต์หลังผ่านปฏิกิริยาเอสเทอเรติฟิเคชันที่ภาวะ อัตราส่วนโดยไม่ระบุว่าเอทานอลต่อกรดไขมันอิสระที่ 17:1 อุณหภูมิ 75 °C เวลา 3 ชั่วโมงปริมาณตัวเร่งปฏิกิริยาร้อยละ 3 โดยน้ำหนัก	60
๔-1	ผลปริมาณเอทธิลเอสเทอร์จากการศึกษาอัตราส่วนโดยไม่ระบุว่าเอทานอลต่อน้ำมันสปูตต์ต์ ที่ 9:1 เมื่อทำปฏิกิริยาแทรนส์เอสเทอเรติฟิเคชันที่อุณหภูมิ 75 °C เวลา 1-5 ชั่วโมง ปริมาณตัวเร่งปฏิกิริยาร้อยละ 3 โดยน้ำหนัก	88

## สารบัญตาราง (ต่อ)

ตารางที่	หน้า
จ-2 ผลปริมาณเอทธิลเอสเทอร์จากการศึกษาอัตราส่วนโดยไม่ระบุว่างເອທານອລຕ່ອນ້ຳມັນສູງດຳ ที่ 12:1 เมื่อทำปฏิกิริยาແທນສែសເທອរិភីເគេងທີ່ອຸນຫກຸມ $75^{\circ}\text{C}$ เวลา 1-5 ชົ່ວໂມງ ปริมาณຕັວເຮັງປະກິກີຣີຍາຮ້ອຍລະ 3 ໂດຍນໍ້າໜັກ	89
จ-3 ผลปริมาณเอทธิลเอสเทอร์จากการศึกษาอัตราส่วนโดยไม่ระบุว่างເອທານອລຕ່ອນ້ຳມັນສູງດຳ ທີ່ 15:1 เมื่อทำปฏิกิริยาແທນສែສເທອរិភីເគេງທີ່ອຸນຫກຸມ $75^{\circ}\text{C}$ ເວລາ 1-5 ชົ່ວໂມງ ปริมาณຕັວເຮັງປະກິກີຣີຍາຮ້ອຍລະ 3 ໂດຍນໍ້າໜັກ	89
จ-4 ผลปริมาณเอทธิลเอสเทอร์จากการศึกษาอัตราส่วนโดยไม่ระบุว่างເອທານອລຕ່ອນ້ຳມັນສູງດຳ ທີ່ 18:1 เมื่อทำปฏิกิริยาແທນສែສເທອរិភីເគេງທີ່ອຸນຫກຸມ $75^{\circ}\text{C}$ ເວລາ 1-5 ชົ່ວໂມງ ปริมาณຕັວເຮັງປະກິກີຣີຍາຮ້ອຍລະ 3 ໂດຍນໍ້າໜັກ	90
จ-5 ผลปริมาณเอทธิลเอสเทอร์จากการศึกษาอัตราส่วนโดยไม่ระบุว่างເອທານອລຕ່ອນ້ຳມັນແລັດ ຢາງພරາທີ່ 9:1 เมื่อทำປະກິກີຣີຍາແທນສែສເທອរិភីເគេງທີ່ອຸນຫກຸມ $75^{\circ}\text{C}$ ເວລາ 1-5 ชົ່ວໂມງ ปริมาณຕັວເຮັງປະກິກີຣີຍາຮ້ອຍລະ 3 ໂດຍນໍ້າໜັກ	90
จ-6 ผลปริมาณเอทธิลเอสเทอร์จากการศึกษาอัตราส่วนโดยไม่ระบุว่างເອທານອລຕ່ອນ້ຳມັນແລັດ ຢາງພරາທີ່ 12:1 เมื่อทำປະກິກີຣີຍາແທນສែສເທອរិភីເគេງທີ່ອຸນຫກຸມ $75^{\circ}\text{C}$ ເວລາ 1-5 ชົ່ວໂມງ ปริมาณຕັວເຮັງປະກິກີຣີຍາຮ້ອຍລະ 3 ໂດຍນໍ້າໜັກ	91
จ-7 ผลปริมาณเอทธิลเอสเทอร์จากการศึกษาอัตราส่วนโดยไม่ระบุว่างເອທານອລຕ່ອນ້ຳມັນແລັດ ຢາງພරາທີ່ 15:1 เมื่อทำປະກິກີຣີຍາແທນສែສເທອរិភីເគេງທີ່ອຸນຫກຸມ $75^{\circ}\text{C}$ ເວລາ 1-5 ชົ່ວໂມງ ปริมาณຕັວເຮັງປະກິກີຣີຍາຮ້ອຍລະ 3 ໂດຍນໍ້າໜັກ	91
จ-8 ผลปริมาณเอทธิลเอสเทอร์จากการศึกษาอัตราส่วนโดยไม่ระบุว่างເອທານອລຕ່ອນ້ຳມັນແລັດ ຢາງພරາທີ່ 18:1 เมื่อทำປະກິກີຣີຍາແທນສែສເທອរិភីເគេງທີ່ອຸນຫກຸມ $75^{\circ}\text{C}$ ເວລາ 1-5 ชົ່ວໂມງ ปริมาณຕັວເຮັງປະກິກີຣີຍາຮ້ອຍລະ 3 ໂດຍນໍ້າໜັກ	92
จ-9 ผลปริมาณเอทธิลเอสเทอร์จากการศึกษาປະມານຕັວເຮັງປະກິກີຣີຍາຮ້ອຍລະ 2 ໂດຍນໍ້າໜັກ ອັດຮາສ່ວນโดยไม่ระบุว່າເອທານອລຕ່ອນ້ຳມັນສູງດຳທີ່ 9:1 เมื่อทำປະກິກີຣີຍາແທນສែສເທອ រិភីເគេງທີ່ອຸນຫກຸມ $75^{\circ}\text{C}$ ເວລາ 1-5 ชົ່ວໂມງ	92

### สารบัญตาราง (ต่อ)

ตารางที่	หน้า
จ-10 ผลปริมาณเอทิลเอสเทอร์จากการศึกษาปริมาณตัวเร่งปฏิกิริยาอ้อยละ 3 โดยน้ำหนัก อัตราส่วนโดยไม่ระบุว่าเงือนลอกต่อน้ำมันสบู่ดำที่ 9:1 เมื่อทำปฏิกิริยาแแทรนส์เอสเทอ ริฟิเคลชันที่อุณหภูมิ 75 ° ซ เวลา 1-5 ชั่วโมง	93
จ-11 ผลปริมาณเอทิลเอสเทอร์จากการศึกษาปริมาณตัวเร่งปฏิกิริยาอ้อยละ 4 โดยน้ำหนัก อัตราส่วนโดยไม่ระบุว่าเงือนลอกต่อน้ำมันสบู่ดำที่ 9:1 เมื่อทำปฏิกิริยาแแทรนส์เอสเทอ ริฟิเคลชันที่อุณหภูมิ 75 ° ซ เวลา 1-5 ชั่วโมง	93
จ-12 ผลปริมาณเอทิลเอสเทอร์จากการศึกษาปริมาณตัวเร่งปฏิกิริยาอ้อยละ 2 โดยน้ำหนัก อัตราส่วนโดยไม่ระบุว่าเงือนลอกต่อน้ำมันเมล็ดยางพาราที่ 9:1 เมื่อทำปฏิกิริยาแแทรนส์ เอสเทอริฟิเคลชันที่อุณหภูมิ 75 ° ซ เวลา 1-5 ชั่วโมง	94
จ-13 ผลปริมาณเอทิลเอสเทอร์จากการศึกษาปริมาณตัวเร่งปฏิกิริยาอ้อยละ 3 โดยน้ำหนัก อัตราส่วนโดยไม่ระบุว่าเงือนลอกต่อน้ำมันเมล็ดยางพาราที่ 9:1 เมื่อทำปฏิกิริยาแแทรนส์ เอสเทอริฟิเคลชันที่อุณหภูมิ 75 ° ซ เวลา 1-5 ชั่วโมง	94
จ-14 ผลปริมาณเอทิลเอสเทอร์จากการศึกษาปริมาณตัวเร่งปฏิกิริยาอ้อยละ 3 โดยน้ำหนัก อัตราส่วนโดยไม่ระบุว่าเงือนลอกต่อน้ำมันเมล็ดยางพาราที่ 9:1 เมื่อทำปฏิกิริยาแแทรนส์ เอสเทอริฟิเคลชันที่อุณหภูมิ 75 ° ซ เวลา 1-5 ชั่วโมง	95

## สารบัญภาพ

ภาพที่	หน้า
2.1 ต้นสนผู้ดำที่มีการอุดออกและผล	5
2.2 ลักษณะเมล็ดสนผู้ดำ	6
2.3 ลักษณะต้นยางพารา	8
2.4 ลักษณะของเมล็ดยางพารา	10
2.5 ลักษณะของเนื้อในเมล็ดยางพารา	10
2.6 โครงสร้างของเมทิลพาร์มิเทตและเอทิลพาร์มิเทต	12
2.7 เปรียบเทียบโครงสร้างโมเลกุลของน้ำมันดีเซลกับโครงสร้างของโมเลกุลไทรกลีเซอไรด์ในน้ำมันพืชหรือไขสัตว์	13
2.8 สมการเคมีแสดงปฏิกิริยาแแทرنส์อีสเทอเริฟิเคชัน	14
2.9 กลไกการเกิดปฏิกิริยาแแทرنส์อีสเทอเริฟิเคชันเมื่อใช้กรดเป็นตัวเร่งปฏิกิริยา	15
2.10 กลไกการเกิดปฏิกิริยาแแทرنส์อีสเทอเริฟิเคชันเมื่อใช้เบสเป็นตัวเร่งปฏิกิริยา	16
2.11 ปฏิกิริยาแซพอนนิฟิเคชัน	16
2.12 โครงสร้างผลึกของแคลเซียมออกไซด์แบบ rock-salt structure	24
2.13 กลไกการทำปฏิกิริยาแแทرنส์อีสเทอเริฟิเคชันของตัวเร่งปฏิกิริยาแคลเซียมออกไซด์	25
2.14 ส่วนประกอบของเครื่องแก๊สគรม่าโทกราฟ	27
2.15 គรม่าโทแกรมของการแยกองค์ประกอบของเอทิลเอสเทอร์ที่เตรียมจากน้ำมันสนผู้ดำ	28
2.16 ผลกระทบของการฉีดปริมาณสารตัวอย่างกับ Retention Time	29
2.17 ผลกระทบของอุณหภูมิที่มีต่อการแยกของสาร	29
3.1 ลักษณะเมล็ดยางพาราที่ใช้ในการวิจัย	35
3.2 ส่วนเนื้อในเมล็ดยางพาราที่ใช้ในงานวิจัย	35
3.3 เครื่องหีบน้ำมันเมล็ดยางพาราที่ใช้ในงานวิจัย	36
3.4 น้ำมันเมล็ดยางพาราหลังจากการหีบ	36

## สารบัญภาพ (ต่อ)

ภาพที่	หน้า
3.5 น้ำมันสบู่ด้ำที่ใช้ในงานวิจัย	37
3.6 แผนผังการเตรียมตัวเร่งปฏิกิริยา	38
3.7 ลักษณะของเปลือกหอยแครงที่ใช้ในการเตรียมตัวเร่งปฏิกิริยา	39
3.8 ลักษณะเปลือกหอยแครงที่ผ่านการบดละเอียด	39
3.9 การร่อนคัดขนาดด้วยตะกรง	40
3.10 ลักษณะสารผสมในขณะที่กวนผสมที่อุณหภูมิห้อง	40
3.11 ลักษณะแคลเซียมออกไซด์จากเปลือกหอยที่ผ่านการเคลือบฝังด้วยสารละลาย酇ิเทียมไนเตรทและผ่านการอบ	41
3.12 ลักษณะตัวเร่งปฏิกิริยา Li/CaO	41
3.13 ชุดรีฟลักซ์สำหรับทำปฏิกิริยาแอลเทอริฟิเคชัน	42
3.14 ลักษณะของสารผสมในขณะที่เกิดปฏิกิริยาแอลเทอริฟิเคชัน	43
3.15 ลักษณะการแยกขั้นเมื่อเสร็จสิ้นปฏิกิริยาแอลเทอริฟิเคชันของน้ำมันสบู่ด้ำ	44
3.16 ลักษณะการแยกขั้นเมื่อเสร็จสิ้นปฏิกิริยาแอลเทอริฟิเคชันของน้ำมันเมล็ดยางพารา	44
3.17 ชุดอุปกรณ์ที่ใช้ในการทำปฏิกิริยาแอลเทอริฟิเคชัน	45
3.18 ของผสมในระหว่างทำการสังเคราะห์เօทิลแอลเทอร์	46
3.19 การแยกขั้นของกลีเซอรอลจากขั้นของแอลเทอร์	46
3.20 เครื่องแก๊สโคมไฟกราฟที่ใช้ในการวิเคราะห์เปรินามแอลเทอร์	47
4.1 ลักษณะการแยกของตะกอนจากเนื้อน้ำมัน	50
4.2 ลักษณะของน้ำมันเมล็ดยางพาราหลังการกรอง	50
4.3 โครงสร้างโน้ตกลุ่มของไทรกลีเซอไรต์	53
4.4 โครงสร้างกรดลีโนลีอิก	53
4.5 โครงสร้างกรดโอลีอิก	54

## สารบัญภาพ (ต่อ)

ภาพที่	หน้า
4.6 เปรียบเทียบปริมาณกรดไขมันแต่ละชนิดที่เป็นองค์ประกอบของไขมันเมล็ดพืชและน้ำมันสกุ่ด	54
4.7 ผลจากการทดสอบการเลี้ยงเบนของรังสีเอ็กซ์ของเปลือกหอยแครงก่อนการเผา	55
4.8 ผลจากการทดสอบการเลี้ยงเบนของรังสีเอ็กซ์ของเปลือกหอยแครงหลังการเผา	56
4.9 ผลจากการทดสอบการเลี้ยงเบนของรังสีเอ็กซ์ของเปลือกหอยแครงหลังเคลือบฟางลิเทียม	57
4.10 เปรียบเทียบลักษณะของสารผสมหลังปฏิกริยาสิ้นสุด	58
4.11 ปฏิกริยาเօสเทอฟิเคชั่นระหว่างกรดไขมันอิสระกับເອທານອລ	59
4.12 ผลการศึกษาอัตราส่วนโดยโน้มระห่วงເອທານອລต่อน้ำมันที่ 9:1-18:1 ต่อปริมาณ ເອທີລເອສເທ່ອຣ໌ທີ່ບໍລິມານຕັ້ງເຮົ່າງປະກິດວ່າມີຄວາມສຳເນົາ ອຸນຫຼວມ 75 °C ຂອງນ້ຳມັນສຸດ	61
4.13 ผลการศึกษาอัตราส่วนโดยโน้มระห่วงເອທານອລຕ່ອນ้ำມันที่ 9:1-18:1 ต่อปริมาณ ເອທີລເອສເທ່ອຣ໌ທີ່ບໍລິມານຕັ້ງເຮົ່າງປະກິດວ່າມີຄວາມສຳເນົາ ອຸນຫຼວມ 75 °C ຂອງນ້ຳມັນສຸດ	62
4.14 ผลการศึกษาปริมาณຕັ້ງເຮົ່າງປະກິດວ່າມີຄວາມສຳເນົາ ອຸນຫຼວມ 75 °C ຂອງນ້ຳມັນສຸດ	63
4.15 ผลการศึกษาปริมาณຕັ້ງເຮົ່າງປະກິດວ່າມີຄວາມສຳເນົາ ທີ່ອັດຕະກຳມີຄວາມສຳເນົາ ອຸນຫຼວມ 75 °C ຂອງນ້ຳມັນສຸດ	64
4.16 ผลการศึกษาອຸນຫຼວມທີ່ 55- 75 °C ຕ່ອປໍລິມານເອທີລເອສເທ່ອຣ໌ທີ່ອັດຕະກຳມີຄວາມສຳເນົາ ຮະຫວ່າງເອທານອລຕ່ອນ้ำມันที่ 9:1 ທີ່ປໍລິມານຕັ້ງເຮົ່າງປະກິດວ່າມີຄວາມສຳເນົາ ອຸນຫຼວມ 75 °C ຂອງນ້ຳມັນສຸດ	65

## สารบัญภาพ (ต่อ)

ภาคที่		หน้า
4.17	ผลการศึกษาอุณหภูมิที่ 55- 75 °C ต่อปริมาณเอทิลเอสเทอร์ที่อัตราส่วนโดยไม่ลด ระหว่างเอทานอลต่อน้ำมันที่ 9:1 ที่ปริมาณตัวเร่งปฏิกิริยาร้อยละ 4 โดยน้ำหนักของ น้ำมัน เวลา 1-5 ชั่วโมงของน้ำมันสบู่คำ	65
4.18	ผลการศึกษาอุณหภูมิที่ 55- 75 °C ต่อปริมาณเอทิลเอสเทอร์ที่อัตราส่วนโดยไม่ลด ระหว่างเอทานอลต่อน้ำมันที่ 9:1 ที่ปริมาณตัวเร่งปฏิกิริยาร้อยละ 4 โดยน้ำหนักของ น้ำมัน เวลา 1-5 ชั่วโมงของน้ำมันเมล็ดยางพารา	65
4.19	โครงมาโทแกรมของเอทิลเอสเทอร์ที่สังเคราะห์จากน้ำมันสบู่คำ	67
4.20	โครงมาโทแกรมของเอทิลเอสเทอร์ที่สังเคราะห์จากน้ำมันเมล็ดยางพารา	67

## บทที่ 1

### บทนำ

#### 1.1 ความสำคัญและที่มาของปัญหา

ในโลกปัจจุบันพลังงานจัดเป็นเครื่องมือที่สำคัญต่อการดำเนินชีวิตของมนุษย์และการพัฒนาประเทศไทยในด้านต่างๆ สำหรับประเทศไทยพลังงานที่แปรรูปมาจากการผลิตปิโตรเลียมเป็นพลังงานหลักที่มีการนำมาใช้งานในหลายด้าน ทั้งภาคการขนส่ง ภาคอุตสาหกรรมและภาคการเกษตร[1] เนื่องจากประเทศไทยไม่มีแหล่งปิโตรเลียมที่เพียงพอต้องพึ่งพาการนำเข้าปิโตรเลียมจากต่างประเทศทำให้เกิดการขาดดุลทางการค้า ในขณะที่ปริมาณสำรองของปิโตรเลียมทั่วโลกลดลง การลดกำลังการผลิตปิโตรเลียมทำให้ราคาของเชื้อเพลิงที่แปรรูปมาจากการใช้ปิโตรเลียมมีความผันผวนไปในแนวทางที่สูงขึ้น นอกจากนี้การใช้เชื้อเพลิงที่แปรรูปมาจากการใช้ปิโตรเลียมยังส่งผลต่อการเกิดภาวะโลกร้อน จากปัญหาดังกล่าวทำให้รัฐบาลมีนโยบายส่งเสริมการผลิต การใช้ติดตั้งการริบิจ และพัฒนาพลังงานทดแทนและพลังงานทางเลือกโดยตั้งเป้าหมายให้สามารถทดแทนเชื้อเพลิงที่แปรรูปมาจากการใช้ปิโตรเลียมได้อีกอย่างน้อยร้อยละ 25 ภายในระยะเวลา 10 ปี [2]

ปัจจุบันประเทศไทยได้มีการใช้เชื้อเพลิงทดแทน 2 ประเภทคือ แก๊สโซฮอล์และไบโอดีเซล เมื่อเปรียบเทียบกับปริมาณความต้องการใช้น้ำมันเชื้อเพลิงในประเทศไทย พบร่วมกับภาคการขนส่งเป็นภาคที่มีการใช้พลังงานมากที่สุดโดยเชื้อเพลิงหลักที่สำคัญได้แก่น้ำมันดีเซล ในระหว่างปี พ.ศ. 2550-2554 ที่ผ่านมาอัตราความต้องการการใช้น้ำมันดีเซลเพิ่มขึ้นโดยเฉลี่ยร้อยละ 5.4 [3] รวมทั้งรัฐบาลได้กำหนดให้มีการพัฒนาและส่งเสริมการใช้พลังงานทดแทนเป็นภาระแห่งชาติ และตั้งเป้าให้มีการใช้ไบโอดีเซลทดแทนน้ำมันดีเซลร้อยละ 10 ในปี พ.ศ. 2555 [4] อย่างไรก็ตามปัจจุบันการใช้ไบโอดีเซลทดแทนน้ำมันดีเซลสามารถทำได้เพียงปริมาณไม่เกินร้อยละ 5 ซึ่งส่วนหนึ่งเป็นผลมาจากการขาดแคลนวัตถุดิบอย่างน้ำมันปาล์ม เพราะต้องใช้เป็นอาหาร ดังนั้นการเลือกใช้วัตถุดิบทางเลือกอื่นที่เหมาะสมที่ไม่เป็นพืชอาหารจึงเป็นทางออกที่เหมาะสม ประเทศไทยซึ่งมีน้ำมันจากพืชหลายชนิดที่จัดอยู่ในกลุ่มน้ำมันที่ไม่สามารถบริโภคได้ที่มีศักยภาพสูงได้แก่ น้ำมันจากเมล็ดสนบุญดาหรือน้ำมันสนบุญดาและน้ำมันเมล็ดยางพารา น้ำมันสนบุญดาซึ่งได้จากส่วนเนื้อในเมล็ดสนบุญดาเป็นน้ำมันที่ได้รับการยืนยันจากงานวิจัยที่ผ่านมาจำนวนมากว่ามีสมบัติเหมาะสมในการผลิตไบโอดีเซล [5-9] ประเทศไทยมีศักยภาพสูงในการปลูกต้นสนบุญดาและถ้ามีการวางแผนการจัดการในการปลูกต้นสนบุญดาที่ดี รวมทั้งมีการส่งเสริมการปลูกต้นสนบุญดาจากภาครัฐอย่างต่อเนื่อง ต้นสนบุญดาจะให้ผลผลิตสูงถึง 1200 กิโลกรัมต่อลิตร โดยเมล็ดสนบุญดาจะให้ปริมาณน้ำมันเฉลี่ยอยู่ที่ 4-6 กิโลกรัมต่อลิตร ในขณะที่น้ำมันเมล็ดยางพารามากกว่าส่วนของเนื้อในเมล็ดยางพาราซึ่งเป็นผลผลิตได้จากการทำสวนยาง มีปริมาณการใช้เมล็ดเพียงเล็กน้อยสำหรับเพาะเป็นตอ กล้ามยา แต่ที่เหลือจะถูกปล่อยให้เน่า ทั้งที่ในส่วนของเนื้อในเมล็ดยางพารามีน้ำมันอยู่มากถึงร้อยละ 42.47 ของน้ำหนักแห้ง [10] น้ำมันสนบุญดาและน้ำมันเมล็ดยางพาราจัดเป็นวัตถุดิบสำหรับผลิตพลังงานทดแทนที่สำคัญ เป็นความเฉพาะของวัตถุดิบสำหรับประเทศไทยรวมถึงประเทศไทยในภูมิภาคแบบอาเซียนซึ่งก่อให้เกิดการพัฒนาในด้านเชื้อเพลิงทดแทนที่ยั่งยืน สร้างความมั่นคงทางด้านพลังงานทั้งต่อประเทศไทยและต่อประชาคม

เศรษฐกิจอาเซียนในอนาคต นอกจากนี้เมื่อราคากองวัตถุดิบซึ่งเป็นน้ำมันที่ไม่สามารถบริโภคได้ต่อ ทำให้ต้นทุนการผลิตไปโอดีเซลลดลง ส่งผลต่อราคาขายปลีกของไปโอดีเซลถูกลงและสามารถแข่งขันกับราคากองน้ำมันดีเซลที่แพงรากว่าปีโตรเลียมได้

ในทางเคมีไปโอดีเซลคืออัลกิลเอสเทอร์ของกรดไขมัน ปฏิกิริยาที่นิยมใช้ในการผลิตไปโอดีเซลคือปฏิกิริยาแทรนส์อีสเตอเรฟิเคชัน (Transesterification) โดยโมเลกุลของไทรกลีเซอไรต์ซึ่งเป็นองค์ประกอบของหลักที่อยู่ในน้ำมันพืชจะทำปฏิกิริยากับแอลกอฮอล์ในภาวะที่มีตัวเร่งปฏิกิริยาและเกิดผลิตภัณฑ์เป็นอัลกิลเอสเทอร์ผสมของกรดไขมันหลายชนิดซึ่งขึ้นกับชนิดของกรดไขมันที่เป็นองค์ประกอบของไทรกลีเซอไรต์และมีผลพลอยได้เป็นกลีเซอริน การพัฒนาที่สำคัญของการผลิตไป-ดีเซลนอกเหนือจากการใช้วัตถุดิบที่เหมาะสมยังควรพัฒนากระบวนการผลิตที่เป็นมิตรต่อสิ่งแวดล้อม เช่นการใช้อุปกรณ์ที่สามารถผลิตได้จากพืชทางการเกษตรแทนเมทานอลที่มาจากการบีโตรเลียมและมีความเป็นพิษ สำหรับประเทศไทยซึ่งเป็นประเทศเกษตรกรรม มีศักยภาพในการปลูกพืชหลายชนิดที่สามารถใช้เป็นวัตถุดิบในการผลิตเชื้อเพลิงได้ เช่น อ้อย มันสำปะหลัง ข้าวโพด เป็นต้น ทำให้มีความเป็นไปได้สูงในการนำอุปกรณ์ที่ได้มาเป็นสารตั้งต้นในการผลิตไปโอดีเซลประเภทเอทิลเอสเทอร์ นอกจากนี้เมื่อเปรียบเทียบสมบัติของไปโอดีเซลที่ผลิตจากน้ำมันพืชชนิดเดียวกัน ไปโอดีเซลประเภทเอทิลเอสเทอร์จะมีค่าซีเทนที่สูงกว่า ในขณะที่จุดหมอกและจุดไฟเหลาต่ำกว่าทำให้ประสิทธิภาพในการเดินเครื่องยนต์และติดเครื่องยนต์ดีขึ้น [11] ใน การเกิดปฏิกิริยาแทรนส์อีสเตอเรฟิเคชันจำเป็นต้องทำปฏิกิริยาน้ำมันที่มีตัวเร่งปฏิกิริยา ซึ่งตัวเร่งปฏิกิริยาอาจจะมีสมบัติที่เป็นกรดหรือเบส ในทางอุตสาหกรรมนิยมใช้ตัวเร่งปฏิกิริยาแบบเอกพันธุ์ที่เป็นเบส แต่มีข้อเสียด้านสิ่งแวดล้อมเพรากการใช้ตัวเร่งปฏิกิริยาแบบเอกพันธุ์จะต้องผ่านขั้นการแยกตัวเร่งปฏิกิริยาโดยการล้างผลิตภัณฑ์ด้วยน้ำซักหลายครั้ง น้ำที่ทิ้งที่ผ่านกระบวนการจะก่อให้เกิดมลพิษ ดังนั้นการเลือกใช้ตัวเร่งปฏิกิริยาแบบวิธีพันธุ์ที่เป็นเบสจะลดขั้นตอนในการล้างและการปล่อยของเสียงสูงเหล่านี้ได้ ที่ผ่านมา มีการพัฒนาตัวเร่งปฏิกิริยาแบบวิธีพันธุ์ที่เป็นเบสสำหรับการผลิตไปโอดีเซล มากมาย ซึ่งแคลเซียมออกไซด์(CaO) จัดเป็นตัวเร่งปฏิกิริยาที่มีความว่องไวสูงและถูกนำมาใช้ในการสังเคราะห์ไปโอดีเซลมากที่สุด หาได้ง่าย ความเป็นพิษต่ำ[12] แคลเซียมออกไซด์สามารถผลิตได้จากการเผาแคลเซียมคาร์บอนेटที่อุณหภูมิสูง [13] แหล่งของแคลเซียมคาร์บอนे�ตที่จัดเป็นวัสดุเหลือทิ้งราคากลางคือเปลือกหอย สำหรับการผลิตไปโอดีเซลที่ผ่านมา มีงานวิจัยที่ศึกษาเกี่ยวกับการนำเปลือกหอยชนิดต่างๆ มาใช้เป็นตัวเร่งปฏิกิริยาเพื่อผลิตไปโอดีเซล [14-18] ในบรรดาเปลือกหอยชนิดต่างๆ เปลือกหอยแครงเป็นของเสียที่เป็นขยะเหลือทิ้งจำนวนมาก การเพิ่มประสิทธิภาพในการเร่งปฏิกิริยาของตัวเร่งปฏิกิริยาที่แปรรูปมาจากเปลือกหอยมีความจำเป็นเพื่อเพิ่มแรงจ�ดดึงของแคลเซียมออกไซด์เพิ่มขึ้น เมื่อเคลือบฝังด้วยลิเทียม ( $\text{Li/CaO}$ ) และสามารถใช้ตัวเร่งปฏิกิริยาชนิดนี้ได้กับน้ำมันที่มีปริมาณกรดไขมันอิสระสูงมากกว่าร้อยละ 1 โดยน้ำหนัก[19] ซึ่งจะหมายความว่าสำหรับน้ำมันในกลุ่มน้ำมันที่ไม่สามารถบริโภคได้ที่ค่อนข้างมีปริมาณกรดไขมันอิสระสูง

จากเหตุผลดังกล่าวข้างต้น ประกอบกับการศึกษาวิจัยเกี่ยวกับไปโอดีเซลในรูปเอทิลเอสเทอร์มีค่อนข้างจำกัด ในงานวิจัยเรื่องนี้จึงให้ความสนใจในการนำน้ำมันแม็ล็ดยางพาราและน้ำมันสนบุ่มมาสังเคราะห์ไปโอดีเซล

ประเภทเอทิลเอสเทอร์โดยใช้ตัวเร่งปฏิกิริยาแบบวิธีพันธุ์จากเปลือกหอยแครงที่เคลือบผิวด้วยลิเทียม (Li/CaO) ศึกษาภาวะที่เหมาะสมในการเกิดปฏิกิริยาทรานส์เอสเทอโรฟิเดชัน เปรียบเทียบสมบัติของใบโอดีเซล ในรูปเปอทิลเอสเทอร์กับใบโอดีเซลในรูปเมทิลเอสเทอร์และน้ำมันดีเซลหมุนเร็ว งานวิจัยเรื่องนี้จะเป็นการสร้างความหลากหลายทางด้านพลังงานทดแทนให้กับประเทศไทย สามารถถ่ายทอดเทคโนโลยีดังกล่าวให้กับชุมชน และผู้สนใจ รวมทั้งเป็นองค์ความรู้ใหม่ในการใช้อ Ethanol เป็นสารตั้งต้นในการผลิตใบโอดีเซล ที่ใช้กระบวนการที่มีขั้นตอนไม่ซับซ้อนและเป็นมิตรต่อสิ่งแวดล้อม นอกจากนี้การใช้ตัวเร่งปฏิกิริยาวัสดุเหลือทิ้งที่มาจากธรรมชาติจะมีราคาถูกกว่าตัวเร่งปฏิกิริยาที่ผ่านการสังเคราะห์

## 1.2 วัตถุประสงค์ของการวิจัย

1.2.1 เพื่อศึกษาภาวะที่เหมาะสมในการทำปฏิกิริยาทรานส์เอสเทอโรฟิเดชันของน้ำมันเมล็ดยางพารา และน้ำมันสนุุ่ดำกับอ Ethanol โดยใช้เป็นตัวเร่งปฏิกิริยาจากเปลือกหอยแครงที่เคลือบผิวด้วยลิเทียม (Li/CaO)

1.2.2 เพื่อศึกษาผลของตัวแปรในการเกิดปฏิกิริยาทรานส์เอสเทอโรฟิเดชันดังนี้คือ อัตราส่วนโดยโมล ระหว่างอ Ethanol ต่อน้ำมัน ปริมาณตัวเร่งปฏิกิริยา เวลา และอุณหภูมิต่อปริมาณเอทิลเอสเทอร์ เมื่อใช้วัตถุที่เป็นน้ำมันเมล็ดยางพาราและน้ำมันสนุุ่ดำ

1.2.3 เปรียบเทียบสมบัติของเอทิลเอสเทอร์ที่ภาวะที่เหมาะสมที่เตรียมจากน้ำมันเมล็ดยางพาราและน้ำมันสนุุ่ดำกับสมบัติของใบโอดีเซลประเภทเมทิลเอสเทอร์และน้ำมันดีเซลหมุนเร็วตามมาตรฐาน

## 1.3 ขอบเขตของการวิจัย

1.3.1 เตรียมน้ำมันเมล็ดยางพาราและน้ำมันสนุุ่ดำและทดสอบสมบัติบางประการของน้ำมัน ดังนี้คือ

1.3.1.1 องค์ประกอบของกรดไขมัน ตามวิธีการมาตรฐาน AOAC (2005), 963.22, 969.33

1.3.1.2 ความหนืด ตามวิธีการมาตรฐาน ASTM D445

1.3.1.3 ความหนาแน่น ตามวิธีการมาตรฐาน ASTM D4052

1.3.1.4 ปริมาณน้ำ ตามวิธีการมาตรฐาน AOAC (1990), 984.20

1.3.1.5 ปริมาณกรดไขมันอิสระ ตามวิธีการมาตรฐาน AOAC (2000), 940.28

1.3.2 เตรียมตัวเร่งปฏิกิริยา Li/CaO จากเปลือกหอยแครง

1.3.3 ศึกษาผลของตัวแปรในการเกิดปฏิกิริยาทรานส์เอสเทอโรฟิเดชัน โดยให้ความเร็วในการกวนคงที่ ดังนี้คือ

1.3.3.1 อัตราส่วนโดยโมลระหว่างอ Ethanol ต่อน้ำมัน ที่ 9:1, 12:1, 15:1, 18:1

1.3.3.2 ปริมาณตัวเร่งปฏิกิริยา ร้อยละ 2, 3 และ 4 โดยน้ำหนักของน้ำมัน

1.3.3.3 เวลา 60, 120, 180, 240, 300 นาที

1.3.3.4 อุณหภูมิ 55, 65, 75 °C

1.3.4 ทดสอบสมบัติบางประการของเอทิลเอสเทอร์ที่ผลิตได้จากภาวะที่เหมาะสมดังนี้ คือ

1.3.4.1 ความหนืด ตามวิธีการมาตรฐาน ASTM D445

- 1.3.4.2 จุดวางไฟ ตามวิธีการมาตรฐาน ASTM D 93
- 1.3.4.3 ปริมาณน้ำ ตามวิธีการมาตรฐาน EN ISO 12937
- 1.3.4.4 ค่าความเป็นกรด ตามวิธีการมาตรฐาน ASTM D664
- 1.3.4.5 โนโน่ ได้ ไทรกรีเชอเรต ตามวิธีการมาตรฐาน EN 14105
- 1.3.4.6 ปริมาณกรีเชอรอลอิสระและกรีเชอรอลทั้งหมด ตามวิธีการมาตรฐาน EN 14105
- 1.3.4.7 เถ้าซัลเฟต ตามวิธีการมาตรฐาน ASTM D 874
- 1.3.4.8 จุดไหมไฟ ตามวิธีการมาตรฐาน ASTM D 97

#### 1.4 ประโยชน์ที่คาดว่าจะได้รับ

1.4.1 ได้ภาวะที่เหมาะสมในการเตรียมในการเตรียมใบโอดีเซลประเภทเอทิลเอสเทอร์จากน้ำมันยางพาราและน้ำมันสนับสำลี ซึ่งสามารถนำสกาวะดังกล่าวไปใช้ในการผลิตในระดับชุมชนหรือระดับอุตสาหกรรมต่อได้

1.4.2 เกิดความหลากหลายของวัตถุดิบและสารตั้งต้นในการผลิตใบโอดีเซล ทำให้ประเทศมีแนวทางในการพัฒนาและเลือกใช้พลังงานทดแทนในหลายรูปแบบ สร้างความมั่นคงทางด้านพลังงาน ช่วยลดปริมาณการนำเข้าน้ำมันดิบจากต่างประเทศ

1.4.3 ลดมลพิษทางอากาศ ลดการปล่อยแก๊สเรือนกระจก

1.4.4 สร้างรายได้เสริมให้กับเกษตรกรที่ปลูกสนับสำลีและยางพาราเพิ่มการจ้างงาน เกิดการกระจายรายได้ที่ดีสู่ชุมชน ทำให้ลดปัญหาการเดินทางเข้ามาทำงานในเมืองหลวง

1.4.5 สร้างงานวิจัยด้านพลังงานทดแทนที่ใช้วัตถุดิบที่ได้รับการส่งเสริมให้มีการปลูกในเชิงพาณิชย์อย่างต่อเนื่อง

## บทที่ 2

### การทดสอบวรรณกรรม

#### 2.1 สบู่ดำ [20]

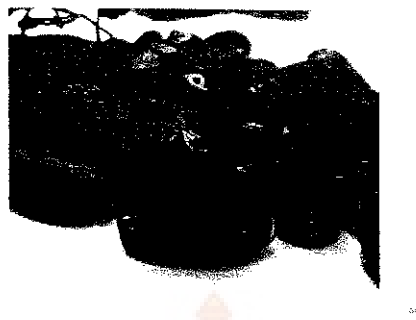
##### 2.1.1 ลักษณะทั่วไปของสบู่ดำ

สบู่ดำเป็นพืชน้ำมันชนิดหนึ่ง มีชื่อทางวิทยาศาสตร์ว่า *Jatropha Curcas* Linn. จัดอยู่ในวงศ์เมี้ยงพารา จัดเป็นพืชพื้นเมืองของทวีปอเมริกาใต้ ต้นสบู่ดำเป็นไม้พุ่มขนาดกลางที่เลี้ยงง่าย ปลูกขึ้นเร็ว มีใบคล้ายกับใบฝ้าย ขอบใบเว้าเป็น 5 แฉก ก้านใบยาว ดอกเล็กสีเขียวเหลือง ภาพที่ 2.1 ชาวบ้านปลูกต้นสบู่ดำไว้เป็นแนวรั้วรอบบ้าน ต้นสบู่ดำสามารถเพาะปลูกได้หลายวิธี ทั้งการปักชำและการเพาะเมล็ด ถ้าปลูกด้วยการปักชำจะสามารถเก็บเกี่ยวผลสบู่ดำได้ในเวลา 4 เดือนแต่มีข้อเสียคือต้นจะล้มภายในเวลา 2 ปี ในกรณีการเพาะเมล็ดจะใช้เวลาเก็บเกี่ยวนานกว่าวิธีแรกคือประมาณ 8 เดือนแต่จะมีอายุของต้นนาน 10-20 ปี ถึงแม้ว่าต้นสบู่ดำจะได้เป็นพืชที่ทนแรงแห้งแล้งได้มาก การปลูกเพื่อให้ได้ผลผลิตที่สม่ำเสมอจำเป็นต้องมีการตัดแต่งกิ่ง เพราะสบู่ดำจะออกลูกเมื่อมีการแตกยอดใหม่ นอกจากนี้ควรมีการให้น้ำ 4-5 วันต่อ 1 ครั้ง



ภาพที่ 2.1 ต้นสบู่ดำที่มีการอุดอดและการตัดแต่ง

ผลสบู่ดำมีลักษณะเป็นพุ ส่วนมากจะมี 3 พุ ผลอ่อนมีสีเขียวอ่อน เวลาสุกแก่จัดจะมีสีเหลือง อายุของผลสบู่ดำต้องตั้งแต่ออกดอกถึงผลแก่ประมาณ 60 – 90 วัน ส่วนของเมล็ดมีสีดำ มีลักษณะกลมรี เป็นลักษณะเด่นที่สำคัญในสีขาว เมล็ดกว้างประมาณ 1 เซนติเมตร ยาวประมาณ 2 เซนติเมตร น้ำหนักรวมของ 100 เมล็ด ประมาณ 70 กรัม ภาพที่ 2.2



ภาพที่ 2.2 ลักษณะเมล็ดสบู่ดำ

การปลูกสบู่ดำเพื่อนำมันจากเนื้อในเมล็ดมาผลิตเป็นน้ำมันทดแทนจำเป็นต้องมีการวิจัยและพัฒนาเพื่อยกระดับผลผลิตให้สูงขึ้น นอกจากนี้ยังต้องมีการวิจัยด้านการปรับปรุงสายพันธุ์ และมีการสนับสนุนอย่างต่อเนื่อง ปัจจุบันมีหลายจังหวัดที่ทำการเพาะปลูกสบู่ดำเพื่อใช้ผลิตเป็นน้ำมันเชื้อเพลิง เช่น ร้อยเอ็ด นครราชสีมา ชัยนาท ปราจีนบุรี เพชรบุรีและเชียงใหม่ เป็นต้น

### 2.1.2 การสกัดน้ำมันสบู่ดำดิบ [21-22]

วิธีการสกัดน้ำมันสบู่ดำดิบที่นิยมมี 3 วิธีคือ

2.1.2.1 การสกัดในห้องปฏิบัติการโดยใช้วิธีการบดละเอียด และสกัดด้วยตัวทำละลาย บีโตรเลียมอีเทอร์ วิธีการนี้จะทำให้ได้ปริมาณน้ำมันจากเมล็ดรวมเปลือกร้อยละ 34.96 และจากเนื้อในเมล็ดร้อยละ 54.68 ในกรณีที่นำเมล็ดสบู่ดำมาอุ่นให้ความร้อน หรือตากแดด และนำมาทิ้งทำให้ได้ปริมาณน้ำมันมากขึ้น

2.1.2.2 การสกัดด้วยระบบไอลอติก จะได้ปริมาณน้ำมันประมาณร้อยละ 20-25 และมีน้ำมันตกค้างในการร้อยละ 10-15

2.1.2.3 การสกัดด้วยระบบอัดเกลี่ยว จะได้ปริมาณน้ำมันประมาณร้อยละ 25-30 และมีน้ำมันตกค้างในการร้อยละ 5-10

สำหรับวิธีการสกัดด้วยระบบไอลอติก และระบบอัดเกลี่ยวจะต้องนำเมล็ดมาทุบพอแตกและนำไปให้ความร้อนโดยการนำไปตากแดดหรือนึ่งหรือนำเข้าตู้อบก่อนนำเข้าเครื่องสกัด เพื่อให้การสกัดน้ำมันทำได้ง่ายขึ้น น้ำมันที่ได้จากการสกัดจะต้องนำไปกรองสิ่งสกปรกออกหรือทิ้งให้หมดก่อนนำไปใช้งานโดยเฉลี่ยเมล็ดสบู่ดำปริมาณ 4 กิโลกรัมจะสกัดน้ำมันได้ ประมาณ 1 ลิตร เหลือเป็นกาลสบู่ดำ 3 กิโลกรัมสามารถนำไปทำเป็นปุ๋ยอินทรีย์จากพืชได้ น้ำมันสบู่ดำจะมีสีตั้งแต่เหลืองอ่อนจนถึงเข้ม

### 2.1.3 สมบัติทางเคมีและทางกายภาพของน้ำมันสนูด์ดำ

ตารางที่ 2.1 แสดงชนิดของกรดไขมันที่มีอยู่ในน้ำมันสนูด์ดำ เนื่องจากน้ำมันสนูด์ดำมีปริมาณกรดไขมันไม่อิ่มตัวอยู่ในปริมาณสูงกว่ากรดไขมันอิ่มตัว จากในอดีตที่ผ่านมาพบว่าสูตรคำนวณพิชท์ที่ก่อให้เกิดมะเร็งในปัจจุบันมีการตรวจสอบพบว่ามีสารพิษ 3 ชนิดคือฟอร์บอเลอสเทอร์ เคอร์ซีนและไซยาไนด์ โดยฟอร์บอเลอสเทอร์พบมากในส่วนของน้ำมันและน้ำยาหงส์ร้าย ส่วนของต้นสนูด์ดำ ถ้ารับประทานสารประเภทดังกล่าวจะทำให้เกิดอาการคลื่นไส้อาเจียนและท้องเสีย อย่างไรก็ตามในการใช้งานเป็นเชื้อเพลิง สารพิษดังกล่าวจะสามารถถูกเผาไหม้

ตารางที่ 2.1 ชนิดและปริมาณกรดไขมันที่มีอยู่ในน้ำมันสนูด์ดำ [21-22]

ชนิดของกรดไขมัน	ร้อยละโดยน้ำหนัก
กรดไขมันอิ่มตัว	20.9
กรดพาล์มิติก	14.9
กรดสเตียริก	6.0
กรดไขมันไม่อิ่มตัว	78.6
กรดโอลีอิก	41.2
กรดลิโนลีอิก	37.4

สมบัติทางเคมีและทางกายภาพของน้ำมันสนูด์ดำ วิเคราะห์โดยวิธีมาตรฐาน ของ AOCS และวิธีมาตรฐานของ ASTM ในรายการค่าความหนืด ค่าความร้อน และปริมาณชัลเฟอร์ ดังแสดงข้อมูลในตารางที่ 2.2

ตารางที่ 2.2 สมบัติทางเคมีและทางกายภาพของน้ำมันสนบุ่ง [21-22]

สมบัติ	ค่าที่ได้
1. ค่าความถ่วงจำเพาะ ที่ 25 องศาเซลเซียส	0.9147
2. ดัชนีหักเห ที่ 25 องศาเซลเซียส	1.4694
3. ค่าความเป็นกรด	0.99
4. ค่าแซพอนนิฟิเดชัน (มิลิกรัมโพแทสเซียม ไฮดรอกไซด์ / 1 กรัมน้ำมัน)	145.20
5. ค่าไอโอดีนแบบวิจารณ์ (กรัมไอโอดีน / 100 กรัม)	101.40
6. ค่าปริมาณไฮดรอกซิล	3.13
7. ปริมาณน้ำและสิ่งที่ระเหยได้ที่ 150 องศาเซลเซียส (ร้อยละโดยน้ำหนัก)	0.14
8. ค่าความหนืด ที่ 35 องศาเซลเซียส (เซนติสโตกส์)	40.29
9. ปริมาณซัลเฟอร์ (ร้อยละโดยน้ำหนัก)	0.9
10. ค่าความร้อน (บีทียูต่อปอนด์)	16.789

2.2 ยางพารา [10, 23-29]

2.2.1 ลักษณะทั่วไปของยางพารา

ยางพารา (*Hevea brasiliensis* Muell. Arg.) เป็นไม้ยืนต้นที่รากินกำเนิดในบริเวณร้อนและชุ่มชื้น ขึ้นแบบลุ่มแม่น้ำอ่าวเมซอนในทวีปอเมริกาใต้ ต่อมาก็ได้มีการขยายการปลูกไปยังประเทศใกล้เคียงอย่างสูตรประเทศที่เป็นแหล่งผลิตยางพาราที่สำคัญได้แก่ มาเลเซีย อินโดนีเซีย และไทย (สุจินต์ แม้นเหมือน ประพาส รุ่มเย็นและชัยโรจน์ ธรรมรัตน์, 2555, หน้า 15-19) ยางพาราเป็นพืชที่ใช้ปุ๋ยน้อยเมื่อเปรียบเทียบกับพืชเศรษฐกิจอื่นๆ เช่น ปาล์มน้ำมันและไม้ผล (อารักษ์ จันทุมานา, 2551, หน้า 69-77) ลักษณะต้นยางพาราตั้งแสดงในภาพที่ 2.3



ภาพที่ 2.3 ลักษณะต้นยางพารา

ที่มา: <http://kanchanapisek.or.th/kp6/New/sub/book/>

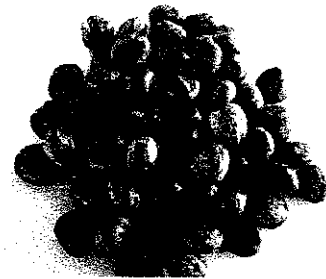
สำหรับประเทศไทย ย่างพาราจัดเป็นพืชเศรษฐกิจชนิดหนึ่งที่สำคัญและมีการปลูกเกือบทั่วทุกภาค ข้อมูลพื้นที่ปลูกยางพาราจากสำนักงานเศรษฐกิจการเกษตรพบว่าในปี พ.ศ.2552 ประเทศไทยมีพื้นที่ปลูกยาง 17,254,317 ไร่ กระจายอยู่ในภาคใต้ 11,512,990 ไร่ ภาคตะวันออกและภาคกลาง 2,063,418 ไร่ ภาคตะวันออกเฉียงเหนือ 2,984,097 ไร่ และภาคเหนือ 693,812 ไร่ การเพิ่มพื้นที่ปลูกยางพาราเป็นการสร้างรายได้ให้แก่เกษตรกรและยังสร้างสมดุลให้โลกเพิ่มในการเจริญเติบโตของยางพาราจะดูดแก๊สคาร์บอนไดออกไซด์เพื่อใช้ในกระบวนการสังเคราะห์ด้วยแสง ต้นยางพารามีอายุ 10 ปีสามารถเก็บกักคาร์บอนไดออกไซด์ในรูปมวลซีวภาพได้ 26.43 ตันต่อไร่และดูดซับคาร์บอนไดออกไซด์ 3.73 ตันต่อไร่ (กรกัญญา อักษรเนียม, 2554, หน้า 180-181) เมื่อต้นยางพารามีอายุมากขึ้นจะสามารถเก็บกักคาร์บอนไดออกไซด์ในรูปของมวลซีวภาพและสามารถดูดซับคาร์บอนไดออกไซด์ได้เพิ่มขึ้น

## 2.2.2 เมล็ดยางพารา

เมล็ดยางพาราจัดเป็นผลพolloยได้ชนิดหนึ่งที่ได้จากต้นยางพาราออกเห็นจากน้ำยางพาราและไม่ยางพารา ต้นยางพาราจะให้ผลผลิตเมล็ดยางพาราก่อนต้นยางถูกเปิดกรีด โดยทั่วไปเมล็ดยางพาราจะแตกจากผู้ร่วงตกลงจากต้นประมาณช่วงเดือนกรกฎาคมถึงเดือนกันยายน ปัจจัยที่มีผลต่อการให้ผลผลิตเมล็ดยางพาราคือโรคทางใบ เช่นโรคราแป้ง โรคใบบุดบุน และโรคใบร่วงในช่วงที่ฝนตกชุก การเก็บรวบรวมเมล็ดยางพาราดำเนินการโดยเจ้าของสวนและแรงงานรับจ้างเก็บเมล็ดยางพารา จากรายงานในประเทศไทยจะผลิตเมล็ดยางพาราได้ 10 กิโลกรัมต่อไร่ต่อปี ในขณะที่ประเทศอินเดียจะผลิตเมล็ดยางพาราได้ 24 กิโลกรัมต่อไร่ต่อปี

เมล็ดยางพาราเป็นเมล็ดพืชน้ำมันที่เสียจ่ายดังนั้นภายหลังจากการเก็บจะต้องรีบขายหรือนำไปใช้ประโยชน์เช่น นำมายาเพาะปลูกแล้วติดตายเป็นต้นกล้ายาง นอกจากนี้ในส่วนเนื้อจะมีน้ำมันซึ่งสามารถนำมาผลิตเป็นเชื้อเพลิง ส่วนของกากระเมล็ดยางมีปริมาณสูงใช้ในการเลี้ยงสัตว์ เช่น วัว และสัตว์ปีก (อารักษ์ จันทุมา, 2551, หน้า 69-77) ถูกที่ลูกยางแก่เต็มที่จะอยู่ในช่วงเดือนมิถุนายนถึงเดือนธันวาคมสามารถนำมาผลิตเชื้อเพลิงได้ ทั้งนี้ขึ้นอยู่กับพื้นที่ปลูกและความอุดมสมบูรณ์ของดินและน้ำ (ดัดลอกจากเรื่องไบโอดีเซลจากเมล็ดยางพาราอีกทางเลือก "พืชพลังงาน สืบคันจาก<http://www.biodesel.rdi.ku.ac.th>)

โดยทั่วไปเมล็ดยางพารามีน้ำหนักสดอยู่ระหว่าง 3 ถึง 5 กรัมต่อ 1 เมล็ด ประกอบด้วยเนื้อในเมล็ดร้อยละ 40 กลาเปลือกเมล็ดร้อยละ 35 และน้ำร้อยละ 25 ปริมาณน้ำมันที่มีอยู่ในเนื้อเมล็ดที่หากแห้งมีปริมาณร้อยละ 35-38 และเป็นส่วนกากเมล็ดร้อยละ 57-62 ส่วนเนื้อในเมล็ดยางที่กระเทาะเปลือกและแห้งสามารถเก็บไว้ได้เป็นเวลา 4 เดือนโดยไม่เสียหาย ภาพที่ 2.4 และ 2.5 แสดงภาพของเมล็ดยางพาราและเนื้อในเมล็ดยางพาราตามลำดับ



ภาพที่ 2.4 ลักษณะของเม็ดยางพารา



ภาพที่ 2.5 ลักษณะของเนื้อในเม็ดยางพารา

### 2.2.3 น้ำมันเม็ดยางพารา

น้ำมันเม็ดยางพาราจัดเป็นน้ำมันที่สามารถระเหยแห้งปานกลาง สีเหลืองอ่อน กินไม่ได้ ไม่จับตัว เป็นตะกอน ในน้ำมันประกอบด้วยกรดไขมันอิมตัวประมาณร้อยละ 17-22 และกรดไขมันไม่อิมตัวประมาณร้อยละ 17-82 ในทางอุตสาหกรรมสามารถนำไปทำสบู่ ใช้เป็นน้ำมันแทนน้ำมันลินสีดเพื่อผสมทำสี ใช้สมสารเคลือบป้องกันการสึกกร่อน น้ำมันเม็ดยางพาราไม่สามารถบริโภคได้เนื่องจากในส่วนเนื้อในเม็ดมีกรดไฮโดรไซยาโนต์ 749 มิลลิกรัมต่อกิโลกรัม ชนิดของกรดไขมันที่มีอยู่ในน้ำมันเม็ดยางพาราและสมบัติของน้ำมันเม็ดยางพาราแสดงในตารางที่ 2.3 และ 2.4 ตามลำดับ

ตารางที่ 2.3 ชนิดและปริมาณกรดไขมันที่มีอยู่ในน้ำมันเมล็ดยางพารา[28]

ชนิดของกรดไขมัน	ร้อยละโดยน้ำหนัก
<b>กรดไขมันอิมตัว</b>	
กรดพาล์มิติก	10.2
กรดสเทียริก	8.7
<b>กรดไขมันไม่อิมตัว</b>	
กรดโอลีอิก	24.6
กรดลิโนเลอิก	39.6
กรดลิโนลีนิก	16.3

ตารางที่ 2.4 สมบัติทางเคมีและทางกายภาพของน้ำมันเมล็ดยางพารา [29]

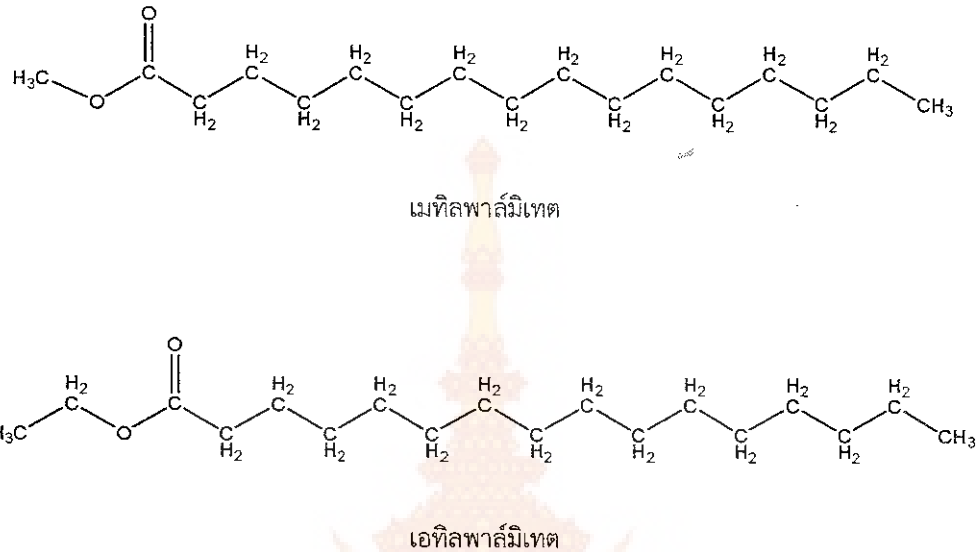
สมบัติ	ค่าที่ได้
1. ค่าความถ่วงจำเพาะ ที่ 25 องศาเซลเซียส	0.9147
2. ค่าความเป็นกรด	0.99
3. ค่าแซพอนนิฟิเคชัน (มิลลิกรัมโพแทสเซียม ไฮดรอกไซด์ / 1 กรัมน้ำมัน)	145.20
4. ค่าไอโอดีนแบบวิจีส์ (กรัมไอโอดีน / 100 กรัม)	101.40
5. ปริมาณน้ำและสิ่งที่ระเหยได้ที่ 150 องศาเซลเซียส (ร้อยละโดยน้ำหนัก)	0.14
6. ค่าความหนืด ที่ 35 องศาเซลเซียส (เซนติสโตกส์)	40.29
7. ปริมาณซัลเฟอร์ (ร้อยละโดยน้ำหนัก)	0.9
8. ค่าความร้อน (บีที่ยูต่อปอนด์)	16.789

### 2.3 ไบโอดีเซล [30-32]

#### 2.3.1 คำจำกัดความ

ตามมาตรฐาน ASTM D6751 ได้ให้คำจำกัดความของเบนโซดีเซล ว่าคือ แอลกอฮอล์เชื้อเพลิงของกรดไขมันสายโซ่ยาวที่ได้มาจากการน้ำมันพืชหรือไขมันสัตว์ประกอบด้วยไม่เกิน 10% ของแอลกอฮอล์ 1 ไม่เกิน 10% เชื่อมต่อด้วยพันธะเอสเทอร์

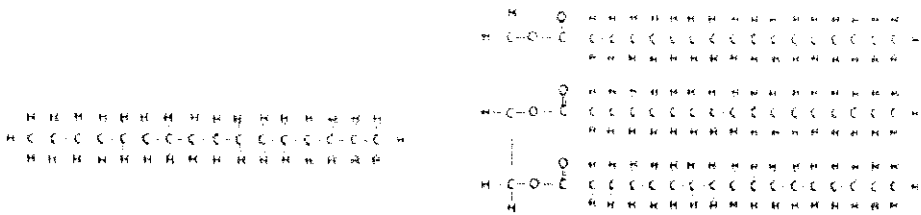
ถ้าใช้ methanol จะเกิดผลิตภัณฑ์เป็นเมทิลเอสเทอร์ แต่ถ้าใช้ ethanol จะเกิดผลิตภัณฑ์เป็นเอทิลเอสเทอร์ ด้วยอย่างโครงสร้างของเมทิลเอสเทอร์และเอทิลเอสเทอร์ ดังแสดงในภาพที่ 2.6



ภาพที่ 2.6 โครงสร้างของเมทิลพาร์มิเตตและเอทิลพาร์มิเตต

ใบโอดีเซลสามารถใช้เป็นเชื้อเพลิงทดแทนน้ำมันดีเซลที่แปรรูปมาจากการเลี่ยมได้เนื่องจาก เมื่อพิจารณาโครงสร้างของไมเลกุลไทรอกซิเซอโรดินน้ำมันพืชหรือไขมันสัตว์จะมีขนาดโครงสร้างไมเลกุลของ แอลกิลเอสเทอร์ของกรดไขมัน ซึ่งมีส่วนของสายไนโตรคาร์บอนที่มีจำนวนอะตอมของคาร์บอนอยู่ในช่วง ใกล้เคียงกับจำนวนคาร์บอนในน้ำมันดีเซล ดังแสดงในภาพที่ 2.7 ในปัจจุบันใบโอดีเซลถูกใช้งานทั้งแบบที่ เป็นใบโอดีเซล B100 และแบบที่ใช้ผสมกับน้ำมันดีเซลในอัตราส่วนต่างๆ เช่น ใบโอดีเซล B5 ใบโอดีเซล B10<sup>1</sup> เป็นต้น

<sup>1</sup> B10 หมายถึงใบโอดีเซลหรือแอลกิลเอสเทอร์ร้อยละ 10 ผสมกับน้ำมันดีเซลพื้นฐานร้อยละ 90 โดยปริมาตร



### ตัวอย่างโครงสร้างโมเลกุลของน้ำมันดีเซล

### โครงสร้างของน้ำมันดีเซลในกลีเซอไรส์

ภาพที่ 2.7 เปรียบเทียบโครงสร้างโมเลกุลของน้ำมันดีเซลกับโครงสร้างของน้ำมันดีเซลในกลีเซอไรส์ ที่มีพิษหรือไขมันสัตว์

#### 2.3.2 กระบวนการผลิตใบโพดีเซล

กระบวนการผลิตใบโพดีเซล หรือการสังเคราะห์เօสເທ່ອງຈາກນ້ຳມັນພີ້ຫຼືໄຂມັນສັຕ່ວ ທຳໄດ້ 3 ວິຊ  
ກືອ

2.3.2.1 การทำปฏົກປີຍາຂອງນ້ຳມັນພີ້ຫຼືໄຂມັນສັຕ່ວໃຫຍ້ກັບແລກອອຫ້ອລ ໂດຍໃຫ້ເບີສຫ້ຮູ້ກຣດເປັນຕົວເຮົ່າ  
ປົກປີຍາ ທີ່ເຮັດວຽກກ່າວປົກປີຍາແຫຣນສ-ເອສເທ່ອງເຄີຍ

2.3.2.2 การทำປົກປີຍາຂອງນ້ຳມັນພີ້ຫຼືໄຂມັນສັຕ່ວໃຫຍ້ກັບແລກອອຫ້ອລທີ່ອຸ່ນຫຼຸມແລະຄວາມດັນສູງໂດຍໄມ້ຕ້ອງໃຫ້  
ຕົວເຮົ່າປົກປີຍາ ທີ່ກວາງເໜື້ອຈຸດວິກຸດ

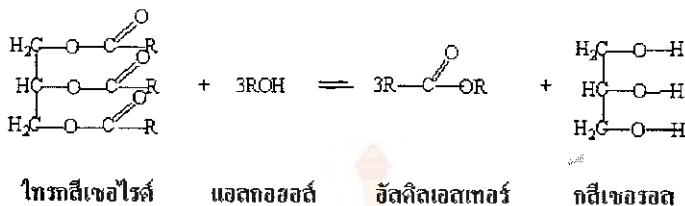
2.3.2.3 การทำປົກປີຍາເປັນນ້ຳມັນພີ້ຫຼືໄຂມັນສັຕ່ວໃຫຍ້ກັບແລກອອຫ້ອລ ໂດຍໃຫ້ກຣດເປັນຕົວເຮົ່າປົກປີຍາ ແກີເປັນເອສເທ່ອງ ທີ່ເຮັດວຽກກ່າວປົກປີຍາ-ເອສເທ່ອງ-  
ເຄີຍ (Esterification)

ຍ່ອງໃຈກໍຕາມການເລືອກໃຫ້ກະບວນການໄດ້ໃຫ້ເໝາະສົມໃນການຜິດໄປໂດີເສດຖະກິດຈະບັນຍຸ້ກັບປັຈຢ່າຍຫລາຍ  
ປະກາດກືອງ ຈົດແລະຄຸນກາພຂອງວັດຖຸທີ່ໃນລົງທຸນ ໃນປັຈຈຸບັນການຜິດໄປໂດີເສດຖະກິດໃຫ້ກະບວນການແຫຣນສ-  
ເອສເທ່ອງ-ເຄີຍ

#### 2.3.3 ປົກປີຍາແຫຣນສ-ເອສເທ່ອງ-ເຄີຍ

ປົກປີຍາແຫຣນສ-ເອສເທ່ອງ-ເຄີຍເປັນຮັບກັນຈັກກັນໃນປີ 1853 ເມື່ອຄູກນຳມາໃຫ້ໃນການຜິດກີເຊອ-  
ຮອລຈາກນ້ຳມັນລະຫຸ່ງ (Castor oil) ໂດຍນໍານ້ຳມັນລະຫຸ່ງນາມໃຫ້ປົກປີຍາກັບເຂຫານອລ ໃນປັຈຈຸບັນປົກປີຍາແຫຣນສ-  
ເອສເທ່ອງ-ເຄີຍທີ່ເຮັດວຽກກ່າວປົກປີຍາ-ເຄີຍ (Alcoholytic) ເປັນປົກປີຍາເຄມີທີ່ນີ້ຍົມໃຫ້ໃນການຜິດໄປໂດີເສດ  
ທັງແສດງໃນການທີ່ 2.8 ໂມເລກຸລຂອງໄທຮົກລືເອົາຕົ້ນທີ່ເປັນອົງກົບພົມກົມທີ່ອຸ່ນໃນນ້ຳມັນພີ້ຫຼືໄຂມັນສັຕ່ວຈະທຳ  
ປົກປີຍາກັບແລກອອຫ້ອລໃນກວາງທີ່ມີຕົວເຮົ່າປົກປີຍາແລະເກີດຜິດກົມທີ່ເປັນແລກຄືລເອສເທ່ອງຜສມຂອງກຣດໄປມັນ  
ຫລາຍໜີດກັບຜລພລອຍເດືອກົກລືເອົາຕົ້ນ ປົກປີຍານີ້ເປັນປົກປີຍາຜັນກັບເຕີ ແລກອອຫ້ອລທີ່ນີ້ຍົມໃຫ້ນາກທີ່ສຸດກືອງ

เมทานอลเพรpareเป็นแอลกอฮอล์ที่มีความว่องไวในการเกิดปฏิกิริยาสูง และมีราคาถูก อย่างไรก็ตามในบางประเทศ เช่นประเทศไทยจะใช้ ether แทนเพรpareสามารถผลิตได้ในประเทศไทยมีราคาถูกกว่า



ภาพที่ 2.8 สมการเคมีแสดงปฏิกิริยาแพรนส์-ເອສເທୋຣີຟຒເຂັ້ນ

### 2.3.3.1 ปัจจัยที่มีผลต่อปฏิกิริยาແຫຣນສ'-ເອສເທୋຣີຟຒເຂັ້ນ

ในการทำปฏิกิริยาແຫຣນສ'-ເອສເທୋຣີຟຒເຂັ້ນจำเป็นต้องคำนึงถึงปัจจัยต่างๆดังนี้ คือ

#### 1) ชนิดของแอลกอฮอล์

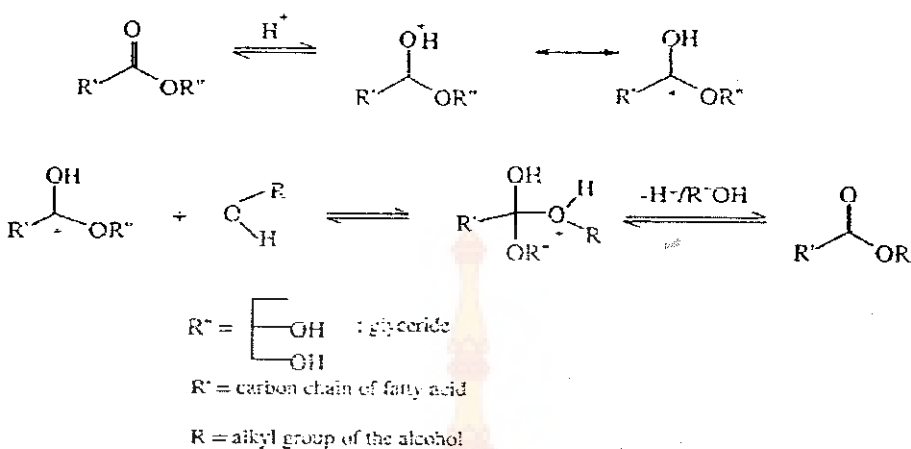
จากการวิจัยที่ผ่านมา มีการรายงานการใช้แอลกอฮอล์หลายชนิดซึ่งได้แก่ เมทานอล เอทานอล โพรพานอล ไอโซโพรพานอล บิวทานอลและเพนทานอล เป็นต้น แต่โดยทั่วไปจะใช้ เมทานอลและเอทานอล โดยเฉพาะอย่างยิ่งเมทานอลเนื่องจากเป็นแอลกอฮอล์ที่มีราคาถูก ไม่เลกุลมาก เล็กและมีข้อดี ทำให้สามารถละลายตัวเร่งปฏิกิริยาได้ง่าย อย่างไรก็ตามควรใช้ปริมาณแอลกอฮอล์ให้มาก เกินพอเพื่อให้สุมดูลของปฏิกิริยาเลื่อนไปทางขวา ซึ่งมีผลทำให้ได้ร้อยละของผลิตภัณฑ์สูง

#### 2) ชนิดของตัวเร่งปฏิกิริยา

ตัวเร่งปฏิกิริยาที่นิยมใช้สำหรับปฏิกิริยาແຫຣນສ'-ເອສເທୋຣີຟຒເຂັ້ນแบ่งได้เป็น 3 ชนิดคือ กรด เบส และเอนไซม์

2.1) ตัวเร่งปฏิกิริยาประเภทกรด ตัวเร่งปฏิกิริยาประเภทกรดที่ใช้ อาทิเช่น กรดชัลฟิวริก กรดไฮโดรคลอริก และกรดชัลฟอนิก เป็นต้น ตัวเร่งปฏิกิริยาประเภทนี้ หมายความว่าทำให้กรดไขมันอิสระเข้ากับน้ำมันพืชที่มีปริมาณของกรดไขมันอิสระสูง โดยตัวเร่งปฏิกิริยาประเภทนี้จะช่วยทำให้กรดไขมันอิสระเปลี่ยนไปเป็นເອສເທୋຣີຟຒເຂັ້ນ การทำปฏิกิริยาແຫຣນສ'-ເອສເທୋຣີຟຒເຂັ້ນโดยใช้กรดเป็นตัวเร่งปฏิกิริยาจะเกิดซักว่าเมื่อใช้เบส และต้องใช้เวลานานนึงจะเกิดปฏิกิริยาได้อย่างสมบูรณ์ นอกจากนี้แล้วตัวเร่งปฏิกิริยาประเภทกรดยังก่อให้เกิดปัญหาการกัดกร่อนอุปกรณ์ในกระบวนการผลิต

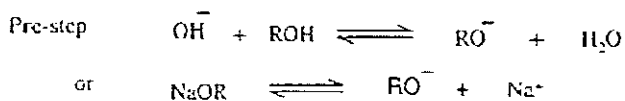
กลไกการเกิดปฏิกิริยาແຫຣນສ'-ເອສເທୋຣີຟຒເຂັ້ນเมื่อใช้กรดเป็นตัวเร่งปฏิกิริยา ดังแสดงในภาพที่ 2.9 แสดงถึงการเกิดปฏิกิริยาของมอนอกอีເຊෝໄຣດ์ ซึ่งปฏิกิริยาเริ่มจากที่ตัวแทนค่าบอนิลเกิด ໂປ-ໂຕນເຂັ້ນ (protonation) เปลี่ยนไปเป็นลักษณะของຄາຣໂບແຄທໄອໂອນ (carbocation) หลังจากนั้นแอลกอහอลซึ่งมีคุณสมบัติเป็นນິຈລືໂອຟົດจะเข้าไปชนที่ตัวแทนค่าบอนิลໄອໂອນและเกิดการຈັດໂຄຮສຮ້າງໃໝ່ໄດ້ມີເລກຸລຂອງເອສເທୋຣີຟຒເຂັ້ນແລະກຳລືເຂອຮອລ



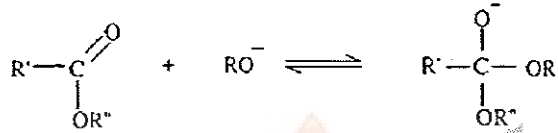
ภาพที่ 2.9 กลไกการเกิดปฏิกิริยาแทرنส์เอสเทอเรฟิเคชันเมื่อใช้กรดเป็นตัวเร่งปฏิกิริยา [8]

2.2) ตัวเร่งปฏิกิริยาระบบทเบส ตัวเร่งปฏิกิริยาระบบทเบสที่ใช้มีเหลาชนิด เช่น โซเดียมไฮดรอกไซด์ โซเดียม เมทอกไซด์ โซเดียมเอโนไมด์ โซเดียมไฮಡรายด์ โพแทสเซียมไฮดรอกไซด์ โพแทสเซียมเมทอกไซด์ และโพแทสเซียมเอโนไมด์ เป็นต้น โดยทั่วไปนิยมใช้โซเดียมไฮดรอกไซด์และ โพแทสเซียมไฮดรอกไซด์ เพราะมีราคาถูก การใช้เบสเป็นตัวเร่งปฏิกิริยาจะเกิดการกัดกร่อนน้อยกว่ากรด และเมื่อใช้ในปริมาณที่เท่ากันการใช้เบสเป็นตัวเร่งปฏิกิริยาจะใช้เวลาในการทำปฏิกิริยาน้อยกว่าตัวเร่งปฏิกิริยาระบบทกรด เมื่อเทียบปริมาณของผลิตภัณฑ์ที่เกิดขึ้นใกล้เคียงกัน

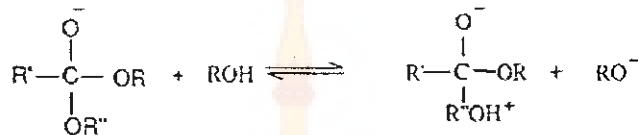
กลไกการเกิดปฏิกิริยาแทرنส์เอสเทอเรฟิเคชันเมื่อใช้เบสเป็นตัวเร่งปฏิกิริยา ดัง แสดงในภาพที่ 2.10 กลไกการเกิดปฏิกิริยาเริ่มจากตัวเร่งปฏิกิริยาเข้าไปดึงไฮดรเจนจากแอลกอฮอล์เกิด เป็นแอลคอโกลไซด์โดยอนซึ่งเป็นนิวเคลียไฟล์จะเข้าไปชนกับกลุ่มคาร์บอนิล (Carbonyl group) เกิดการจัดโครงสร้างใหม่เปลี่ยนไปเป็นเอสเทอร์และกลีเซอรอล



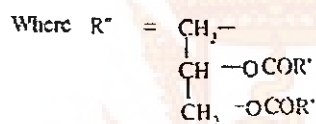
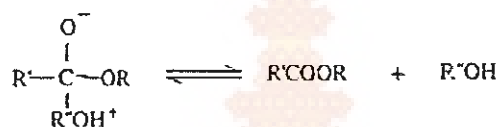
Step. 1.



Step. 2.



Step. 3.



ภาพที่ 2.10 กลไกการเกิดปฏิกิริยาแพรนส์อสเทอโรฟิเคชันเมื่อใช้เบสเป็นตัวเร่งปฏิกิริยา [8]

## 3) ปริมาณความชื้นและกรดไขมันอิสระ

น้ำมันที่จะนำมาเตรียมใบโอดีเซลโดยผ่านปฏิกิริยาแพรนส์อสเทอโรฟิเคชันที่มีเบสเป็นตัวเร่งปฏิกิริยาควรมีค่ากรดไขมันอิสระต่ำกว่าร้อยละ 1 และสารตั้งต้นทุกตัวควรปราศจากน้ำ(Anhydrous) แต่ถ้าน้ำมันพืชมีค่ากรดไขมันอิสระมากกว่าร้อยละ 1 จะต้องเพิ่มปริมาณเบスマากขึ้นเพื่อใช้ในการทำปฏิกิริยาสะเทินกรดไขมันอิสระก่อนนำน้ำมันพืชไปทำปฏิกิริยาแพรนส์อสเทอโรฟิเคชัน เพราะน้ำและเบสจะทำให้เกิดปฏิกิริยาแซพอนิฟิเคชัน(Saponification) หรือปฏิกิริยาการเปลี่ยนเป็นสบู่ ตามภาพที่ 2.11 ซึ่งสบู่ที่เกิดขึ้นจะทำให้เกิดปัญหาในขั้นตอนการแยกເօສເທອຣและกลิเชอรอลออกจากกัน เพราะสบู่ทำหน้าที่ลดแรงตึงผิวทำให้ผลิตภัณฑ์ทั้ง 2 ชนิดเกิดอิมลขันทำให้การแยกขึ้นทำได้ยากขึ้น



ภาพที่ 2.11 ปฏิกิริยาแซพอนิฟิเคชัน

#### 4) อัตราส่วนโดยไม่ลดของสารตั้งต้นระหว่างแอลกอฮอล์กับไทรกลีเซอไรด์ ใน

ปฏิกริยาแแทรนส์เอสเทอโรฟิเคนชันเป็นปัจจัยที่สำคัญที่สุดซึ่งมีผลกระทบต่อปริมาณผลผลิตของแอลกอฮอล์ 3 โดยทางทฤษฎีแล้วต้องการแอลกอฮอล์ 3 ไมล่าทำปฏิกริยา กับไทรกลีเซอไรด์ในน้ำมันพืช 1 ไมล แต่เนื่องจากปฏิกริยาดังกล่าวเป็นปฏิกริยาที่ผันกลับได้ ดังนั้น จึงต้องใช้แอลกอฮอล์ในปริมาณที่มากเกินพอกเพื่อให้สมดุลของปฏิกริยาเลื่อนจากขั้ยไปข้าว

อย่างไรก็ตาม เมื่ออัตราส่วนโดยไม่ลดระหว่างแอลกอฮอล์ต่อน้ำมันพืชสูงขึ้นจะมีผลต่อการแยกชั้นระหว่างเอสเทอโรกับกลีเซอรอล เนื่องจากปริมาณแอลกอฮอล์มากทำให้มีน้ำมันอยู่ในปฏิกริยา มากตามไปด้วย ไม่ว่าจะเป็นน้ำมันมีอยู่ในแอลกอฮอล์หรือน้ำที่เกิดจากการทำงานทำปฏิกริยา ซึ่งน้ำจะทำให้มีโอกาสเกิดปฏิกริยาไฮโดรไลซิสกับไทรกลีเซอไรด์เพิ่มขึ้น

#### 5) อุณหภูมิ

ในการทำปฏิกริยาแแทรนส์เอสเทอโรฟิเคนชัน สามารถทำได้ที่อุณหภูมิต่างๆ ขึ้นอยู่กับชนิดของวัตถุดิบ และแอลกอฮอล์ที่นำมาใช้ในการทำปฏิกริยา ที่อุณหภูมิต่างกันจะส่งผลต่อให้ปริมาณผลผลิตของใบโอดีเซล อุณหภูมิที่เพิ่มขึ้นจะช่วยลดความหนืดของน้ำมันและเพิ่มการสัมผัสน้ำมันกับสารที่ใช้ในการทำปฏิกริยา เมื่ออุณหภูมิเพิ่มขึ้นจะทำให้ปริมาณเอสเทอโรสูงขึ้น แต่เมื่อยิ่งใช้อุณหภูมิแอลกอฮอล์ที่สูงกว่าจุดเดือดของแอลกอฮอล์ เพราะอาจจะเกิดการสูญเสียจากการระเหยของระบบที่ใช้ในการเกิดปฏิกริยา

#### 6) เวลา

อัตราการเปลี่ยนของไทรกลีเซอไรด์เป็นเอสเทอโรในผลิตภัณฑ์จะเพิ่มขึ้นเมื่อเวลาเพิ่มขึ้น ปฏิกริยาแแทรนส์เอสเทอโรฟิเคนชันของน้ำมันถั่วเหลือง น้ำมันเมล็ดฝ้าย น้ำมันดอกทานตะวันและน้ำมันถั่วเหลือง เมื่อทำปฏิกริยาที่อัตราส่วนโดยไม่ลดระหว่างเมทานอลต่อน้ำมันที่ 6:1 และใช้โซเดียมไฮดรอกไซด์เป็นตัวเร่งปฏิกริยาที่ร้อยละ 0.5 โดยน้ำหนักของน้ำมัน อุณหภูมิ 60 องศาเซลเซียส เมื่อเวลาผ่านไป 1 นาที น้ำมันถั่วเหลืองและน้ำมันดอกทานตะวันจะเปลี่ยนเป็นเมทิลเอสเทอโรประมาณร้อยละ 80 และเมื่อเวลาผ่านไป 1 ชั่วโมงผลิตภัณฑ์เมทิลเอสเทอรอย่างน้ำมันทั้ง 2 ชนิด มีค่าไกล์เคียงกัน คือ ร้อยละ 93-98 อย่างไรก็ตามเมื่อถึงจุดที่ปฏิกริยาเกิดขึ้นได้อย่างสมบูรณ์ที่จุดสมดุล ปริมาณของเอสเทอรอย่างนี้จะไม่เพิ่มอีกต่อไป

#### 2.3.4 มาตรฐานคุณภาพใบโอดีเซล

ใบโอดีเซลมีคุณภาพที่หลากหลายขึ้นอยู่กับวัตถุดิบและวิธีการผลิต ดังนั้นจึงจำเป็นต้องมีการกำหนดมาตรฐานกลางที่เหมาะสมเพื่อให้สามารถนำไปโอดีเซลไปใช้งานได้โดยไม่มีปัญหา กับเครื่องยนต์ และใช้เป็นมาตรฐานอ้างอิงสำหรับผู้ผลิต จำหน่ายและใช้งาน ปัจจุบันทั้งยุโรปและอเมริกาได้มีการกำหนด มาตรฐานคุณภาพใบโอดีเซลแล้ว มาตรฐานที่ทางยุโรปกำหนดคือ DIN EN 14214 และมาตรฐานอเมริกาคือ ASTM D 6751 โดยมาตรฐานทั้งสองได้ระบุหลักเกณฑ์และสมบัติต่างๆ ทั้งทางด้านเคมีและกายภาพที่จำเป็นต้องทดสอบก่อนนำไปใช้งาน สำหรับน้ำมันใบโอดีเซลที่มีจำหน่ายในประเทศไทย จะต้องมีสมบัติ

เป็นไปตามข้อกำหนดลักษณะและคุณภาพของใบโอดีเซลประเภทเมทิลเอสเทอร์ของกรดไขมัน ตามที่กรมธุรกิจพลังงานกำหนดรายละเอียดข้อกำหนดแสดงในภาคผนวก ข โดยที่มาและความสำคัญของข้อกำหนดการวิเคราะห์คุณลักษณะทางเคมีและทางกายภาพของใบโอดีเซล

2.3.4.1 ปริมาณเมทิลเอสเทอร์ (Methyl ester content , ทดสอบตามวิธีมาตรฐาน EN 14103) คือ องค์ประกอบหลักของใบโอดีเซล ซึ่งทำให้ใบโอดีเซลมีสมบัติคล้ายน้ำมันดีเซล ปริมาณเอสเทอร์ที่ผลิตได้ใช้เป็นตัววัดความสมบูรณ์ของตัวทำปฏิกิริยาเคมีที่ใช้ผลิตใบโอดีเซล (ปฏิกิริยาแทรนส์เอสเทอเรชัน) หรือใช้เป็นตัววัดผลผลิตที่ได้ ใบโอดีเซลที่มีปริมาณเอสเทอร์ต่ำทำให้ประสิทธิภาพของเครื่องยนต์ลดลง เพราะมีสิ่งเจือปนต่างๆที่ปนผสมอยู่ เช่น โนโน-,ได-และไทรกลีเซอไรด์ , ก๊าซเชอรอลอิสระและแอลกอฮอล์ อาจทำให้ใบโอดีเซลมีความหนืดสูงหรือต่ำเกินไป น้ำมันฉีดเป็นฝอยได้ไม่ดี เกิดการสะสมของคราบสกปรกในเครื่องยนต์ มีตอกอนเกิดขึ้นได้ง่ายเมื่ออุณหภูมิต่ำลง

2.3.4.2 ปริมาณแอลกอฮอล์ (Alcohol content , ทดสอบตามวิธีมาตรฐาน EN 14110) ในกระบวนการผลิตใบโอดีเซลมีการใช้แอลกอฮอล์เป็นสารตั้งต้นซึ่งจำเป็นต้องใช้ในปริมาณที่มากเกินพอเพื่อให้เกิดผลิตภัณฑ์มากที่สุด จึงจำเป็นต้องมีการแยกแอลกอฮอล์ที่เหลือจากการทำปฏิกิริยาออกไป เพราะแอลกอฮอล์จะทำให้เชื้อเน็นนัมเบอร์ คุณสมบัติในการหล่อลื่นและอุณหภูมิจุดควบไฟต่ำลง ทั้งยังมีผลต่อขั้นส่วนเครื่องยนต์ที่ทำด้วยโลหะประเภทอลูมิเนียม สังกะสี เกิดการกัดกร่อน

2.3.4.3 โนโน-,ได-และไทรกลีเซอไรด์ (Mono-,Di-and Triglyceride , ทดสอบ ตามวิธีมาตรฐาน EN 14105) น้ำมันพืชและไขมันสัตว์มีโนโน-,ได-และไทรกลีเซอไรด์ เป็นองค์ประกอบอยู่แล้วในธรรมชาติ เมื่อทำปฏิกิริยากับแอลกอฮอล์และตัวเร่งปฏิกิริย โนโน-,ได-และไทรกลีเซอไรด์จะเปลี่ยนเป็นใบโอดีเซลและกลีเซอรอล ซึ่งในใบโอดีเซลอาจมี โนโน-,ได-และไทรกลีเซอไรด์ที่ไม่เปลี่ยนไปเป็นผลิตภัณฑ์เหลืออยู่บางส่วน ซึ่งส่วนใหญ่จะตกลงก่อนลงมาด้านล่างพร้อมกับกลีเซอรอลและถูกแยกออกไปในขั้นตอนการล้าง ถ้ามีโนโน-,ได-และไทรกลีเซอไรด์ในปริมาณมากจะทำให้ใบโอดีเซลมีความหนืดสูงขึ้นและไม่เป็นไปตามข้อกำหนด มีผลทำให้น้ำมันฉีดเป็นฝอยได้ไม่ดี เกิดคราบสกปรกที่ปลายหัวฉีด ลูกสูบ วาล์วและมีผลต่อความทนทานของเครื่องยนต์

2.3.4.4 ความหนืด (Viscosity , ทดสอบตามวิธีมาตรฐาน ASTM D 445) ดังที่กล่าวมาแล้วข้างต้นในเรื่องความหนืดของน้ำมันพืชและไขมันสัตว์ ซึ่งมีความหนืดสูงกว่าน้ำมันดีเซล 10 - 15 เท่า จึงจำเป็นต้องเปลี่ยนน้ำมันพืชหรือไขมันสัตว์เป็นใบโอดีเซล ด้วยปฏิกิริยาแทรนส์เอสเทอเรชันก่อนนำมาใช้งาน เพื่อให้ได้ใบโอดีเซลที่มีความหนืด ใกล้เคียงกับน้ำมันดีเซล ถ้าหากความหนืดสูงเกินไปจะมีผลต่อการไหลของน้ำมันผ่านหัว หัวฉีดและรูหัวฉีด มีผลต่อรูปแบบการสเปรย์ของน้ำมัน อาจเกิดการสะสมของเขม่าและการปนผสมของน้ำมันเชื้อเพลิงในถังน้ำมันหล่อลื่น ปัญหาดังกล่าวทำให้อายุการใช้งานของเครื่องยนต์สั้นลง หากความหนืดต่ำเกินไปอาจทำให้เกิดการสึกหรอของเครื่องยนต์ ระบบฉีดเชื้อเพลิง และมีผลทำให้ รถสูญเสียกำลัง (Power loss)

2.3.4.5 ค่าความเป็นกรด (Acid value , ทดสอบตามวิธีมาตรฐาน ASTM D 664) เป็นค่าที่บ่งชี้ปริมาณกรดไขมันอิสระ ปริมาณกรดที่เกิดจากการเสื่อมสภาพของน้ำมันและ การเผาไหม้ หรืออาจ

มาจากการตัวเร่งปฏิกิริยาที่กำจัดออกไม่หมดในกระบวนการผลิต (กรณีผลิตโดยใช้ตัวเร่งปฏิกิริยาที่เป็นกรด) และการใช้กรดปรับความเป็นกรด – ด่าง ระหว่างขั้นตอนการ ผลิตใบโอดีเซล ค่าความเป็นกรดอาจทำให้เกิดปัญหาการเกิดสิ่งสกปรกในเครื่องยนต์ อายุการใช้งานของปั๊มและไส้กรองน้ำมันสั้นลง

2.3.4.6 ความเสถียรต่อการเกิดปฏิกิริยาออกซิเดชัน (Oxidation stability , ทดสอบตามวิธีมาตรฐาน EN 14112) ในโอดีเซลอาจเกิดการเสื่อมสภาพจากการทำปฏิกิริยากับออกซิเจนได้ยากกว่าน้ำมันดีเซลมาก เพราะโดยธรรมชาติใบโอดีเซลที่ผลิตจากน้ำมันพืชชนิดต่างๆจะมีปริมาณความไม่อิ่มตัวสูงอยู่ในปริมาณที่แตกต่างกัน ดังนั้นจึงจำเป็นต้องวัดค่าความเสถียรต่อการเกิดปฏิกิริยาออกซิเดชันเพื่อทดสอบถึงความยากง่ายในการเกิดการเสื่อมสภาพของน้ำมัน น้ำมันที่ถูกออกซิเดชันจะเกิดการเปลี่ยนสี มีปริมาณกรดมากขึ้น เกิดตะกอน คราบยางเหนียว เมื่อนำไปใช้งานมีผลทำให้วัสดุชิ้นส่วนที่ใช้ในระบบเชื้อเพลิงของเครื่องยนต์เกิดการเสื่อมสภาพ ตะกอนที่เกิดขึ้นอาจอุดตันไส้กรองน้ำมันเชื้อเพลิง ทำให้หัวฉีดอุดตัน และเกิดการสะสมสิ่งสกปรกในห้องเผาไหม้

2.3.4.7 ชีเทนนัมเบอร์ (Cetane number , ทดสอบตามวิธีมาตรฐาน ASTM D 163) ค่านี้บอกถึงความสามารถในการจุดระเบิดตัวเองของน้ำมันภายใต้การอัด น้ำมันที่มีชีเทนนัมเบอร์สูงทำให้เครื่องยนต์สามารถสตาร์ทติดได้ง่ายไม่มีปัญหา เครื่องยนต์เดินเรียบไม่เกิดการน็อก ส่วนน้ำมันที่มีชีเทนนัมเบอร์ต่ำทำให้การจุดติดไฟยากโดยเฉพาะเมื่ออุณหภูมิต่ำ เครื่องยนต์จะสตุดและมีโอกาสเกิดการน็อกสูง

2.3.4.8 ปริมาณน้ำ (Water content , ทดสอบตามวิธีมาตรฐาน ASTM D 2709) เป็นการวัดหาปริมาณน้ำที่แยกออกจากใบโอดีเซล น้ำในใบโอดีเซลส่วนใหญ่ได้มาจากกระบวนการแปรน้ำของน้ำในบรรณาการคล่องแม่นในเนื้อน้ำมัน การมีน้ำปนอยู่ในใบโอดีเซลเป็นระยะเวลานานจะมีความเป็นกรดสูงซึ่งหากนำไปใช้งานจะทำให้ชิ้นส่วนวัสดุในระบบห้องน้ำมันเชื้อเพลิงระยนต์เสียหาย

2.3.4.9 ปริมาณกำมะถัน (Sulfer content , ทดสอบตามวิธีมาตรฐาน ASTM D 2622) กำมะถันมีอยู่ทั้งในน้ำมันพืชและน้ำมันสัตว์ที่นำมาใช้ผลิตใบโอดีเซล โดยเฉพาะน้ำมันใช้แล้วอาจมีปริมาณกำมะถันสูงถึง 40 พีเพอร์เซนต์ และผู้ผลิตอาหารที่นำมาทดลองในน้ำมัน กำมะถันในน้ำมันจะทำให้เกิดแก๊สซัลเฟอร์ไดออกไซด์และฝุ่นละอองหลังการเผาไหม้ของเครื่องยนต์ และมีผลทำให้อายุการใช้งานของเครื่องยนต์สั้นลง

2.3.4.10 ปริมาณฟอฟอรัส (Phosphorous content , ทดสอบตามวิธีมาตรฐาน ASTM D 4951) ปริมาณฟอฟอรัสส่วนใหญ่มาจากกระบวนการจัดยาางเหนียวในน้ำมันพืชโดยการใช้กรดฟอฟอริกจึงทำให้มีฟอฟอรัสอยู่ในน้ำมันซึ่งนำมาเป็นวัตถุติดสำหรับผลิต ใบโอดีเซล ซึ่งฟอฟอรัสมีผลทำให้อายุการใช้งานของเครื่องยนต์สั้นลง

2.3.4.11 ปริมาณเก้าชัลเฟต (Sulfate ash content , ทดสอบตามวิธีมาตรฐาน ASTM D 874) ปริมาณเก้าชัลเฟตขั้นอยู่กับปริมาณตัวเร่งปฏิกิริยาที่เหลืออยู่ในใบโอดีเซล และปริมาณโลหะที่หลุดออกมากลังจากการใช้งาน ซึ่งอาจอยู่ในรูปของสารประกอบโลหะกับสบู่ที่ละลายน้ำได้ เมื่อเกิดการเผาไหม้ทำให้สิ่งเจือปนเหล่านี้กล้ายเป็นเก้าตกลังอยู่ในเครื่องยนต์ โดยเก้าที่ตกค้างอยู่ในเครื่องยนต์อาจทำให้

เกิดการอุดตันที่ไส้กรองทำให้น้ำมันไหลไม่สะดวก ส่วนโลหะที่หลุดออกมากหลังจากการใช้งานและตัวเร่งปฏิกิริยาที่เหลืออยู่ ทำให้เกิดรอยสกปรกที่ห้าดีด ปั๊มลูกสูบและแหวน

2.3.4.12 สิ่งเจือปนทั้งหมด (Total contamination , ทดสอบตามวิธีมาตรฐาน ASTM D 12662) สิ่งเจือปนในใบโอดีเซลส่วนใหญ่เกิดจากปฏิกิริยาแพรนส์อสเทอฟิคเข้น เช่น กลีเซอรอล ตัวเร่งปฏิกิริยาที่เหลือ กรดไขมันอิสระ เป็นต้น ซึ่งขึ้นอยู่กับประเภทของวัตถุดิบที่ใช้ สิ่งปนเปื้อนโดยมาก มักถูกหักดักออกในขั้นตอนการล้าง แต่ก็ยังมีบางส่วนที่เหลืออยู่ในใบโอดีเซล ซึ่งมีผลต่างๆต่อการทำงานของเครื่องยนต์ เช่น การเสื่อมสภาพของน้ำมัน สมบัติสำหรับใช้งานที่อุณหภูมิต่ำและการเกิดสิ่งสกปรกในเครื่องยนต์

## 2.4 ตัวเร่งปฏิกิริยา (Catalyst) [33-34]

ตัวเร่งปฏิกิริยาหมายถึงสารที่เติมลงไปในปฏิกิริยาแล้วทำให้ปฏิกิริยาเกิดได้เร็วขึ้นหรือทำให้อัตราการเกิดปฏิกิริยาเพิ่มขึ้น ตัวเร่งปฏิกิริยาจะไม่เข้าไปทำงานหรือรบกวนสารตั้งต้นหรือผลิตภัณฑ์ ทั้งนี้เมื่อสิ้นสุดปฏิกิริยา ตัวเร่งปฏิกิริยาจะต้องมีปริมาณเท่าเดิมและมีสมบัติเหมือนเดิม ตัวเร่งปฏิกิริยา มี 2 ประเภทหลัก แบ่งตามวัสดุภาชนะ คือ ตัวเร่งปฏิกิริยาแบบเอกสารพันธุ์ เป็นปฏิกิริยาที่มีวัสดุภาชนะกับสารที่เข้าทำปฏิกิริยา ตัวอย่างของตัวเร่งปฏิกิริยาแบบเอกสารพันธุ์ที่มีสมบัติเป็นกรด และ ตัวเร่งปฏิกิริยาแบบวิวิธพันธุ์ ซึ่งจะกล่าวรายละเอียดในหัวข้อถัดไป

### 2.4.1 ตัวเร่งปฏิกิริยาแบบวิวิธพันธุ์

ตัวเร่งปฏิกิริยาแบบวิวิธพันธุ์จะเกี่ยวข้องกับการเร่งปฏิกิริยาที่สารตั้งต้นและตัวเร่งปฏิกิริยามีวัสดุภาชนะต่างกัน หรือเรียกว่า การเร่งปฏิกิริยาวิวิธพันธุ์ (Heterogeneous catalysis) ปฏิกิริยาวิวิธพันธุ์ส่วนใหญ่นิยมใช้ตัวเร่งปฏิกิริยาที่เป็นของแข็งในการเร่งปฏิกิริยาที่มีสารตั้งต้นที่อยู่ในวัสดุภาคแก๊สหรือของเหลว ซึ่งจะเกิดปฏิกิริยาขึ้นที่พื้นผิวของตัวเร่งปฏิกิริยา

#### 2.4.1.1 องค์ประกอบของตัวเร่งปฏิกิริยาแบบวิวิธพันธุ์

ตัวเร่งปฏิกิริยาแบบวิวิธพันธุ์จะประกอบไปด้วย 2 ส่วนที่สำคัญคือ

1) ตัวรองรับ (Support) จะทำหน้าที่เป็นโครงสร้างที่ให้ก่อรูปอะตอมของโลหะที่ทำหน้าที่เป็นตัวเร่งปฏิกิริยาเกาะทั้งนี้เพื่อให้ตัวเร่งปฏิกิริยาเหล่านั้นเกิดการกระจายตัวที่ดี ตัวรองรับที่เลือกใช้มีหลายชนิดเช่น ชิลิกา อะลูมินา และซิงค์ออกไซด์เป็นต้น ปัจจัยที่ส่งผลต่อความกว้างใจของตัวเร่งปฏิกิริยาได้แก่ พื้นที่ผิว รูพรุน ลักษณะทางเคมีของพื้นผิว ความสามารถในการด้านทานการเสื่อมสภาพ ดังนั้นในโครงสร้างของตัวรองรับจะมีรูพรุนอยู่เป็นจำนวนมาก และพื้นผิวส่วนใหญ่จะอยู่ในรูพรุน พื้นผิวข้างนอกของตัวรองรับจะมีพื้นที่ผิวที่กว้างขึ้น ตัวรองรับสามารถมีพื้นผิวในรูพรุนได้ตั้งแต่ 1-1000 ตารางเมตรต่อกิโลกรัม

2) ตัวเร่งปฏิกิริยา เป็นส่วนที่มีหน้าที่ในการเร่งปฏิกิริยา ทำให้ปฏิกิริยาเกิดได้เร็วขึ้นโดยตัวเร่งปฏิกิริยาจะไปกระจายอยู่บนตัวรองรับ ทำให้มีพื้นที่ผิวมากขึ้นและเป็นตำแหน่งที่เกิดปฏิกิริยา

#### 2.4.1.2 กระบวนการเร่งปฏิกิริยาแบบวิวิธพันธุ์ (Heterogeneous catalytic process)

ลำดับการเกิดปฏิกิริยาในภาวะที่มีตัวเร่งปฏิกิริยาแบบวิวิธพันธุ์

- 1) การแพร่กระจายของสารตั้งต้นเข้าไปภายในรูปทรงของตัวรองรับ
- 2) การแพร่กระจายของสารตั้งต้นไปยังบริเวณผิวน้ำของตัวเร่งปฏิกิริยา
- 3) การดูดซึบของสารตั้งต้นลงบนผิวน้ำของตัวเร่งปฏิกิริยา
- 4) การเกิดปฏิกิริยาที่ผิวน้ำของตัวเร่งปฏิกิริยาทำให้เกิดผลิตภัณฑ์ขึ้น
- 5) การหลุดออกมากของผลิตภัณฑ์ที่เกิดจากผิวน้ำของตัวเร่งปฏิกิริยา
- 6) การแพร่กระจายของผลิตภัณฑ์เข้าไปในระบบ
- 7) การแพร่กระจายของผลิตภัณฑ์ออกจากรูปทรงของตัวเร่งปฏิกิริยา

#### 2.4.2 การเตรียมตัวเร่งปฏิกิริยา (Catalyst preparation)

การเตรียมตัวเร่งปฏิกิริยาถือว่าเป็นศาสตร์ที่สำคัญในการศึกษาเกี่ยวกับตัวเร่งปฏิกิริยาวิวิธพันธุ์ ตัวเร่งปฏิกิริยาวิวิธพันธุ์ที่ใช้ในทางอุตสาหกรรมต้องมีความว่องไวในเชิงปฏิกิริยา ต้องมีความเสถียร และมีการเลือกเฉพาะทั้งยังไม่ทำให้เกิดปฏิกิริยาข้างเคียง ซึ่งสิ่งเหล่านี้ขึ้นอยู่กับเทคนิคการเตรียมตัวเร่งปฏิกิริยา

สำหรับการเตรียมตัวเร่งปฏิกิริยาในทางอุตสาหกรรม จะพิจารณาถึงองค์ประกอบทางเคมีเป็นหลัก และนอกเหนือจากนั้นจะพิจารณาสมบัติอื่นๆ ของตัวเร่งปฏิกิริยา ซึ่งได้แก่

1) พื้นที่ผิว (Surface area) การที่ตัวเร่งปฏิกิริยาจะมีความว่องไวสูงจะต้องมีพื้นที่ผิวมากดังนั้น ตัวเร่งปฏิกิริยาโดยทั่วไปจะเป็นพลาสติกที่มีรูปทรง พื้นที่ภายในจะมีค่าอยู่ในช่วง 10 ลูกบาศก์เมตร/กรัม ถึง 100 ลูกบาศก์เมตร/กรัม อย่างไรก็ตามโครงสร้างที่มีรูปทรงในตัวเร่งปฏิกิริยาและการกระจายขนาดของรูปทรงอาจจะทำให้เกิดการต้านทานการแพร่กระจาย ซึ่งมีผลกระทบต่อความจ่ายของสารตั้งต้นที่จะไปยังตำแหน่งที่ว่องไว ของตัวเร่งปฏิกิริยา (Active site) และการหลุดออกมากของผลิตภัณฑ์มีผลต่ออัตราเร้า สำหรับปฏิกิริยาที่เกิดเร็วจะต้องการตัวเร่งปฏิกิริยาที่มีรูปทรงขนาดใหญ่

2) ความเสถียร (Stability) ตัวเร่งปฏิกิริยาที่ดีต้องมีความทนทานต่อความร้อน สารพิษ ทนต่อภาวะการทำให้ตัวเร่งปฏิกิริยาลับมาใช้ได้ใหม่ได้ ตลอดจนทนต่อความแปรปรวนในภาวะของการทำงาน

3) สมบัติเชิงกล (Mechanical properties) ตัวเร่งปฏิกิริยาต้องทนต่อการขัดสี มีความแข็งแรง (Hardness) ทนต่อแรงกระแทกและแรงอัด

##### 2.4.2.1 วิธีเตรียมตัวเร่งปฏิกิริยา

วิธีการทั่วไปของการเตรียมตัวเร่งปฏิกิริยาทางอุตสาหกรรม ทั้งหมดไม่ว่าจะเป็นโลหะที่กระจายตัวอยู่บนตัวรองรับ ตัวอย่างเช่น อะลูมินา หรือ ซิลิกา หรือสารประกอบที่อาจซับช้อนมากหรือน้อยที่อาจกระจายตัวอยู่บนตัวรองรับหรือไม่ก็ตาม ในกรณีของการเตรียมตัวเร่งปฏิกิริยาโดยทั่วไปจะมีอยู่ 2 แบบ คือ วิธีการเคลือบฝัง (Impregnation method) และวิธีการตกตะกอน (Precipitation method)

- 1) การเคลือบฝัง

เป็นวิธีที่ง่ายที่และนิยมมากที่สุดในการเตรียมตัวเร่งปฏิกิริยา แบ่งออกเป็น 2 วิธี

### 1.1) การเคลือบฝังแบบเปียก (Wet Impregnation)

วิธีนี้จะเติมตัวรองรับในสารละลายของเกลือโลหะที่มีปริมาณมากเกินพอดังนั้นปริมาณของเกลือโลหะที่เก็บบนตัวรองรับจะรักษาต่อเมื่อรู้ปริมาณเกลือโลหะก่อนและหลังการเตรียมผลต่างของเกลือโลหะก่อนและหลังการเตรียมจะเป็นปริมาณของเกลือโลหะที่เก็บบนตัวรองรับ

### 1.2) การเคลือบฝังแบบแห้ง (Dry Impregnation)

วิธีนี้ใช้กันทั่วไปในทางอุตสาหกรรม ตัวรองรับจะถูกทำให้

กระจายตัวอย่างสม่ำเสมอและพ่นด้วยสารละลายที่มีความเข้มข้นที่เหมาะสม โดยปริมาตรของสารละลายที่ใช้ต้องมีปริมาณเท่ากับปริมาตรของรูพรุนทั้งหมดของตัวรองรับหรือน้อยกว่าเล็กน้อย ซึ่งการกระทำเช่นนี้จะเป็นการควบคุมปริมาณขององค์ประกอบที่ว่างไว้ที่เก็บบนตัวรองรับได้อย่างถูกต้อง แต่ปริมาณสูงสุดของการเก็บแต่ละครั้งถูกจำกัดด้วยความสามารถในการละลายของสาร หลังจากนั้นตัวเร่งปฏิกิริยาที่ได้จะถูกทำให้แห้งและนำไปเผาที่อุณหภูมิสูง

ปริมาณและการแจกแจงของเกลือโลหะบนผิวภายในของตัวรองรับ มีผลต่อสมบัติของตัวเร่งปฏิกิริยาที่เตรียมขึ้น ซึ่งปริมาณและการแลกเปลี่ยนขึ้นอยู่กับลักษณะของการดูดซับของเกลือเข้าไปในรู-พรุนของตัวรองรับ

หลังจากที่ตัวถูกละลายเข้าไปในรูพรุน การแจกแจงของเกลือโลหะในขั้นแรกจะยังไม่สม่ำเสมอ เมื่อทำให้แห้งจะพบโลหะอยู่บริเวณส่วนปลายทางเข้าของรูพรุน และเมื่อตัวถูกละลายเข้าไปในรูพรุนของตัวรองรับ แล้วปล่อยทิ้งไว้ในภาชนะปิดที่มีความชื้นสัมพัทธ์ต่ำ หลังจาก 1 ชั่วโมง ผ่านไป การแจกแจงของเกลือโลหะจะเกิดขึ้นอย่างสม่ำเสมอ นอกเหนือนี้การแจกแจงของเกลือโลหะยังมีจุดจำกัดเนื่องจากปริมาณของโลหะที่ถูกดูดซับบนตัวรองรับ โดยที่ในการดูดซับเริ่มแรกปริมาณการดูดซับยังขึ้นอยู่กับความเข้มข้นของสารละลาย แต่เมื่อการดูดซับถึงจุดอิ่มตัวแล้วความเข้มข้นของสารละลายจะไม่มีผลต่อการดูดซับอีกต่อไป

เมื่อการดูดซับอิ่มตัวแล้วขั้นต่อไปเป็นการกำจัดตัวทำละลาย ซึ่งต้องมีการอบให้แห้ง ในขั้นตอนนี้เป็นขั้นตอนที่สำคัญ เพราะอาจทำให้การคาดคะเนความว่องไวของปฏิกิริยาผิดไปได้เนื่องจากรู-พรุนของตัวรองรับมีขนาดต่างกัน เมื่อทำการระเหยสารละลายที่อยู่ในรูพรุนที่มีขนาดใหญ่กว่าจะระเหยออกໄไปก่อนด้วยเหตุนี้ความร้อนที่ให้จึงต้องเป็นไปอย่างชาๆ เพื่อให้การระเหยเป็นไปอย่างทั่วถึง

## 2) วิธีการตกตะกอน

วิธีการตกตะกอน แบ่งออกเป็น 2 วิธีคือ

2.1) การตกตะกอนแบบธรรมด้า (Simple precipitation) เป็นการเตรียมตัวเร่ง-ปฏิกิริยาเพื่อให้ได้โลหะออกไซด์เพียงอย่างเดียว โดยการเติมสารละลายที่เป็นเกลือของโลหะลงไปในสารละลายพอกแอลคาไลไฮดรอกไซด์ (Alkaline hydroxide) หรือแอมโมเนียมไฮดรอกไซด์ (Ammonium hydroxide) หรือแอมโมเนียมคาร์บอเนต (Ammonium carbonate) ซึ่งจะเกิดการตกตะกอนออกมาในรูปโลหะไฮดรอกไซด์ (Metal hydroxide) หรือโลหะкар์บอเนต (Metal carbonate) ที่สามารถเปลี่ยนให้ไปอยู่ในรูปของโลหะออกไซด์ได้เมื่อนำไปเผาที่อุณหภูมิสูง

2.2) การตกตะกอนร่วม (Coprecipitation) มีวิธีการเตรียมเช่นเดียวกับวิธีการตกตะกอนธรรมด้า แต่แทนที่จะใช้โลหะเกลือเพียงอย่างเดียว ต้องใช้เกลือของโลหะมากกว่า 2 ชนิด เพื่อให้เกิดสารละลายเชิงซ้อนที่เรียกว่า สารตั้งต้นตัวเร่งปฏิกิริยา (Catalyst precursor)

ข้อควรระวังในการเตรียมตัวเร่งปฏิกิริยาแบบตกตะกอน คือ การควบคุมภาวะในการเตรียม เช่น ค่าความกรด-เบสของสารละลาย อัตราการผสม อัตราการเติมสารที่ทำให้ตกตะกอน ซึ่งตัวแปรเหล่านี้มีผลต่อโครงสร้างของตัวเร่งปฏิกิริยาเป็นอย่างมาก

#### 2.4.2.2 กรรมวิธีหลักการเตรียมตัวเร่งปฏิกิริยา

##### 1) การล้าง (Washing)

การล้างเป็นการกำจัดสิ่งเจือปนที่เหลืออยู่ในตัวเร่งปฏิกิริยา ซึ่งขั้นตอนนี้ไม่มีความจำเป็นต่อการเตรียมแบบเคลือบฟิล์ม

##### 2) การทำให้แห้ง (Drying)

สามารถทำได้ทั้งในตู้อบหรือทิ้งไว้ในอากาศ แต่โดยมากนิยมทำให้แห้งในตู้อบที่อุณหภูมิ  $100^{\circ}\text{C}$  ประมาณ 24 ชม. เพื่อให้แน่ใจว่าไนโตรเจนจากโครงสร้างจนหมด

##### 3) การจัดรูป (Forming)

การที่จะจัดรูปแบบตัวเร่งปฏิกิริยาให้เป็นลักษณะใดนั้น จะต้องพิจารณาถึงความสมดุลของปัจจัยหลายอย่างประกอบด้วย เช่น สมบัติการไหลของผงสม และความแข็งแรงเพียงพอ โครงสร้างของรูเปิด และความว่องไวสูงสุดของตัวเร่งปฏิกิริยาสุดท้าย รวมทั้งด้านราคา รูปทรงที่นิยมใช้อาจเป็นเม็ดเล็กๆ (Granule) ทรงกลม (Sphere) เม็ดแบน (Tablet) วงแหวน (Ring) หรือทรงกระบอก (Cylinder)

##### 4) การเผาที่อุณหภูมิสูง (Calcination)

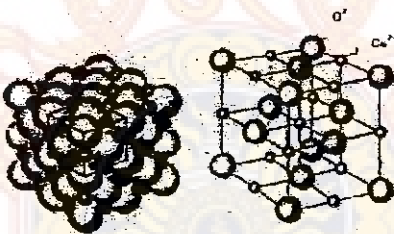
การเผาตัวเร่งปฏิกิริยาที่อุณหภูมิสูงมีเหตุผลเพื่อกำจัดสิ่งเจือปนที่ไม่ต้องการ เช่น ตัวประสาน (Binder) และสารหล่อลื่น รวมทั้งไอออนบากและไอออนลบที่ไม่เสถียรและระเหยได้ง่ายที่เติมลงไปในขั้นตอนที่ผ่านมาเเต่ไม่เป็นที่ต้องการในตัวเร่งปฏิกิริยาสุดท้ายที่เตรียมได้ และอุณหภูมิที่ใช้ควรจะสูงมากเพื่อทำให้เกิดสภาพการรีมดันของการรวมตัวของผลึก (Incipient sintering) แต่ต้องไม่ให้เกิดการรวมตัวของผลึกด้วยความร้อนมากเกินไป (Excessive sintering) ถ้าเกิดสภาพนี้แล้วจะลดความว่องไวของตัวเร่งปฏิกิริยา เนื่องจากปริมาณพื้นที่ผิวที่เป็นตำแหน่งเกิดปฏิกิริยาลดลง และยังเป็นสาเหตุของการจำกัดการแพร่กระจาย (Diffusional limitation) อันเนื่องมาจากรูปรุนที่มีขนาดเล็กลง

## 2.5 แคลเซียมออกไซด์ (Calcium oxide) [33, 35, 36]

แคลเซียมออกไซด์เป็นออกไซด์ของโลหะแคลเซียมที่มีการใช้งานอย่างกว้างขวางในโรงงานอุตสาหกรรม เช่น โรงงานผลิตอาหาร โรงงานผลิตวัสดุก่อสร้าง และยังสามารถนำมาใช้ในงานด้านบิโตรเคมีเช่น การทำปฏิกิริยาไฮโดรเจนออกไซด์ การทำปฏิกิริยาการเติม และปฏิกิริยาออกซิเดชัน ตารางที่ 2.5 แสดงสมบัติของแคลเซียมออกไซด์

ตารางที่ 2.5 สมบัติของแคลเซียมออกไซด์ [33]

สมบัติ	รายละเอียด
สูตรทางเคมี	$\text{CaO}$
น้ำหนักโมเลกุล	56.08
ลักษณะผลึก	ของแข็งสีขาวหรือสีเทาอ่อน บางครั้งอาจมีสีเหลืองอ่อน หรือน้ำตาลอ่อนเมื่อปั่นอยู่กับเหล็ก
จุดหลอมเหลว	2570 °ซ
จุดเดือด	2570 °ซ
ความหนาแน่น	3400 กิโลกรัมต่อลูกบาศก์เมตร
สมบัติทั่วไป	ไม่มีกลิ่น ดูดความชื้นมาก สามารถละลายในกรดทำปฏิกิริยา ค่าน้ำได้แคลเซียมออกไซด์ กับน้ำได้แคลเซียมออกไซด์
โครงสร้างผลึก	Rock-salt structure



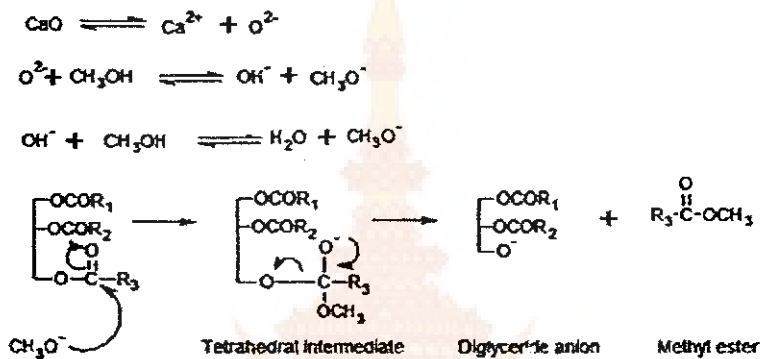
ภาพที่ 2.12 โครงสร้างผลึกของแคลเซียมออกไซด์แบบ rock-salt structure [33]

### 2.5.1 สมบัติและการเร่งปฏิกิริยาของแคลเซียมออกไซด์

แคลเซียมออกไซด์จะเป็นตัวเร่งปฏิกิริยาที่มีสถานะของแข็งเป็นผลึกไอออนิกชนิดหนึ่ง แหล่งแคลเซียมออกไซด์ที่สำคัญที่สุดคือหินปูนซึ่งหาง่ายและราคาถูก อย่างไรก็ตามแคลเซียมออกไซด์สามารถเตรียมได้จากวัสดุเหลือใช้ที่มีแคลเซียมคาร์บอนেตเป็นองค์ประกอบด้วย เช่น เปลือกไข่ และเบลือกสตัฟเหลือทิ้งชนิดต่างๆ เป็นต้น เนื่องจาก เมื่อนำมาเปลือกวัสดุเหลือทิ้งเหล่านี้มาทำการเผาที่อุณหภูมิสูงจะเกิดการละลายตัวโดยความร้อน (Thermal decomposition) ของแคลเซียมคาร์บอนे�ต เพื่อปลดปล่อยโมเลกุลของคาร์บอนไดออกไซด์ เมื่อใช้วัสดุเหลือทิ้งต่างชนิดกันจะใช้อุณหภูมิในการเผาที่แตกต่างกันเพื่อให้ได้แคลเซียม

ออกไซด์ ในขณะที่แคลเซียมออกไซด์ที่เกิดขึ้นจะไม่เสียร สามารถรวมตัวกับแก๊สคาร์บอนไดออกไซด์และน้ำ เกิดเป็นแคลเซียมคาร์บอเนตและแคลเซียมไฮดรอกไซด์

สมบัติการเป็นตัวเร่งปฏิกิริยาแทนส์เอสเทอริฟิเคชันขึ้นอยู่กับปริมาณบริเวณที่ว่องไวในการ เกิดปฏิกิริยา ค่าความเป็นกรดของแคลเซียมออกไซด์จะอยู่ในช่วง  $9.8 < H_+ < 12.2$  และขึ้นอยู่กับจำนวน ออกซิเจนอะตอมที่อยู่บนพื้นผิวและทำหน้าที่เป็นเบสแก่และทำหน้าที่ดึง proton จากโมเลกุลของแอลกอฮอล์ เกิดแอลกอไชด์และเริ่มการเกิดปฏิกิริยา ตามภาพที่ 2.13



ภาพที่ 2.13 กลไกการทำปฏิกิริยาแทนส์เอสเทอริฟิเคชันของตัวเร่งปฏิกิริยาแคลเซียมออกไซด์ [36]

ขั้นที่ 1 แคลเซียมออกไซด์เกิดการแตกตัวได้แคลเซียมไอออน และออกไซด์ไอออน ออกไซด์ ไอออนจะทำหน้าที่เป็นนิวเคลียไฟล์ดึง proton จากเมทานอลทำให้เกิดเมทอกไซด์แอนไฮดรอไชด์ไอ้อน

ขั้นที่ 2 ไฮดรอกไซด์ไอ้อน และเมทานอลทำปฏิกิริยาเกิด เมทอกไซด์แอนไฮดรอไอน

ขั้นที่ 3 เมทอกไซด์แอนไฮดรอไอนทำหน้าที่เป็นนิวเคลียไฟล์ ทำปฏิกิริยาที่หมุนคาร์บอนิลของ โมเลกุลไทรกลีเซอไรด์ เกิด เทหาระดีดรออินเทอร์มิเดีย หลังจากนั้นจะเกิดการจัดเรียงโมเลกุลเป็นเมทิลเอส-เทอร์ และ ไดกีลีเชอโริด์

ขั้นที่ 4 เมทอกไซด์แอนไฮดรอไอนทำหน้าที่เป็นนิวเคลียไฟล์ ทำปฏิกิริยาที่หมุนคาร์บอนิลของ โมเลกุลไดกีลีเชอโริด์อีก เกิด เทหาระดีดรออินเทอร์มิเดีย หลังจากนั้นจะเกิดการจัดเรียงโมเลกุลเป็นเมทิลเอส-เทอร์ และ มองกีลีเชอโริด์

ขั้นที่ 5 เมทอกไซด์แอนไฮดรอไอนทำหน้าที่เป็นนิวเคลียไฟล์ ทำปฏิกิริยาที่หมุนคาร์บอนิลของ โมเลกุลมองกีลีเชอโริด์อีก เกิด เทหาระดีดรออินเทอร์มิเดีย หลังจากนั้นจะเกิดการจัดเรียงโมเลกุลเป็นเมทิล- เอสเทอร์ และ กีลีเชอโรอล

เมื่อปฏิกิริยาสิ้นสุดจะเกิด เมทิลเอสเทอร์ 3 โมเลกุล และกีลีเชอโรอล 1 โมเลกุล

แคลเซียมออกไซด์มีความสามารถในการเป็นตัวเร่งปฏิกิริยา งานวิจัยที่ผ่านมาพบว่าแคลเซียม-ออกไซด์มีประสิทธิภาพในการเร่งปฏิกิริยาแพรนอสเทอโรฟิโนเซ็นท์สูง มีร้อยละการเปลี่ยนอยู่ในช่วง ร้อยละ 85-99 และสามารถนำกลับมาใช้ได้ซ้ำหลายครั้ง อย่างไรก็ตามการเสียสภาพของแคลเซียมออกไซด์เกิดจาก การดูดซับคาร์บอนไดออกไซด์ และน้ำบริเวณตำแหน่งที่เป็นเบสซิงปัจจัยนี้สัง Mosul ให้แคลเซียมออกไซด์สูญเสีย สภาพการทำงานจากการดังกล่าวได้ระหว่างที่ทำการทดลองหากไม่มีการป้องกันอย่างเหมาะสม

### 2.5.2 เปลือกหอยแครงแปรรูป

เปลือกหอยเป็นสัตว์ไม่มีกระดูกสันหลัง สร้างเปลือกแข็งขึ้นมาห่อหุ้มตัว เพื่อป้องกันร่างกาย เปลือกหอยแครงประกอบด้วยแคลเซียมคาร์บอเนตประมาณร้อยละ 95-99 โดยน้ำหนัก ส่วนที่เหลือเป็นสาร อินเซ็นแคลเซียมฟอสเฟต แมgnีเซียมคาร์บอเนต แมgnีเซียมฟอสเฟต แมgnีเซียมชิลิกेट เป็นต้น ในส่วนของ เปลือกหอยแครงแบ่งออกเป็น 3 ชั้น คือชั้นนอกสุดเรียกว่าชั้นผิวนอกสารส่วนใหญ่เป็นโปรตีนประเทกอนไค โอลีนเป็นชั้นที่บางและหลุดง่าย ชั้นกลางเรียกชั้นผึ้งแคลเซียมประกอบด้วยผลึกรูปต่างๆของสารประกอบ แคลเซียมซึ่งส่วนใหญ่ในรูปแคลไซด์เป็นชั้นที่หนาและแข็งแรงที่สุด ชั้นในสุดเรียกว่าชั้นมุก ผลึกรูปต่างๆ ของสารประกอบแคลเซียมซึ่งส่วนใหญ่ในรูปอะโรโนิตเป็นชั้นที่เรียบมีความหนาบางแตกต่างกันไปตาม ชนิดของหอยทำให้เปลือกมีสีขาวขุ่นและเป็นมันวาวแตกต่างกัน

แคลเซียมคาร์บอเนตในเปลือกหอยสามารถถูกเผาและแปรรูปกลายเป็นแคลเซียมออกไซด์ที่ อุณหภูมิสูง 500- 1000 ° สามารถยืนยันการเปลี่ยนแปลงได้โดยการศึกษาด้วยเทคนิคการเลี้ยวเบนรังสีเอ็กซ์ ซึ่งเป็นเครื่องมือที่ใช้ในการวิเคราะห์โครงสร้างผลึกของสารประกอบและสามารถแยกแยะประเภท และชนิด ของวัสดุที่พบในธรรมชาติว่ามีรูปแบบโครงสร้างผลึกแบบใด หรือจำแนกได้ว่าวัสดุที่พบเห็นเป็นแร่ชนิดใดโดย ทำการวัดความเข้มของรังสีที่สะท้อนออกมากที่มุ่งต่างๆเปรียบเทียบกับข้อมูล การศึกษาการเลี้ยวเบนของรังสี เอ็กซ์ของแคลเซียมคาร์บอเนตจะพบสัญญาณที่  $2\theta = 23.30^\circ, 29.60^\circ, 36.20^\circ, 39.70^\circ, 43.40^\circ, 47.80^\circ, 48.80^\circ, 56.90^\circ$  และ  $65.00^\circ$  ในขณะที่สัญญาณของแคลเซียมออกไซด์คือ  $2\theta = 32.27^\circ, 37.40^\circ, 54.09^\circ$  และ  $64.20^\circ$

### 2.6 แก๊สโครมาโทกราฟี (Gas Chromatography; GC) [37]

#### 2.6.1 ส่วนประกอบของเครื่องแก๊สโครมาโทกราฟ

เทคนิคแก๊สโครมาโทกราฟทำหน้าที่ในการแยกองค์ประกอบของสารที่สามารถขยายกลายเป็น ไอ (Volatile organic compounds) ได้เมื่อถูกความร้อน องค์ประกอบที่สำคัญของเครื่องแก๊สโครมาโทกราฟ สามารถแบ่งออกได้เป็น 3 ส่วน คือ

2.6.1.1 ส่วนฉีดสาร (Injector) คือ ส่วนที่สารตัวอย่างจะถูกฉีดเข้าสู่เครื่องและระยะเป็นไอ ก่อนที่จะเข้าสู่คอลัมน์ (Column) อุณหภูมิที่เหมาะสมของส่วนฉีดสารควรเป็นอุณหภูมิที่สูงพอที่จะทำให้สาร

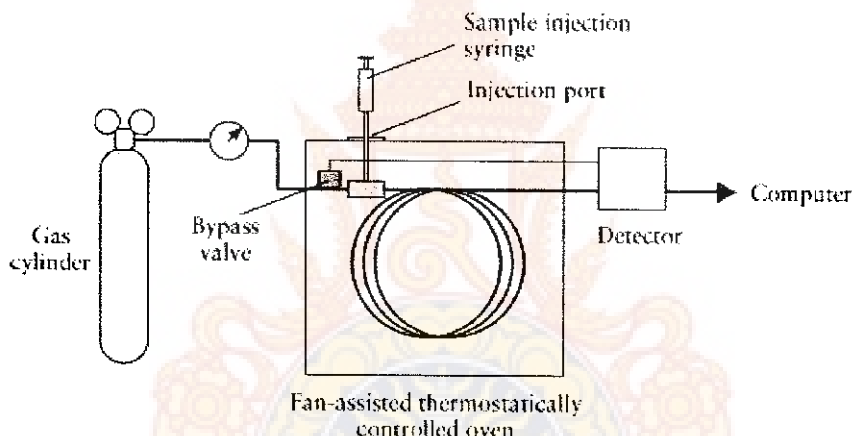
ตัวอย่างสามารถระบุได้แต่ ต้องไม่ทำให้สารสลายตัว ตัวอย่างของส่วนชีดสาร ได้แก่ Split, Splitless หรือ On column

2.6.1.2 ส่วนให้ความร้อน (Oven) คือ ส่วนที่ใช้สำหรับรักษาอุณหภูมิของคอลัมน์ให้เปลี่ยนไปตามความเหมาะสมกับสารที่ต้องการวิเคราะห์ซึ่งการควบคุมอุณหภูมิของส่วนให้ความร้อนนั้นมี 2 แบบ คือ

1) Isocratic Temperature

2) Gradient Temperature ข้อดีของการทำ Gradient temperature คือสามารถใช้กับสารตัวอย่างที่มีจุดเดือดกว้าง (Wide boiling range) และยังช่วยลดเวลาในการวิเคราะห์

2.6.1.3 ส่วนตรวจวัด (Detector) คือส่วนที่จะใช้สำหรับตรวจองค์ประกอบที่มีอยู่ในสารตัวอย่างและสารตัวอย่างมีปริมาณอยู่เท่าใด



ภาพที่ 2.14 ส่วนประกอบของเครื่องแก๊สโคลมาโทกราฟ

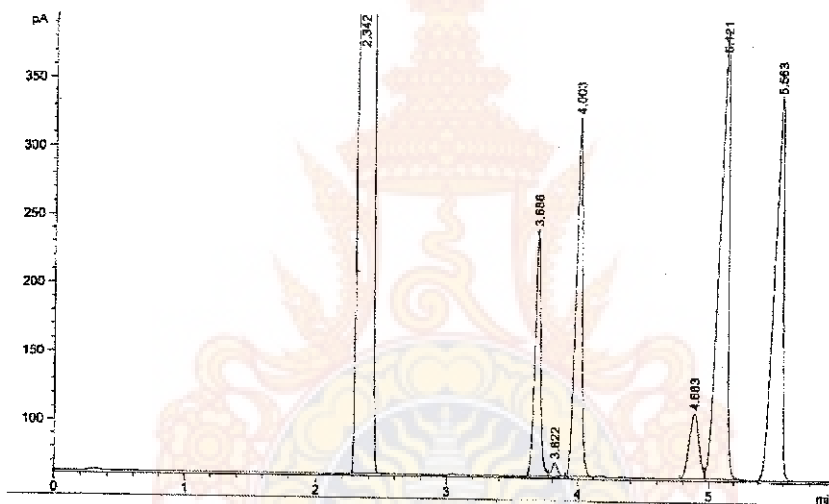
## 2.6.2 กลไกการแยกของสาร

เทคนิคแก๊สโคลมาโทกราฟเป็นวิธีการแยกสารโดยการกระจายตัวของสารที่แตกต่างกันระหว่าง 2 เพส คือเพสที่เคลื่อนที่ (mobile phase) และเพสที่อยู่กับที่ (stationary phase) ความแตกต่างของระยะเวลาที่สารองค์ประกอบถูกหน่วงอยู่ในคอลัมน์นี้ขึ้นอยู่กับความสามารถในการละลายของสารประกอบ ดังนั้นอันตรรศิริยะระหว่างเพสที่เคลื่อนที่กับสารประกอบแต่ละตัวแตกต่างกันสารเจิงถูกจะออกจากคอลัมน์ได้ต่างกัน เพสที่อยู่กับที่แบ่งได้เป็น 2 ชนิด

2.6.2.1 แบบเพสที่อยู่กับที่เป็นของแข็ง เป็นเทคนิคการแยกด้วยคอลัมน์โดยการเกิดการดูดซับ (Adsorption) ของสารกับเพสที่อยู่กับที่เรียกเทคนิคนี้ว่าแก๊สโซลิดโคลมาโทกราฟ (Gas Solid

Chromatography) หรือ GSC ส่วนใหญ่ใช้ในการแยกสารที่มีน้ำหนักโมเลกุลต่างๆโดยเฉพาะในการทดสอบแก๊ส เช่นไฮโดรเจนชัลฟ์และเมทานอล

2.6.2.2 แบบเฟสที่อยู่กับที่เป็นของเหลวถูกตั้งให้เคลื่อนออยู่บนผิวของอนุภาคของแข็งที่เป็นตัวรองรับ เป็นการแยกด้วยคอลัมน์เช่นกัน กลไกการแยกคือ การpartition (Partition) ของสารองค์ประกอบ ระหว่างเฟสที่เคลื่อนที่กับเฟสที่อยู่กับที่ เทคนิคดังกล่าวคือแก๊สลิกวิดโครมาโทกราฟี (Gas Liquid Chromatography) หรือ GLC เป็นเทคนิคที่นิยมใช้มากถึง 90 % ในปัจจุบัน ในการวิเคราะห์สารผสมตัวอย่างจะถูกฉีดเข้าที่ส่วนฉีดสารตัวอย่าง (sample injection port) สารผสมจะถูกให้ความร้อนจนกลายเป็นไอแล้วถูกพาเข้าไปในคอลัมน์ด้วยเฟสที่เคลื่อนที่ องค์ประกอบของสารผสมจะแยกออกจากกันเมื่อเคลื่อนผ่านคอลัมน์และถูกตรวจด้วยตัวตรวจวัด สัญญาณการตรวจวัดที่ได้จากตัวตรวจวัดจะถูกบันทึกและแสดงออกมานิรูปของโครมาโทกราฟ (chromatogram)



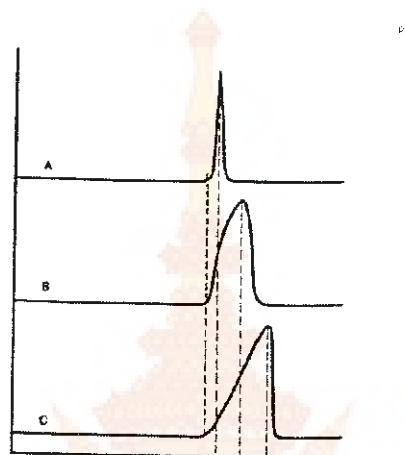
ภาพที่ 2.15 โครมาโทแกรมของการแยกองค์ประกอบของเอทิลเอสเทอโรที่ได้รีมจากน้ำมันสนุ่วดำ

### 2.6.3 การวิเคราะห์ด้วยเทคนิคแก๊สโครมาโทกราฟี

#### 2.6.3.1 การวิเคราะห์เชิงคุณภาพ

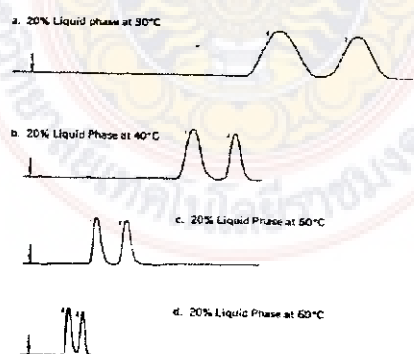
เวลาที่สารถูกชะออกจากการคอลัมน์ (Retention time,  $R_f$ ) คือ เวลาที่สารแต่ละชนิดใช้ในการเคลื่อนที่ผ่านคอลัมน์นับจากเวลาเริ่มต้นของการวิเคราะห์ถึงตำแหน่งเวลาที่ตัวตรวจวัดอ่านค่าสัญญาณสูงสุด (peak) จากการตรวจของสารนั้น ๆ เวลาที่สารถูกชะออกจากการคอลัมน์เป็นลักษณะเฉพาะของสารแต่ละชนิดในสภาวะการวิเคราะห์เดียวกันทั้งชนิดของคอลัมน์และอุณหภูมิที่ใช้ เวลาที่สารถูกชะออกจากการคอลัมน์ของสารชนิดเดียวกันที่วิเคราะห์ได้ควรจะต้องคงที่หรือมีค่าใกล้เคียงกันมากที่สุด ดังนั้น การตรวจพิสูจน์ชนิดของสารองค์ประกอบใด ๆ ในของผสมตัวอย่างสามารถทำได้โดยการเปรียบเทียบเวลาที่สารถูกชะออกจาก

คอลัมน์ ระหว่างสารองค์ประกอบในของผสมตัวอย่าง (unknown) กับสารองค์ประกอบมาตรฐาน ขนาดของสารตัวอย่าง มีความสำคัญอย่างมากในการวิเคราะห์ ซึ่งถ้าอัตราตัวอย่างเข้าไปมากเกินไปจะทำให้เกิด column overloaded ซึ่งพิกที่ตรวจด้วยจะเปลี่ยนไป ทำให้ค่า  $R_t$  เปลี่ยนไป ดังแสดงในรูปที่ 2.16 ซึ่งต้องลดขนาดของสารตัวอย่างลงให้เหมาะสมกับการวิเคราะห์ นอกจากนั้นอุณหภูมิของคอลัมน์มีส่วนสำคัญต่อการแยกสารตัวอย่าง ดังภาพที่ 2.17



ภาพที่ 2.16 ผลกระทบของการฉีดปริมาณสารตัวอย่างกับ Retention Time

- A. เมื่อคอลัมน์ไม่ overloaded
- B. เมื่อคอลัมน์มี overloaded เล็กน้อย
- C. เมื่อคอลัมน์มี overloaded มาก



ภาพที่ 2.17 ผลกระทบของอุณหภูมิที่มีต่อการแยกของสาร

โดยเมื่ออุณหภูมิของคอลัมน์เพิ่มขึ้นจะทำให้องค์ประกอบของสารมีการเคลื่อนที่เร็วขึ้นช่วยให้ระยะเวลาการวิเคราะห์เร็วขึ้น ในทางตรงกันข้าม เมื่ออุณหภูมิของคอลัมน์ลดลงจะช่วยให้เกิดการแยกขององค์ประกอบต่าง ๆ ดีขึ้น ดังนั้นเพื่อให้เกิดการแยกที่ดี และมีค่าเวลาที่สารถูกจะออกจากคอลัมน์ไม่นานเกินไป ควรเลือกต้องเลือกอุณหภูมิที่เหมาะสม โดยที่ไว้ไปแล้วจะเลือกใช้อุณหภูมิเฉลี่ยของจุดเดือดของสารตัวอย่างนั้น ๆ แต่ถ้าความหวังไม่ได้สูงเกินกว่าอุณหภูมิสูงสุดที่กำหนดไว้ของคอลัมน์ที่ใช้งาน

#### 2.6.3.2 การวิเคราะห์เชิงปริมาณ

การวิเคราะห์เชิงปริมาณด้วยแก๊สโคลร์มาโทกราฟ ได้รับความนิยมสูงมากโดยเทคนิคต่าง ๆ ที่ใช้ในการหาปริมาณของสารมี 3 เทคนิคคือ วิธี Normalization วิธีมาตรฐานภายใน (External Standardization) และวิธีมาตรฐานภายใน (Internal Standardization)

การวิเคราะห์เชิงปริมาณด้วยวิธีมาตรฐานภายใน เป็นวิธีที่ใช้หาปริมาณของสารได้ถูกต้องที่สุด แต่ทั้งนี้ขึ้นอยู่กับการเลือกใช้สารมาตรฐานภายใน โดยสารที่จะใช้เป็นสารมาตรฐานภายในต้องมีคุณสมบัติต่อไปนี้

- 1) สารนั้นต้องมีคุณสมบัติคล้ายสารที่จะวิเคราะห์
- 2) สารนั้นต้องถูกจะออกจากคอลัมน์หมด
- 3) สารนั้นต้องให้พิกที่แยกอยู่ต่างหาก โดยพิกจะไม่เข้าหรือเหลือมทับพิกอื่นและอยู่ใกล้พิกที่ต้องการหา
- 4) สารนั้นต้องไม่ทำปฏิกิริยากับสารอื่นที่เกี่ยวข้อง

การหาปริมาณทำโดยการหาอัตราส่วนของพื้นที่ใต้พิก (ratio peak area) จากสมการ

$$\text{อัตราส่วนพื้นที่พิก} = \frac{\text{พื้นที่พิกของสารมาตรฐาน}}{\text{พื้นที่พิกของสารมาตรฐานภายใน}}$$

#### 2.6.4 ข้อดีของเทคนิคแก๊สโคลร์มาโทกราฟ

แก๊สโคลร์มาโทกราฟให้ประสิทธิภาพในการวิเคราะห์สูงความหลากหลายในการเลือกใช้เฟสอยู่กับที่ทำให้มีคุณสมบัติการหน่วงเหนียาราที่แตกต่างกันส่งผลให้สามารถนำไปประยุกต์ใช้งานได้เป็นจำนวนมาก เช่นการตรวจวัดที่ใช้ในแก๊สโคลร์มาโทกราฟมีความไวสูง สามารถตรวจวัดสารປะกาปได้อย่างถูกต้อง แม่นยำ เนื่องจากเฟสเคลื่อนที่เป็น แก๊ส จึงสามารถต่อเข้ากับ แมสสเปกโตรมิเตอร์ (Mass spectrometer) ทำให้แก๊สโคลר์มาโทกราฟกลายเป็นเครื่องมือในการวิเคราะห์ที่แม่นยำมากขึ้น

## 2.7 งานวิจัยที่เกี่ยวข้อง

Saifuddin , N. และ Chan, K.H. (2004) [38] ศึกษาการเตรียมเมอทิลเอสเทอร์จากน้ำมันหดอาหาร โดยในการทำปฏิกิริยาแพรนส์-อสเทอร์ฟิเดชันใช้โซเดียมไฮดรอกไซด์เป็นตัวเร่งปฏิกิริยา ในการทดลองได้ศึกษาภาวะที่เหมาะสมในการทำปฏิกิริยาจากผลการทดลองพบว่าภาวะที่เหมาะสมคือใช้ตัวเร่งปฏิกิริยาเท่ากับร้อยละ 0.5 โดยน้ำหนักของน้ำมัน และใช้แอนไฮดรัสอทานอล ในอัตราส่วนที่เกินจากปริมาณที่ควรจะใช้ร้อยละ 100 ใน การทดลองต้องมีการวนส่วนผสมที่รุนแรงเพื่อให้อ ethanol ลดลงกับน้ำมันอย่างทั่วถึง จากผลการทดลองได้ ร้อยละการเปลี่ยน เท่ากับ 87

ZHU, H. และคณะ (2006) [39] ศึกษาการเตรียมตัวเร่งปฏิกิริยาแคลเซียมออกไซด์ หลังจากทำการอบที่ อุณหภูมิ  $110^{\circ}\text{C}$  คัดขนาดที่ 60 เมช และทำการเผาที่อุณหภูมิสูงจะได้ตัวเร่งปฏิกิริยาเบสที่มีความว่องไวในการเกิดปฏิกิริยาสูง

Encinar, J.M. และคณะ (2007) [40] ศึกษาปฏิกิริยาอ ethanol อะลิชิสของน้ำมันหดอาหารที่ใช้แล้ว โดยเมื่อการเตรียมเมอทิลเอสเทอร์โดยใช้โซเดียมไฮดรอกไซด์ โพแทสเซียมไฮดรอกไซด์ โซเดียมเมทอกไซด์ และโพแทสเซียมเมทอกไซด์ เป็นตัวเร่งปฏิกิริยา สรุปว่าที่ทำการศึกษาคือ อัตราส่วนโดยไม่ระบุระหว่างเมทานอลต่อ น้ำมันที่ 6:1-12:1 ปริมาณตัวเร่งปฏิกิริยาที่ร้อยละ 0.1-1.5 โดยน้ำหนัก อุณหภูมิในการทำปฏิกิริยาที่  $35-78^{\circ}\text{C}$  ใช้เทคนิคของแก๊สโครมาโทกราฟในการวิเคราะห์หาปริมาณเมอทิลเอสเทอร์ที่เกิดขึ้นที่เวลาต่างๆ จากการทดลองพบว่าภาวะที่เหมาะสมคือ ที่อัตราส่วนระหว่างเมทานอลต่อน้ำมันที่ 12:1 ตัวเร่งปฏิกิริยา โพแทสเซียมไฮดรอกไซด์ร้อยละ 1 โดยน้ำหนัก ที่อุณหภูมิ  $78^{\circ}\text{C}$  และเมื่อทำปฏิกิริยาเป็น 2 ขั้นตอนจะทำให้ผลได้ของเมอทิลเอสเทอร์เพิ่มขึ้นร้อยละ 30

Oliveira, L.S. และคณะ (2007) [41] ศึกษาความเป็นไปได้ในการนำน้ำมันจากเมล็ดกาแฟ มาผลิต เป็นใบโอ-ตีเซล โดยใช้แอลกอฮอลล์ 2 ชนิดคือ เมทานอล และอ ethanol ลดและใช้โซเดียมเมทอกไซด์เป็นตัวเร่งปฏิกิริยา การวิเคราะห์หาปริมาณของเมทิลเอสเทอร์และเมอทิลเอสเทอร์ จะใช้เทคนิคของแก๊สโคร-มาโทกราฟี จำกัดการทดลองพบว่า น้ำมันจากเมล็ดกาแฟมีความเป็นไปได้ในการนำมาผลิตเป็นใบโอ-ตีเซล โดยได้ปริมาณ เมทิลเอสเทอร์สูงสุดเท่ากับร้อยละ 70.1 ที่ อุณหภูมิ  $25^{\circ}\text{C}$  เวลา 1 ชั่วโมง และปริมาณเมอทิลเอสเทอร์สูงสุด เท่ากับร้อยละ 64.2 ที่ อุณหภูมิ  $25^{\circ}\text{C}$  เวลา 1 ชั่วโมง

Nakatani, N และคณะ (2009) [15] ศึกษาปฏิกิริยาแพรนส์-อสเทอร์ฟิเดชันของน้ำมันถั่วเหลืองโดยใช้ตัวเร่งปฏิกิริยาจากเปลือกหอยนางรม ในการเตรียมตัวเร่งปฏิกิริยานำเปลือกหอยนางรมมาล้างด้วยน้ำประปา และทำให้แห้ง จนน้ำทุบหายากและบดเป็นผงให้ผ่านตะแกรงขนาด  $0.8 \text{ mm}$  และอบแห้งที่อุณหภูมิ  $110^{\circ}\text{C}$

เป็นเวลา 2 ชั่วโมง จากนั้นทำการเผาที่อุณหภูมิสูง ( $500-1000^{\circ}\text{C}$ ) เป็นเวลา 3 ชั่วโมง พบร้าที่อุณหภูมิ  $900^{\circ}\text{C}$  น้ำหนักของตัวเร่งปฏิกิริยาคงที่

Hu, S. และคณะ (2010) [14] ศึกษาการใช้ประโยชน์จากเปลือกหอยแมลงภู่น้ำจืดที่เป็นสัดว์เศรษฐกิจ โดยการเผาเปลือกหอยแมลงภู่เพื่อให้ได้แคลเซียมออกไซด์เป็นตัวเร่งปฏิกิริยา และเมื่อนำตัวเร่งปฏิกิริยา ตังกล่าวไปผลิตใบโอดีเซลจากน้ำมันที่อัตราส่วนโดยโน้มของ methane อลต่อน้ำมันเท่ากับ 12:1 ใช้ตัวเร่งปฏิกิริยา 5% โดยน้ำหนัก อุณหภูมิ  $70^{\circ}\text{C}$  องศาเซลเซียส เวลา 1.5 ชั่วโมง ได้ปริมาณเมทิลเอสเทอร์มากที่สุดร้อยละ 90% และตัวเร่งปฏิกิริยาตังกล่าวสามารถนำกลับมาใช้ซ้ำได้มากถึง 7 ครั้ง

Boey, P.-L และคณะ (2011) [42] การเตรียมตัวเร่งปฏิกิริยาจากกระดองปู โดยนำกระดองปูมาล้างน้ำอุ่นช้าๆ หลายครั้ง อบแห้งค้างคืนที่อุณหภูมิ  $105^{\circ}\text{C}$  หลังจากนั้นนำไปบดและคัดขนาดน้อยกว่า 1 มม. และเผาที่อุณหภูมิสูง  $900^{\circ}\text{C}$  เป็นเวลา 2 ชั่วโมงและเมื่อนำไปทำปฏิกิริยาแทนส์แอลเอนส์เทอริฟิเคชันกับน้ำมันประกอบอาหารเหลือทั้ง ที่อัตราส่วนโดยโน้มของ methane อลต่อน้ำมันเท่ากับ 13:1 ปริมาณตัวเร่งปฏิกิริยาร้อยละ 5 โดยน้ำหนัก เป็นเวลา 3 ชั่วโมง ได้ร้อยละของการเปลี่ยนเท่ากับร้อยละ 98

Kaur, M. และ Ali, A. (2011) [43] ได้ทำการเตรียมตัวเร่งปฏิกิริยาแบบบิวิชพันธ์โดยการเคลือบผึ้งถั่วที่เย็นในแคลเซียมออกไซด์ที่มีปริมาณถั่วที่ 1.75 โดยน้ำหนัก และใช้เป็นตัวเร่งปฏิกิริยาแทนส์เอลเอนส์ เอสเทอริฟิเคชันของน้ำมันสนุ่วคำ และน้ำมันคารันจา (Karanja oil) พบร้าตัวเร่งปฏิกิริยา มีประสิทธิภาพสูง สามารถทำให้เกิดปฏิกิริยาได้สมบูรณ์ภายในเวลา 2 ชั่วโมง ที่อุณหภูมิ  $65^{\circ}\text{C}$  อัตราส่วนโดยโน้มระหว่าง methane อลต่อน้ำมันเท่ากับ 12:1 และใช้ปริมาณตัวเร่งปฏิกิริยาร้อยละ 5 โดยน้ำหนัก

Jairam, S และคณะ (2012) [44] ได้ศึกษาการผลิตใบโอดีเซลโดยใช้โพแทสเซียมไอโอดีต (KI) ผึ้งตัวในเปลือกหอยนางรมเป็นตัวเร่งปฏิกิริยาโดยผ่านปฏิกิริยาแทนส์เอลเอนส์ เอสเทอริฟิเคชันซึ่งตัวแปรต่างๆ ที่ทำการศึกษามี ตั้งนี้ คือ อัตราส่วนโดยโน้มของ methane อลต่อน้ำมันคือ 10:1 ใช้อุณหภูมิ  $50^{\circ}\text{C}$  องศาเซลเซียส ใช้เวลา 4 ชั่วโมง ได้ปริมาณเมทิลเอสเทอร์มากที่สุดร้อยละ 85% นอกจากนี้โพแทสเซียมไอโอดีตผึ้งตัวในเปลือกหอยนางรมที่ใช้เป็นตัวเร่งปฏิกิริยาสามารถนำมารีไซเคิลการศึกษาในระดับปานกลางและในอนาคตที่มุ่งเน้นการพัฒนาและเสริมสร้างความสามารถในการใช้เป็นตัวเร่งปฏิกิริยาคือการใช้มากขึ้น

Viriya-empikul, N และคณะ (2012) [45] ทำการศึกษาการเผาสัดเหลือทั้งจากอุตสาหกรรมหอยชันด คือ เปลือกไข่ เปลือกหอย และศึกษาอุณหภูมิในการเผาที่  $700-1000^{\circ}\text{C}$  เวลา 0.5-8 ชั่วโมง จากการศึกษาพบว่า เมื่ออุณหภูมิสูงกว่า  $850^{\circ}\text{C}$  น้ำหนักของตัวเร่งปฏิกิริยาคงที่ และเมื่ออุณหภูมิสูงกว่า  $700^{\circ}\text{C}$  จะเกิดการเปลี่ยนแปลงจากแคลเซียมคาร์บอนเนตเป็นแคลเซียมออกไซด์

Birla, A และคณะ (2012) [17] ทำการสังเคราะห์เป็นอีดิเซลจากน้ำมันท่ออาหารใช้แล้วโดยใช้ตัวร่างปฏิกิริยาจากเปลือกหอยหาก ในการเตรียมตัวร่างปฏิกิริยาเริ่มจากการล้างเปลือกหอยให้สะอาดด้วยน้ำประปา ให้สะอาด จากนั้น ล้างด้วยกรดในปริมาณเข้มข้น 6 N เพื่อกำจัดสิ่งปนเปื้อนที่เป็นสารอินทรีย์ ล้างด้วยน้ำกลั่น อบแห้งที่อุณหภูมิ  $110^{\circ}\text{C}$  เวลา 24 ชั่วโมง จากนั้นเผาที่อุณหภูมิสูง  $900^{\circ}\text{C}$  เป็นเวลา 3.5 ชั่วโมง



## บทที่ 3

### เนื้อหาการวิจัย

#### 3.1 เครื่องมือและอุปกรณ์ที่ใช้ในการวิจัย

- 3.1.1 เครื่องชั่งละเอียด 4 ตำแหน่ง (Analytical balance) ยี่ห้อ Denver Instrument รุ่น SL-234M
- 3.1.2 เตาให้ความร้อนพร้อมกวน (Hot plate with stirrer) ยี่ห้อ Fisher Scientific รุ่น 11-302-50SHP
- 3.1.3 เตาอบ (Oven) ยี่ห้อ Gallenkamp รุ่น Oven 300 Plus Series
- 3.1.4 เตาเผา (Furnance) ยี่ห้อ Ney VULCAN 3-550
- 3.1.5 เครื่องแก๊สโครมาโทกราฟ (Gas Chromatograph) ยี่ห้อ Agilent รุ่น 6980 N Network
- 3.1.6 ตะแกรงร่อนคัดขนาด (Sieve) ยี่ห้อ Retsch

#### 3.2 สารเคมีที่ใช้ในการวิจัย

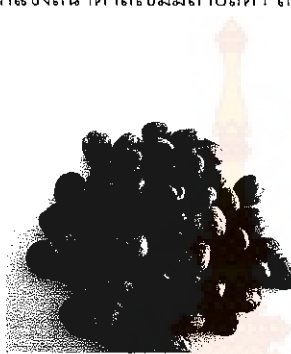
- 3.2.1 เอทานอล (Ethanol; C<sub>2</sub>H<sub>5</sub>OH) เกรดสำหรับการวิเคราะห์ ของบริษัท Mallinckrodt Chemicals
- 3.2.2 เพอร์กซัลเฟต {Ferric sulphate; Fe<sub>2</sub>(SO<sub>4</sub>)<sub>3</sub>} เกรดสำหรับห้องปฏิบัติการ ของบริษัท Ajax Finechem
- 3.2.3 พินอลฟ์ฟทาลีน (Phenolphalein) เกรดสำหรับห้องปฏิบัติการ ของบริษัท Ajax Finechem
- 3.2.4 โพแทสเซียมไฮdroเจนพทาเลต (Potassium hydrogen phthalate; KHP) เกรดสำหรับการวิเคราะห์ ของบริษัท Ajax Finechem
- 3.2.5 โซเดียมไฮดรอกไซด์ (Sodium hydroxide; NaOH) เกรดสำหรับการวิเคราะห์ ของบริษัท Ajax Finechem
- 3.2.6 ลิเทียมไนเตรต (Lithium nitrate; LiNO<sub>3</sub>) เกรดสำหรับการวิเคราะห์ ยี่ห้อ Fluka
- 3.2.7 น้ำปราศจากไอออน (Deionized water)
- 3.2.8 เมทานอลปราศจากน้ำ (Dried methanol) เกรดสำหรับการวิเคราะห์ ยี่ห้อ Merck
- 3.2.9 เมทิล헵ตادีโคโนเอต (Methylheptadecanoate; C-17) ความบริสุทธิ์ ≥ ร้อยละ 99  
ยี่ห้อ Fluka สำหรับใช้เป็นสารมาตรฐานภายใน สำหรับการวิเคราะห์ตามมาตรฐาน EN 14103
- 3.2.10 นอร์มล-헵เทน (*n*-Heptane) เกรดสำหรับการวิเคราะห์ ยี่ห้อ Merck สำหรับใช้เป็นตัวทำละลายในการวิเคราะห์ตามมาตรฐาน EN 14103
- 3.2.11 แก๊สไฮลีียม (Helium gas; He) ที่มีความบริสุทธิ์สูง (Ultra high purity; UHP)
- 3.2.12 แก๊สไนโตรเจน (Nitrogen gas; N<sub>2</sub>) ที่มีความบริสุทธิ์สูง (Ultra high purity; UHP)
- 3.2.13 แก๊สไฮโดรเจน (Hydrogen gas; H<sub>2</sub>) ที่มีความบริสุทธิ์สูง (Ultra high purity; UHP)

### 3.2.14 อากาศบริสุทธิ์ (Air zero) ที่มีความบริสุทธิ์สูง (Ultra high purity; UHP)

#### 3.3 วิธีดำเนินการวิจัย

##### 3.3.1 การเตรียมน้ำมันเมล็ดยางพารา

ในงานวิจัยได้ข้อมูลเมล็ดยางพารามากจากกลุ่มเกษตรกรในภาคตะวันออกเฉียงเหนือ ลักษณะของเมล็ดยางพาราเป็นทรงกลม เปลือกนอกแข็งสีน้ำตาลเข้มมีลายสีดำ ลักษณะคล้ายเมล็ดกาแฟ ดังแสดงในภาพที่ 3.1



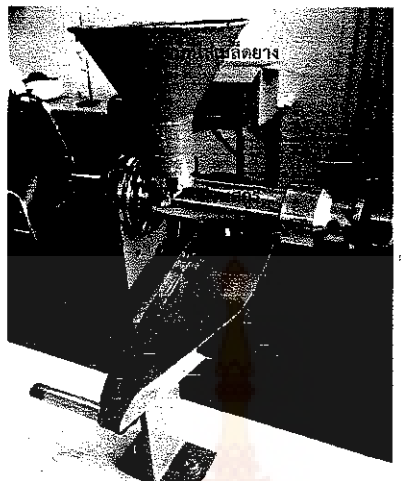
ภาพที่ 3.1 ลักษณะเมล็ดยางพาราที่ใช้ในการวิจัย

##### 3.3.1.1 การหีบน้ำมันเมล็ดยางพารา

ในขั้นตอนการหีบน้ำมันออกจากเมล็ดยางพาราในงานวิจัยครั้งนี้จะเริ่มจากการ กะเทาะเปลือกนอกของเมล็ดออก ส่วนของเนื้อในจะมีสีขาวเป็นเนื้อเนื้อมีน้ำมันอยู่ ดังแสดงในภาพที่ 3.2 นำส่วนเนื้อในมาอบให้ความร้อนที่อุณหภูมิ  $110^{\circ}\text{C}$  เป็นเวลา 1 ชั่วโมง ทั้งนี้เพื่อให้สามารถหีบน้ำมัน岀มาได้ ง่าย ลักษณะของเครื่องหีบที่ใช้ในงานวิจัยดังแสดงในภาพที่ 3.3 โดยใช้หลักการบีบอัดน้ำมันผ่านสกรู ซึ่งได้รับความอนุเคราะห์เครื่องหีบจากสาขาวิชาวิศวกรรมเคมี คณะวิศวกรรมศาสตร์ แต่เนื่องจากช่องในการใส่เนื้อใน เมล็ดยางพารามีขนาดเล็ก เมื่อผ่านการอบเรียบร้อยจึงต้องนำเนื้อมาทำการหันชอยให้ขนาดเล็กลงทำให้สามารถหีบน้ำมัน岀มากาง่ายขึ้น



ภาพที่ 3.2 ส่วนเนื้อในเมล็ดยางพาราที่ใช้ในงานวิจัย



ภาพที่ 3.3 เครื่องหีบน้ำมันเมล็ดยางพาราที่ใช้ในงานวิจัย

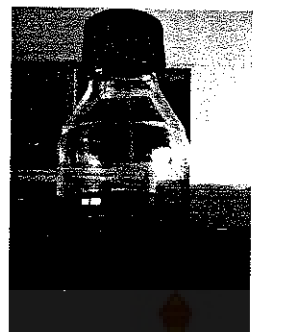
น้ำมันเมล็ดยางพาราที่ได้หลังจากการหีบเป็นของเหลวสีน้ำตาลเข้มมีลักษณะขุ่น ตามภาพที่ 3.4 เมื่อเก็บไว้ในขวด ปิดฝาให้สนิท ผ่านไปประมาณ 5 วันจะสังเกตเห็นตะกอนสีน้ำตาลอ่อนตกอยู่ด้านล่าง ก่อนนำมาใช้ในการทดลองจึงต้องทำการกรองแยกตะกอนออก น้ำมันเมล็ดยางพาราหลังจากการกรองจะใส



ภาพที่ 3.4 น้ำมันเมล็ดยางพาราหลังจากการหีบ

### 3.3.2 การเตรียมน้ำมันสูญดำ

ในงานวิจัยเรื่องนี้ได้ทำการซื้อน้ำมันสูญดำดิบมาจาก บริษัทน้ำมันสูญด้าไทย จังหวัดปทุมธานี น้ำมันสูญด้าดิบมีลักษณะใส สีเหลืองเข้ม มีความชุ่นเล็กน้อย ดังแสดงในภาพที่ 3.5



ภาพที่ 3.5 น้ำมันสบู่ด้ำที่ใช้ในงานวิจัย

### 3.3.3 การทดสอบสมบัติของน้ำมันเมล็ดยางพาราและน้ำมันสบู่ด้ำ

ก่อนทำการทดลองได้แบ่งตัวอย่างของน้ำมันเมล็ดยางพาราและน้ำมันสบู่ด้ำไปวิเคราะห์สมบัติที่สำคัญตามมาตรฐานการทดสอบรวม 5 รายการดังนี้คือ

3.3.3.1 ความหนืดจลน์ (Kinematic viscosity) ตามวิธีการมาตรฐาน ASTM D 445

3.3.3.2 ปริมาณน้ำ (Water content) ตามวิธีการมาตรฐาน AOAC (1990), 984.20

3.3.3.3 ความหนาแน่น (Density) ตามวิธีการมาตรฐาน ASTM D 4052

3.3.3.4 ปริมาณกรดไขมันอิสระ (Free fatty acid content) ตามวิธีการมาตรฐาน AOAC (2000), 940.28

3.3.3.5 องค์ประกอบของกรดไขมัน ตามวิธีการมาตรฐาน AOAC (2005), 963.22, 969.33

รายการที่ 3.3.3.5 ส่งวิเคราะห์ที่ห้องปฏิบัติการของสถาบันวิจัยวิทยาศาสตร์แห่งประเทศไทย รายการที่ 3.3.3.1-3.3.3.3 ส่งวิเคราะห์ที่ห้องปฏิบัติการ ส่วนควบคุมคุณภาพ บริษัท ปตท. จำกัด (มหาชน) รายการที่ 3.3.3.4 ทำการวิเคราะห์ในห้องปฏิบัติการ วิธีการทดลองแสดงในภาคผนวก ก

### 3.3.4 การเตรียมตัวเร่งปฏิกิริยา

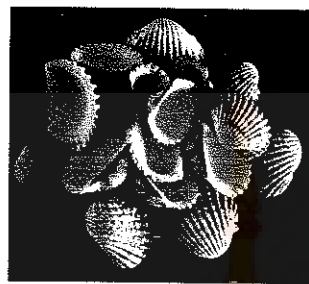
ในขั้นตอนการเตรียมตัวเร่งปฏิกิริยา มีแผนผังคร่าวๆ ของการทดลองดังแสดงในภาพที่ 3.6 ซึ่งจะแบ่งการทดลองออกเป็น 2 ขั้นคือ การเตรียมแคลเซียมออกไซด์จากเปลือกหอยแครงและการเคลือบฟิล์ม แคลเซียมออกไซด์จากเปลือกหอยด้วยสารละลายลิเทียมไนเตรท



ภาพที่ 3.6 แผนผังการเตรียมตัวเร่งปฏิกิริยา

### 3.3.4.1 การเตรียมแคลเซียมออกไซด์จากเปลือกหอยแครง

- 1) นำเปลือกหอยแครงที่เหลือจากการบริโภค ภาพที่ 3.7 มาล้างเปลือกห้องด้านนอกและด้านในให้สะอาด นำไปตากแดดให้แห้ง



พ.ศ.

ภาพที่ 3.7 ลักษณะของเปลือกหอยแครงที่ใช้ในการเตรียมตัวเร่งปฏิกิริยา

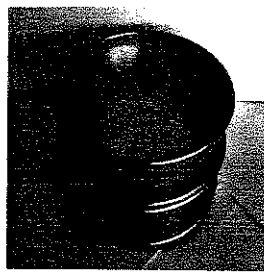
- 2) นำมาทุบหยาบและบดให้ละเอียด ภาพที่ 3.8 หลังจากนั้นร่อนคัดขนาดด้วยตะแกรงรอนคัดขนาดให้มีขนาด 45 – 63 มีครอน ดังแสดงในภาพที่ 3.9



ภาพที่ 3.8 ลักษณะเปลือกหอยแครงที่ผ่านการบดละเอียด

ข้ามไป

- 3) นำผงเปลือกหอยแครงใส่กรวยเบิล และนำไปเผาที่อุณหภูมิ  $1000^{\circ}\text{C}$  เป็นเวลา 2
- 4) ตรวจสอบผลด้วยเทคนิคการเลี้ยงเบนของรังสีเอกซ์ (X-Ray Diffraction)



ภาพที่ 3.9 การร่อนคัดขนาดด้วยตะแกรง

### 3.3.4.2 การเคลือบผิวแคลเซียมออกไซด์จากเปลือกหอยด้วยสารละลายน้ำในเทรอท ( $\text{Li/CaO}$ ) [43]

1) เตรียมสารละลายน้ำในเทรอทที่มีความเข้มข้นของลิเทียมร้อยละ 1.75 โดยนำหนักโดยการซึ่งของแข็งลิเทียมในเทรอท 1.75 กรัม ละลายในน้ำปราศจากไอออน 98.25 กรัม จนได้สารละลายน้ำ (วิธีการคำนวณแสดงในภาคผนวก ข)

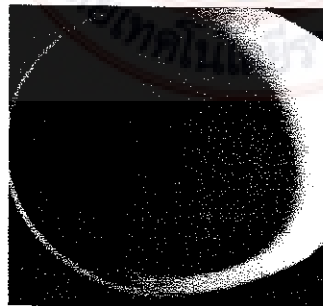
2) ชั่งแคลเซียมออกไซด์จากเปลือกหอยแครงที่ผ่านการเผาในขั้นตอนแรกปริมาณ 10 กรัม ปีเปตสารละลายน้ำในเทรอทที่เตรียมไว้ในข้อ 1) ปริมาตร 10 มิลลิลิตร และน้ำปราศจากไอออน 40 มิลลิลิตร

3) ผสมต่อเนื่องด้วยเครื่องกรณ์แม่เหล็กที่ความเร็วรอบคงที่ เป็นเวลา 2 ชั่วโมงที่อุณหภูมิห้อง ภาพที่ 3.10 แสดงการผสม

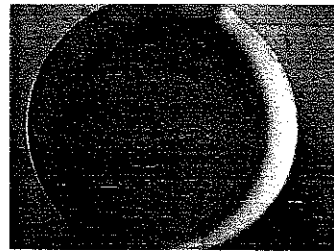
4) หลังจากครบกำหนดเวลา นำไปอบที่อุณหภูมิ  $120 (\pm 7)$  ° ซ เป็นเวลา 24 ชั่วโมง และตัวเร่งปฏิกิริยาที่ได้จะมีลักษณะดังแสดงใน ภาพที่ 3.11

5) นำมาบด เรียกว่าตัวเร่งปฏิกิริยา  $\text{Li/CaO}$  ซึ่งจะมีลักษณะดังแสดงในภาพที่ 3.12

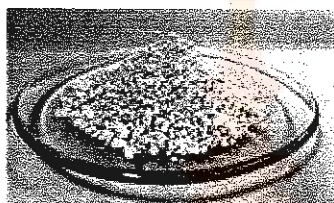
6) ตรวจสอบเพลี้ยด้วยเทคนิคการเลี้ยวเบนของรังสีเอกซ์ (X-Ray Diffraction) เปรียบเทียบผลการทดลองระหว่างก่อนและหลังทำการเคลือบผิว



ภาพที่ 3.10 ลักษณะสารผสมในขณะที่การผสมที่อุณหภูมิห้อง



ภาพที่ 3.11 ลักษณะแคลเซียมออกไซด์จากเปลือกหอยที่ผ่านการเคลือบฟังด้วยสารละลายลิเทียมในteredและผ่านการอบ



ภาพที่ 3.12 ลักษณะตัวเร่งปฏิกิริยา Li/CaO

### 3.3.5 การลดปริมาณกรดไขมันอิสระในน้ำมันเม็ดยางพาราและน้ำมันสน้ำดำ

การทดลองในขั้นนี้ได้มีการเสนอไว้ในโครงการวิจัย แต่เมื่อได้ค่าผลการวิเคราะห์ปริมาณกรดไขมันอิสระของน้ำมันทั้งสองชนิดพบว่ามีปริมาณที่สูงมาก หากคนละผู้วิจัยจะต้องทำการลดปริมาณกรดไขมันอิสระในน้ำมันเม็ดยางพาราและน้ำมันสน้ำดำก่อน โดยเลือกใช้การทำปฏิกิริยาເອສເຫວີຟີເຂັ້ມທີ່ມີເພົ່າກິຈລັດເປັນຕົວເຮັດວຽກ ภาวะທີ່ໃຫ້ໃນการทำปฏิกิริยา គື້ອ້ອຕາສ່ວນໂດຍມີລະຫວ່າງເອທານອລຕ່ອກຮັດໃຫມ້ອີສະຮ່ວມ 17:1 ອຸນຫຼຸມ 75 °C ເວລາ 3 ຊົ່ວໂມງ ປຣມານເພົ່າກິຈລັດເປັນຕົວຮ້ອຍລະ 3 ໂດຍນ້ຳໜັກຂອງນ້ຳມັນ ຄວາມເຮົາຮອບໃນກາງກວນຄົງທີ່ 600 ຮອບຕ່ອນທີ່ ປຣມານຂອງສາຮຕັ້ງທັນທຶນທີ່ໃຊ້ ດັ່ງແສດງໃນຕາງໆທີ່ 3.1 (ຕົວຢ່າງກາງຄຳນວນແສດງໃນການພາກຄະກ)

**ตารางที่ 3.1 ปริมาณสารตั้งต้นที่ใช้ในการทำปฏิกิริยาเօสเทอเริฟเคลชัน**

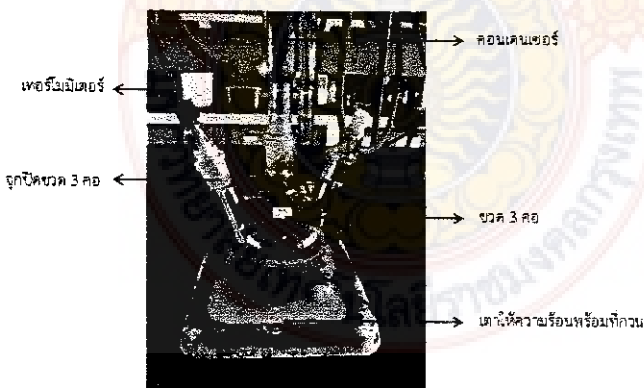
ชนิดของน้ำมัน	ปริมาณสารที่ใช้
น้ำมันเมล็ดยางพารา	ปริมาณน้ำมันเมล็ดยางพารา 200 กรัม ปริมาณเอทานอล 169.7 มิลลิลิตร ปริมาณเพอร์วิคซ์ลเฟต 6.19 กรัม
น้ำมันสน้ำดำ	ปริมาณน้ำมันสน้ำดำ 200 กรัม ปริมาณเอทานอล 115.1 มิลลิลิตร ปริมาณเพอร์วิคซ์ลเฟต 6.19 กรัม

โดยมีขั้นตอนในการทำปฏิกิริยาดังนี้

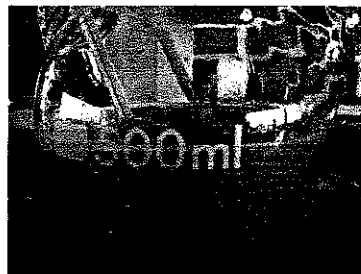
3.3.5.1 อบเพอร์วิคซ์ลเฟต ที่อุณหภูมิ  $110 (\pm 7)$  °ช ต่อเนื่องเป็นเวลา 1 ชั่วโมง

3.3.5.2 ชั่งเพอร์วิคซ์ลเฟตที่ผ่านการอบ น้ำหนัก 6.19 กรัม ใส่ลงในขวดสามพออนด 500 มิลลิลิตร

3.3.5.3 ตั้งชุดรีฟลักซ์ ตั้งแสดงในภาพที่ 3.13 เทเอทานอลปริมาณ 169.7 มิลลิลิตร (ในกรณีที่ทำการลดปริมาณกรดไขมันอิสระในน้ำมันเมล็ดยางพารา) ลงในขวดสามพอ เปิดปุ่มกวนและปรับอัตราการกวนให้คงที่ ลักษณะการกระจายตัวของเพอร์วิคซ์ลเฟตดังแสดงในภาพที่ 3.14



ภาพที่ 3.13 ชุดรีฟลักซ์สำหรับทำปฏิกิริยาเօสเทอเริฟเคลชัน



p.s

ภาพที่ 3.14 ลักษณะของสารผสมในขณะที่เกิดปฏิกิริยาเօสเทอเรฟิเคชัน

3.3.5.4 เปิดเตาให้ความร้อน เมื่ออุณหภูมิของสารผสมถึง  $75^{\circ}\text{C}$  ค่อยๆ เทน้ำมันปริมาณ 200 กรัมลงในสารผสมพร้อมกับการอย่างต่อเนื่องและจับเวลาในการทำปฏิกิริยาต่อเนื่องเป็นเวลา 3 ชั่วโมง โดยควบคุมอุณหภูมิในการเกิดปฏิกิริยาให้คงที่เท่ากับ  $75(\pm 2)^{\circ}\text{C}$

3.3.5.5 เมื่อครบตามกำหนดเวลา หยุดปฏิกิริยาโดยการปิดเตาให้ความร้อนและการกวน เทสารผสมทั้งหมดลงในรายแยก ส่วนของเฟอริกซ์ลเพตจะค่อยๆ ตกลงมาด้านล่างอย่างช้าๆ และเมื่อตั้งทิ้งไว้ 1 คืน จะเกิดการแยกชั้นระหว่างชั้นของเฟอริกซ์ลเพต น้ำมัน และเยทานอล ที่สมบูรณ์มากขึ้น ดังแสดงในภาพที่ 3.15 และ 3.16

3.3.5.6 ไขแยกส่วนที่เป็นน้ำมันชั้นกลางนำไปกรองด้วยกระดาษกรองเบอร์ 2 เพื่อแยกเฟอริกซ์ลเพตที่ปะปนอยู่

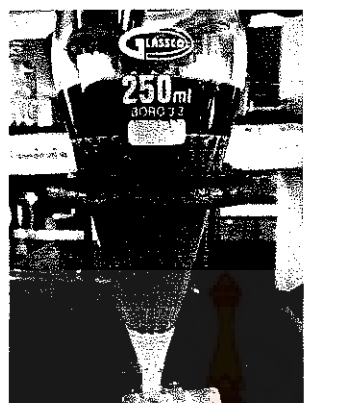
3.3.5.7 ระเหยเยทานอลและน้ำที่ตกค้างปริมาณเล็กน้อยออกที่อุณหภูมิ  $110^{\circ}\text{C}$  เมื่ออุณหภูมิของน้ำมันลดลงมาที่อุณหภูมิห้อง นำมาทำการไหเหระดับปริมาณกรดไขมันอิสระที่เหลือ ตามวิธีการมาตรฐาน AOAC (2000), 940.28

3.3.5.8 นำผลจากการไหเหระดับปริมาณกรดไขมันอิสระในน้ำมันตามสมการ 3.1

$$\text{ร้อยละการลดลงของกรดไขมันอิสระ} = \left[ \frac{A - B}{A} \right] \times 100 \quad 3.1$$

A คือ ปริมาณกรดไขมันอิสระในน้ำมันเริ่มต้นก่อนทำปฏิกิริยาเօสเทอเรฟิเคชัน

B คือ ปริมาณกรดไขมันอิสระในน้ำมันหลังทำปฏิกิริยาเօสเทอเรฟิเคชัน



ภาพที่ 3.15 ลักษณะการแยกขั้นเมื่อเสร็จสิ้นปฏิกิริยาเอสเทอโรฟิเคลชันของน้ำมันสนูด์ดำ



ภาพที่ 3.16 ลักษณะการแยกขั้นเมื่อเสร็จสิ้นปฏิกิริยาเอสเทอโรฟิเคลชันของน้ำมันเมล็ดยางพารา

### 3.3.6 ศึกษาผลของตัวแปรในการเกิดปฏิกิริยาแทรนส์เอสเทอโรฟิเคลชัน

#### 3.3.6.1 ศึกษาผลของตัวแปรในการเกิดปฏิกิริยาแทรนส์เอสเทอโรฟิเคลชันของน้ำมันสนูด์ดำ

การศึกษาผลของตัวแปรในการเกิดปฏิกิริยาจะทำการศึกษาที่ละตัวแปรโดยเริ่มจากอัตราส่วนโดยไม่คงของอุณหภูมิต่อน้ำมัน (9:1-18:1) ปริมาณตัวเร่งปฏิกิริยา Li/CaO ร้อยละ 2-4 โดยน้ำหนัก และอุณหภูมิ 55-75 °C ตามลำดับ โดยในแต่ละตัวแปรจะมีการศึกษาเวลาในการเกิดปฏิกิริยาที่ 1-5 ชั่วโมง (60-300 นาที) พร้อมไปด้วย ทุกภาวะตั้งอัตราการกวนครั้งที่ที่ 600 รอบต่อนาที [50] ปริมาณสารตั้งต้นที่ใช้ในการทำปฏิกิริยานั้นแต่ละภาวะ ตั้งแสดงในตารางที่ 3.2 และ 3.3

ตารางที่ 3.2 ปริมาณสารตั้งต้นที่ใช้ในการศึกษาอัตราส่วนโดยไม่ระบุระหว่างเอทานอลต่อน้ำมันสบู่สำเร็จ

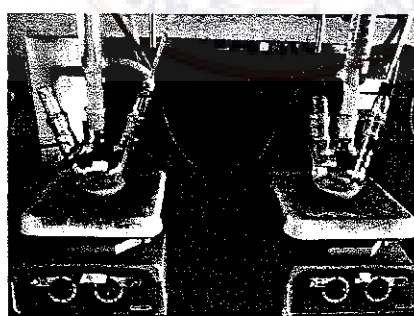
อัตราส่วนโดยไม่ระบุระหว่าง เอทานอลต่อน้ำมัน	ปริมาณเอทานอล (มิลลิลิตร)	ปริมาณน้ำมันสบู่สำเร็จ (กรัม)
9:1	9.0	15.0
12:1	12.0	15.0
15:1	15.0	15.0
18:1	18.0	15.0

ตารางที่ 3.3 ปริมาณสารตั้งต้นที่ใช้ในการศึกษาปริมาณตัวเร่งปฏิกิริยา

ปริมาณตัวเร่งปฏิกิริยา (ร้อยละโดยน้ำหนัก)	น้ำหนักน้ำมัน (กรัม)	ปริมาณตัวเร่งปฏิกิริยา (กรัม)
2.0	15.0	0.31
3.0	15.0	0.46
4.0	15.0	0.62

ขั้นตอนการสังเคราะห์ในแต่ละภาวะทำดังนี้คือ

- 1) ตั้งชุดรีฟลักซ์ดังแสดงในภาพที่ 3.17 ซึ่งตัวเร่งปฏิกิริยา  $\text{Li/CaO}$  0.46 กรัมลงในขวด 3 គก ปีเปตเอทานอลปริมาณ 9.0 มิลลิลิตร (อัตราส่วนโดยไม่ระบุระหว่างเอทานอลต่อน้ำมันที่ 9:1) ลงไป เริ่มให้ความร้อน และกวน



ภาพที่ 3.17 ชุดอุปกรณ์ที่ใช้ในการทำปฏิกิริยาแพรนส์อีสเทอริฟิคเข็น

2) เมื่อถึงอุณหภูมิตามที่กำหนด ( $75^{\circ}\text{C}$ ) เทน้ำมันสนูด์สำหรับเวลา 15 grammes ไปผสมกับ เอทานอลและตัวเร่งปฏิกิริยา ในจังหวะที่เทน้ำมันให้หมุนปิดการกรวนเพื่อป้องกันไม่ให้เกิดการกระเด็นของ น้ำมัน และปล่อยให้ปฏิกิริยาดำเนินไปจนครบเวลา โดยต้องควบคุมให้อุณหภูมิในการเกิดปฏิกิริยาให้คงที่ ( $\pm 2^{\circ}\text{C}$ ) ลักษณะของของผสมแสดงในภาพที่ 3.18



ภาพที่ 3.18 ของผสมในระหว่างทำการสังเคราะห์เอทิลเอสเทอร์

3) เมื่อครบกำหนดเวลา 1 ชั่วโมง ปิดเตาให้ความร้อนและหยุดการกรวน เทสารผสม ทั้งหมดลงในรูวายแยก ปล่อยทิ้งไว้ให้เกิดการแยกชั้น

4) ชั้นของตัวเร่งปฏิกิริยาจะแตกแยกออกจากด้านล่าง นำชั้นของของเหลวมาทำให้บริสุทธิ์ โดยการทิ้งให้เกิดการแยกระหว่างตัวเร่งปฏิกิริยา กับสารผสมเป็นเวลา 12 ชั่วโมง (ค้างคืน) กรองแยกส่วนของ ตัวเร่งปฏิกิริยา และนำส่วนของของเหลวมาเรียกเอทานอล ซึ่งหลังจากการแยกแลกออกห้อล็อก จะพบว่ามีชั้นของกลีเซอรอลแยกออกจาก ดังแสดงในภาพที่ 3.19 แยกชั้นของน้ำมันออกและนำไปวิเคราะห์หา ปริมาณเอทิลเอสเทอร์



ภาพที่ 3.19 การแยกชั้นของกลีเซอรอลจากชั้นของเอสเทอร์

5) วิเคราะห์หาปริมาณเอทิลเอสเทอร์ โดยใช้เทคนิคของแก๊สโศรมานาโตรกราฟี ภาพที่ 3.20 โดยใช้ภาวะของการวิเคราะห์ดังนี้คือ คอลัมน์ BD-EN14103 อุณหภูมิคอลัมน์  $200^{\circ}\text{C}$  อัตราการไหล

ของแก๊สฟ้า 0.5 มิลลิลิตรต่อน้ำที่ Split ratio 100:1 อุณหภูมิส่วนอีดสาร 250 °ซ อุณหภูมิตัวตรวจวัด 250 °ซ วิธีการวิเคราะห์ดังแสดงในภาคผนวก

6) ทำการทดลองขั้วที่อัตราส่วนโดยไม่ระบุระหว่างเอทานอล 9:1 ตามขั้นตอนในข้อ 1)-5)

7) ทำการทดลองขั้วที่อัตราส่วนโดยไม่ระบุระหว่างเอทานอล 9:1 แต่เพิ่มเวลาในการเกิดปฏิกิริยาเป็น 2, 3, 4 และ 5 ชั่วโมง ตามลำดับ ที่ปริมาณตัวเร่งปฏิกิริยาร้อยละ 3 โดยน้ำหนักของน้ำมัน อุณหภูมิ 75 °ซ ตามขั้นตอนในข้อ 1)-5)

8) ทำการทดลองขั้วที่อัตราส่วนโดยไม่ระบุระหว่างเอทานอล 12:1, 15:1 และ 18:1 ปริมาณเอทานอลที่ใช้ในแต่ละอัตราส่วนดังแสดงในตารางที่ 3.2 ที่ปริมาณตัวเร่งปฏิกิริยาร้อยละ 3 โดยน้ำหนักของน้ำมัน อุณหภูมิ 75 °ซ เวลา 1, 2, 3, 4 และ 5 ชั่วโมง

9) เลือกอัตราส่วนโดยไม่ระบุระหว่างเอทานอล ที่ได้ปริมาณเอทิลเอสเทอร์สูงสุด และทำการศึกษาปริมาณตัวเร่งปฏิกิริยาและอุณหภูมิตามลำดับ ปริมาณตัวเร่งปฏิกิริยาที่ใช้ในการศึกษาแต่ละภาวะดังแสดงในตารางที่ 3.3



ภาพที่ 3.20 เครื่องแก๊สโคมาร์กกราฟที่ใช้ในการวิเคราะห์ปริมาณเอสเทอร์

### 3.3.6.2 ศึกษาผลของตัวแปรในการเกิดปฏิกิริยาแทนส์เอสเทอริฟิเคชันน้ำมันเม็ดยางพารา

การศึกษาผลของตัวแปรในการเกิดปฏิกิริยาจะทำการศึกษาที่ละตัวแปรโดยเริ่มจาก อัตราส่วนโดยไม่ลงของเอทานอลต่อน้ำมัน (9:1-18:1) ปริมาณตัวเร่งปฏิกิริยา Li/CaO ร้อยละ 2-4 โดยน้ำหนัก และอุณหภูมิ 55-75 °ซ ตามลำดับ โดยในแต่ละตัวแปรจะมีการศึกษาเวลาในการเกิดปฏิกิริยาที่ 1-5 ชั่วโมง (60-300 นาที) พร้อมไปด้วย ขั้นตอนการสังเคราะห์ในแต่ละภาวะทำในลักษณะเดียวกับการศึกษากับน้ำมัน สูญญ์ด้ำ ปริมาณเอทานอลและปริมาณตัวเร่งปฏิกิริยาที่ใช้ในการศึกษาในแต่ละภาวะดังแสดงในตารางที่ 3.4 และ 3.5

ตารางที่ 3.4 ปริมาณสารตั้งต้นที่ใช้ในการศึกษาอัตราส่วนโดยไม่ระบุว่างเอทานอลต่อน้ำมันเม็ดด胭พารา

อัตราส่วนโดยไม่ระบุว่าง เอทานอลต่อน้ำมัน	ปริมาณเอทานอล (มลลิลิตร)	ปริมาณน้ำมันเม็ดด胭พารา (กรัม)
9:1	9.0	15.0
12:1	12.0	15.0
15:1	15.0	15.0
18:1	18.0	15.0

ตารางที่ 3.5 ปริมาณสารตั้งต้นที่ใช้ในการศึกษาปริมาณตัวเร่งปฏิกิริยา

ปริมาณตัวเร่งปฏิกิริยา (ร้อยละโดยน้ำหนัก)	น้ำหนักน้ำมัน (กรัม)	ปริมาณตัวเร่งปฏิกิริยา (กรัม)
2.0	15.0	0.31
3.0	15.0	0.46
4.0	15.0	0.62

ขั้นตอนการสังเคราะห์ในแต่ละภาวะทำดังนี้คือ

1) ตั้งชุดรีพลั๊กซ์ ชั่งตัวเร่งปฏิกิริยา Li/CaO 0.46 กรัมลงในขวด 3 គอ ปีเปตเอทานอล ปริมาณ 9.0 มลลิลิตร (อัตราส่วนโดยไม่ระบุว่างเอทานอลต่อน้ำมันที่ 9:1) ลงไป เริ่มให้ความร้อน และกวน

2) เมื่อถึงอุณหภูมิตามที่กำหนด (75 °C) เทน้ำมันสบู่คำปริมาณ 15 กรัมลงไปผสมกับ เอทานอลและตัวเร่งปฏิกิริยา ในจังหวะที่เทน้ำมันให้หมุนบิดการกวนเพื่อป้องกันไม่ให้เกิดการระเด็นของ น้ำมัน และปล่อยให้ปฏิกิริยาดำเนินไปจนครบเวลา โดยต้องควบคุมให้อุณหภูมิในการเกิดปฏิกิริยาให้คงที่ ( $\pm 2^{\circ}\text{C}$ )

3) เมื่อครบกำหนดเวลา 1 ชั่วโมง ปิดเตาให้ความร้อนและหยุดการกวน เทสารผสม ทั้งหมดลงในรายแยก ปล่อยทิ้งไว้ให้เกิดการแยกชั้น

4) ขั้นของตัวเร่งปฏิกิริยาจะตกแยกออกมาด้านล่าง นำขั้นของเหลวมาทำให้บริสุทธิ์ โดยการตั้งให้เกิดการแยกระหว่างตัวเร่งปฏิกิริยา กับสารผสมเป็นเวลา 12 ชั่วโมง (ค้างคืน) กรองแยกส่วนของ

ตัวเร่งปฏิกิริยา และนำส่วนของของเหลวมาระHEYEXAOETHANOL ซึ่งหลังจากการแยกแอลกอฮอล์ออก จะพบว่ามีชั้นของกลีเชอรอลแยกออกมา แยกชั้นของน้ำมันออกและนำไปวิเคราะห์ที่ปริมาณเอทิลเอสเทอร์

5) วิเคราะห์ที่ปริมาณเอทิลเอสเทอร์ โดยใช้เทคนิคของแก๊สโครมაโทกราฟี ภาคที่ 3.20 โดยใช้ภาวะของการวิเคราะห์ดังนี้คือ คอลัมน์ BD-EN14103 อุณหภูมิคอลัมน์ 200 °C อัตราการไหลดของแก๊สพा 0.5 มิลลิลิตรต่อนาที Split ratio 100:1 อุณหภูมิส่วนผิดสาร 250 °C อุณหภูมิตัวตรวจวัด 250 °C วิธีการวิเคราะห์ดังแสดงในภาคผนวก

6) ทำการทดลองช้าที่อัตราส่วนโดยไม่ระบุระหว่างเอทานอล 9:1 ตามขั้นตอนในข้อ 1)-5)

7) ทำการทดลองช้าที่อัตราส่วนโดยไม่ระบุระหว่างเอทานอล 9:1 แต่เพิ่มเวลาในการเกิดปฏิกิริยาเป็น 2, 3, 4 และ 5 ชั่วโมง ตามลำดับ ที่ปริมาณตัวเร่งปฏิกิริยาร้อยละ 3 โดยนำน้ำหนักของน้ำมัน อุณหภูมิ 75 °C ตามขั้นตอนในข้อ 1)-5)

8) ทำการทดลองช้าที่อัตราส่วนโดยไม่ระบุระหว่างเอทานอล 12:1, 15:1 และ 18:1 ปริมาณเอทานอลที่ใช้ในแต่ละอัตราส่วนดังแสดงในตารางที่ 3.4 ที่ปริมาณตัวเร่งปฏิกิริยาร้อยละ 3 โดยนำน้ำหนักของน้ำมัน อุณหภูมิ 75 °C เวลา 1, 2, 3, 4 และ 5 ชั่วโมง

9) เลือกอัตราส่วนโดยไม่ระบุระหว่างเอทานอล ที่ได้ปริมาณเอทิลเอสเทอร์สูงสุด และทำการศึกษาปริมาณตัวเร่งปฏิกิริยาและอุณหภูมิตามลำดับ ปริมาณตัวเร่งปฏิกิริยาที่ใช้ในการศึกษาแต่ละภาวะดังแสดงในตารางที่ 3.5

### 3.3.6.3 สรุปภาวะที่เหมาะสมและเปรียบเทียบเอทิลเอสเทอร์ที่เกิดขึ้นจากน้ำมันทั้งสองชนิด

ในขั้นตอนนี้จะทำการสรุปภาวะที่เหมาะสม และเปรียบเทียบเอทิลเอสเทอร์ที่เกิดขึ้น จากน้ำมันทั้งสองชนิด

### 3.3.7 ทดสอบสมบัติบางประการของเอทิลเอสเทอร์ที่ผลิตได้จากการที่เหมาะสมดังนี้

3.3.7.1 ความหนืด ตามวิธีการมาตรฐาน ASTM D445

3.3.7.2 จุดวางไฟ ตามวิธีการมาตรฐาน ASTM D 93

3.3.7.3 ปริมาณน้ำ ตามวิธีการมาตรฐาน EN ISO 12937

3.3.7.4 ค่าความเป็นกรด ตามวิธีการมาตรฐาน ASTM D664

3.3.7.5 โนนิส ได ไทรกรีเซอไรต์ ตามวิธีการมาตรฐาน EN 14105

3.3.7.6 ปริมาณกรีเชอรอลอีสระและกรีเชอรอลทั้งหมด ตามวิธีการมาตรฐาน EN 14105

3.3.7.7 เถ้าชลเพต ตามวิธีการมาตรฐาน ASTM D 874

3.3.7.8 จุดให้เหล ตามวิธีการมาตรฐาน ASTM D 9

### 3.3.8 วิเคราะห์ข้อมูล และสรุปผลการวิจัย

## บทที่ 4

### ผลการดำเนินงานวิจัย

#### 4.1 การเตรียมน้ำมันเมล็ดยางพารา

##### 4.1.1 การเตรียมน้ำมันเมล็ดยางพารา

ในงานวิจัยได้จัดชื่อเมล็ดยางพาราจากเกษตรกรทางภาคอีสาน จากนั้นทำการหีบนำมันโดยใช้เครื่องสกรูอัดเกลียว น้ำมันเมล็ดยางพาราที่ได้หลังจากการหีบมีสีน้ำตาลเข้มมีลักษณะขุ่น มีกลิ่นเฉพาะตัว ซึ่งเมื่อทำการหีบนำมันเสร็จแล้วจะเก็บไว้ในขวดเพื่อปล่อยตะกอนค่อยๆแยกออกมาซึ่งใช้เวลาประมาณ 2 สัปดาห์ ตามภาพที่ 4.1 ก่อนนำมาใช้ในการทดลองจะทำการกรองแยกตะกอนอีกครั้ง น้ำมันเมล็ดยางพาราหลังจากการกรองจะมีลักษณะ似ตามภาพที่ 4.2 และเก็บไว้ในภาชนะที่แห้งและปิดมิดชิดเพื่อป้องกันการปนเปื้อนของความชื้น ที่อุณหภูมิห้อง นำตัวแทนตัวอย่างน้ำมันเมล็ดยางพาราส่งไปทำการทดสอบสมบัติทางกายภาพและองค์ประกอบของกรดไขมันแสดงผลดังตารางที่ 4.1



ภาพที่ 4.1 ลักษณะการแยกของตะกอนจากเนื้อน้ำมัน



ภาพที่ 4.2 ลักษณะของน้ำมันเมล็ดยางพาราหลังการกรอง

ตารางที่ 4.1 สมบัติทางกายภาพและองค์ประกอบของกรดไขมันในน้ำมันเมล็ดยางพาราที่ใช้ในงานวิจัย

สมบัติ	วิธีการทดสอบ	ค่าที่ได้
ค่าความหนืด粘度 ที่อุณหภูมิ 40 °C, mm. <sup>2</sup> /วินาที	ASTM D445-12	30.11
ปริมาณน้ำ, wt.%	ISO 12937:2000	0.209
ค่าความหนาแน่น (Density) ที่อุณหภูมิ 15 °C, kg/m <sup>3</sup>	ASTM D4052-11	0.9217
ปริมาณกรดไขมันอิสระ (as linoleic acid), wt.% องค์ประกอบของกรดไขมัน, (%) <sup>a</sup>	AOAC (2000), 940.28 AOAC (2005), 963.22, 969.33	29.0
(i) กรดพาล์มิติก (Palmitic acid) (C16:0)		8.72
(ii) กรดพาล์มิโตเลอิก (Palmitoleic acid) (C16:0)		0.25
(iii) กรดสเทียริก (Stearic acid) (C18:0)		7.82
(iv) กรดโอลีอิก (Oleic acid) (C18:1n9c)		25.59
(v) กรดลิโนเลอิก (Linoleic acid) (C18:2n6c)		41.70
(vi) กรดลิโนเลนิก (Linolenic acid) (C18:3n3c)		14.70
(vii) กรดอะราชิดิก (Arachidic acid) (C20:0)		0.28
(viii) Cis-11-Eicosenoic acid (C20:1 n-9)		0.16

\* กรดไขมันชนิดอื่นมีปริมาณน้อยกว่าร้อยละ 0.1 โดยน้ำหนัก

#### 4.1.2 การเตรียมน้ำมันสปูด้า

ในงานวิจัยเรื่องนี้ได้ทำการซื้อน้ำมันสปูด้าดิบมาจาก บริษัทน้ำมันสปูด้าไทย จังหวัดปทุมธานี น้ำมันสปูด้าดิบมีลักษณะใส สีเหลืองเข้ม การทดสอบสมบัติทางกายภาพและองค์ประกอบของกรดไขมันแสดงผลในตารางที่ 4.2

ตารางที่ 4.2 สมบัติทางกายภาพและองค์ประกอบของกรดไขมันในน้ำมันสนับสำหรับใช้ในงานวิจัย

สมบัติ	วิธีการทดสอบ	ค่าที่ได้
ค่าความหนืด粘度 ที่อุณหภูมิ 40 °C, mm. <sup>2</sup> /วินาที	ASTM D445-12	35.18
ปริมาณน้ำ, wt.%	ISO 12937:2000	0.226
ค่าความหนาแน่น (Density) ที่อุณหภูมิ 15 °C, kg/m <sup>3</sup>	ASTM D4052-11	0.9192
ปริมาณกรดไขมันอิสระ(as oleic acid) wt.%	AOAC (2000), 940.28	16.1
องค์ประกอบของกรดไขมัน, (%) <sup>a</sup>	AOAC (2005), 963.22, 969.33	
(iii) กรดพาล์มิติก (Palmitic acid) (C16:0)		14.13
(iv) กรดพาล์มิโตเลอิก (Palmitoleic acid) (C16:0)		0.66
(iii) กรดสเตียริก (Stearic acid) (C18:0)		6.64
(iv) กรดโอลีอิก (Oleic acid) (C18:1n9c)		44.99
(v) กรดลิโนลีอิก (Linoleic acid) (C18:2n6c)		32.40
(vi) กรดลิโนลีนิก (Linolenic acid) (C18:2n6c)		0.17
(vii) กรดแอราชิดิก (Arachidic acid) (C20:0)		0.19

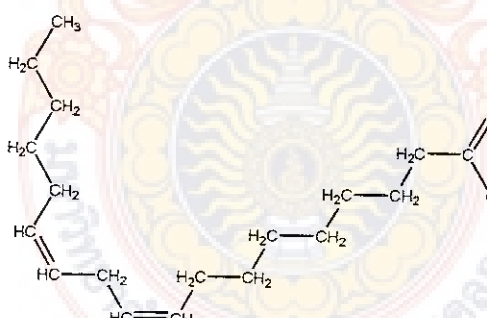
<sup>a</sup> กรดไขมันชนิดอื่นมีปริมาณน้อยกว่าร้อยละ 0.1 โดยน้ำหนัก

จากการวิเคราะห์เปรียบเทียบสมบัติของน้ำมันทั้ง 2 จะมีสมบัติทางประการที่คล้ายกันเช่น ค่าความหนืด ปริมาณน้ำ ค่าความหนาแน่น ที่น้ำมันเมล็ดพีชทั้ง 2 ชนิดมีค่าความหนืดสูงเนื่องจากในน้ำมันพีชมีองค์ประกอบหลักคือโมเลกุลไทรกลีเซอโรลด์ซึ่งเป็นสารอินทรีย์ประเภทເອສເທິວ໌ທີ່ມາຈາກກີ່ເຫຼວດແລກຮັດไขมัน (ดังแสดงในภาพที่ 4.3) ซึ่งส่วนของกรดไขมันจะมีจำนวนคาร์บอนตั้งแต่ 8-20 ອະຕອມ ໂມເລກຸລ໌ທີ່ມີນາດໄຫຍ່ທໍາໃໝ່ມີຄວາມຕ້ານທານການໄຫລສູງ ໃນຂະໜ່າທີ່ເນື່ອທາງຄວາມໜີດພບວ່ານ้ำມັນຈະເບົກງ່າວ່າພະຍາຍາມຫານແນ່ນຂອງນ້ຳມັນນ້ອຍກວ່າ 1 ຈາກຜລກກາຣິເຄຣາະທີ່ອົງປ່ຽນປະກາດຂອງกรดไขมันในน້ຳມັນ ຊຶ່ງຈະປັບອອກເສີ່ນນິດແລກປະວິມານ ພບວ່າໃນນ້ຳມັນເມີດຍາງພາຣະມີປ່ຽມານກຣດລີໂລລີກສູງສຸດໂຄຮງສ້າງແສດງໃນກາພທີ່ 4.4 ໃນຂະໜ່າທີ່ນ້ຳມັນສູນໍາດຳມີກຣດໂອລີກສູງສຸດໂຄຮງສ້າງແສດງໃນກາພທີ່ 4.5 ຊຶ່ງໃນໂມເລກຸລ໌ມີຈຳນວນຄາຮບອນເທົກນີ້ 18 ອະຕອມ ກາພທີ່ 4.6 ແສດງກຣາຟເປົ່າຍເທິນປ່ຽມານກຣດໃຫມ້ນໍ້າທີ່ມີຈຳນວນຄາຮບອນ 16 ແລະ 18 ອະຕອມ ນ້ຳມັນເມີດຍາງພາຣະຈະພບກຣດລີໂລລີນິກໃນຂະໜ່າທີ່ນ້ຳມັນສູນໍາດຳມີກຣດຕະນິດໃນປ່ຽມານທີ່ນ້ອຍມາກ

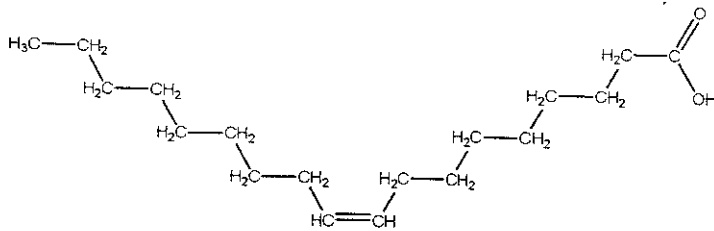
น้ำมันเมล็ดยางพาราและน้ำมันสนูด้าเป็นน้ำมันในกลุ่มที่ไม่สามารถบริโภคได้ จากการวิจัยที่ผ่านมา [46] พบว่าธรรมชาติของน้ำมันในกลุ่มนี้จะมีปริมาณกรดสูงซึ่งเป็นผลจากการที่มีโมเลกุลของกรดอยู่อย่างอิสระหรือที่เรียกว่ากรดไขมันอิสระ และมีปริมาณแตกต่างกันในแต่ละพื้นที่ ซึ่งจากผลการวิเคราะห์ปริมาณของกรดไขมันอิสระพบว่าน้ำมันทั้งสองชนิดมีปริมาณกรดไขมันสูงมากเกินกว่าร้อยละ 3 โดยน้ำหนัก แต่เมื่อเปรียบเทียบกับน้ำมันเมล็ดยางพาราจะมีค่าสูงกว่าน้ำมันสนูด้า ซึ่งส่งผลให้ค่าความหมัดของน้ำมันเมล็ดยางพารามีค่าต่ำกว่าค่าความหมัดของน้ำมันสนูด้า เช่นกัน ทำให้ในงานวิจัยเรื่องนี้ ทางคณะผู้วิจัยจึงจำเป็นต้องนำน้ำมันทั้ง 2 มาทำการลดปริมาณกรดไขมันอิสระโดยผ่านปฏิกิริยาเอสเทอเรติเคชันซึ่งจะกล่าวในหัวข้อถัดไป



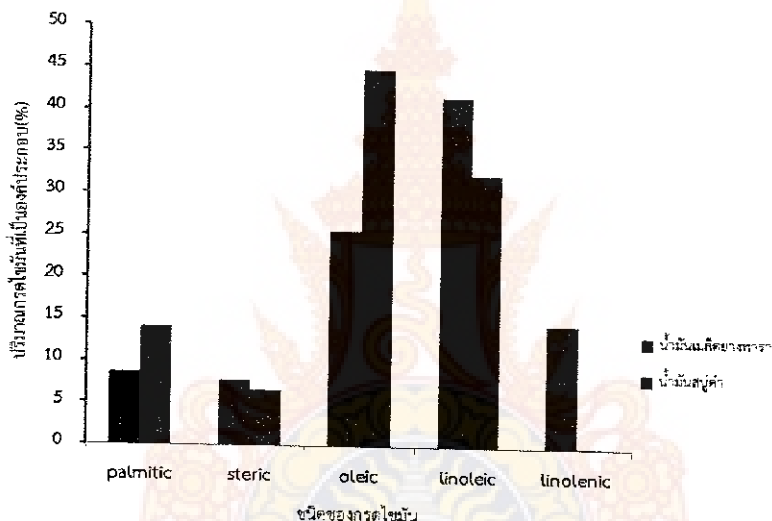
ภาพที่ 4.3 โครงสร้างโมเลกุลของไทรกลีเซอไรต์



ภาพที่ 4.4 โครงสร้างกรดลิโนลีอิก



ภาพที่ 4.5 โครงสร้างกรดโอเลอีิก

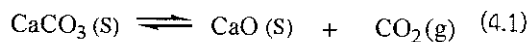


ภาพที่ 4.6 เปรียบเทียบปริมาณกรดไขมันแต่ละชนิดที่เป็นองค์ประกอบอยู่ในน้ำมันเมล็ด粱พาราและน้ำมันสบู่ต่า

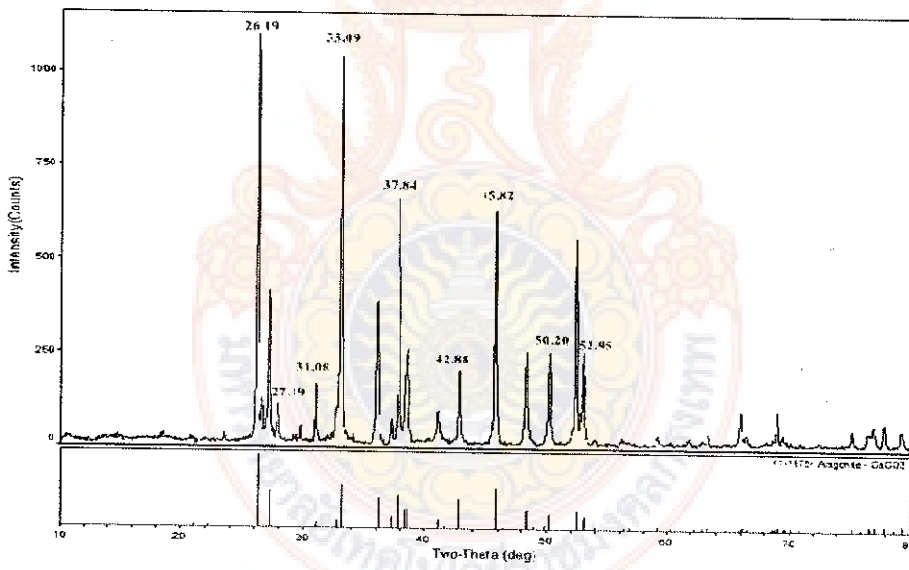
#### 4.2 การเตรียมตัวเร่งปฏิกิริยา

ในงานวิจัยเรื่องนี้ได้เตรียมตัวเร่งปฏิกิริยา CaO ที่แปรรูปมาจากเปลือกหอยแครงและผ่านการเคลือบฝังด้วยสารละลายลิเทียมในเดรธ ขั้นตอนในการเตรียมแบ่งออกเป็น 3 ส่วนคือ การเตรียมแคลเซียมออกไซด์จากเปลือกหอยแครงโดยมีการคัดขนาดของผงเปลือกหอยแครงที่ 45-63 ไมครอน ก่อนนำไปเผา ซึ่งผงเปลือกหอยมีลักษณะเป็นผงละเอียดสีขาวทุน การคัดขนาดจะช่วยทำให้อุณหภูมิของตัวเร่งปฏิกิริยามีขนาดที่สม่ำเสมอ จากงานวิจัยที่ผ่านมา ของ Mohamed และคณะ [47] พบร่วมของการเผาแคลเซียมคาร์บอนเนตในเปลือกหอยแครงต้องใช้อุณหภูมิในช่วง 500-1000 °C โดยที่ขนาดของอนุภาคที่จะนำไปเผาต้องอยู่ในช่วงมิลลิเมตรถึงไมครอน จึงจะทำให้การสลายตัวของแคลเซียมคาร์บอนเนตเกิดได้อย่างสมบูรณ์ และการใช้อุณหภูมิสูงในช่วง 800-1000 °C

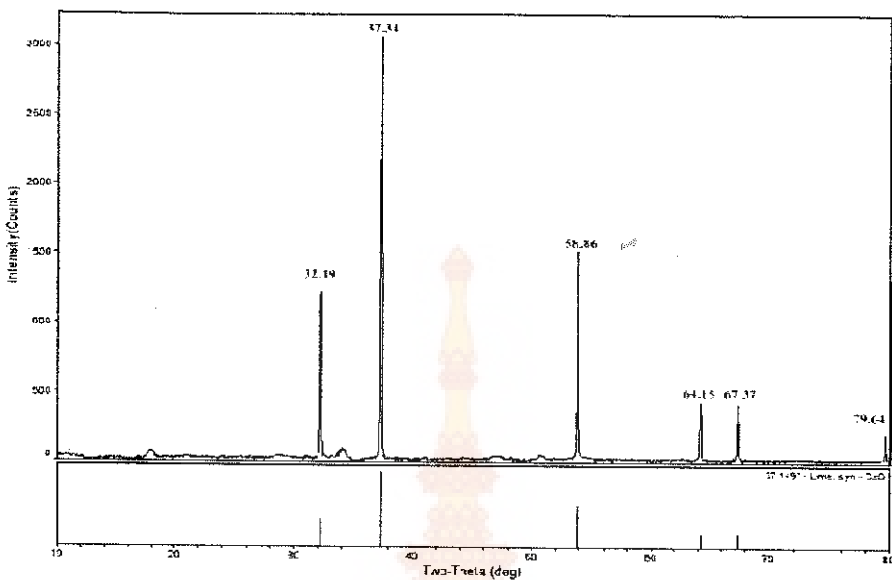
จะช่วยໄລ່ແກ້ສຄາຮບນີໂດອກໄຊຕີທີ່ເກີດຂຶ້ນອອກຈາກຜິວຫັ້ນຂອງຕົວເຮັ່ງປະກິບປະຍາຈນໄມ່ຮັບການກາຮສລາຍຕ້ວ່າ ດັ່ງນັ້ນໃນຈານວິຈີຍຈຶ່ງເລື່ອກອຸນກຸມ 1000 °C ເວລາ 2 ຊົ່ວໂມງເປັນກາວະທີ່ໃຊ້ໃນກາຮແພາເພື່ອເປັນແຄລເຊີມຄາຮບອນເຕີເປັນແຄລເຊີມອອກໄຊຕີ ດັ່ງແສດງໃນສາມາດທີ່ 4.1



ເມື່ອນຳເປັນແຄລເຊີມຂອຍແຄຮງກ່ອນແພາແລະຫລັ່ງແພາໄປປະກິບປະຍາຈນທີ່ເກີດຂຶ້ນຢືນຢັນໄດ້ວ່າເກີດກາຮເປັນແຄລເຊີມຄາຮບອນເຕີໄປເປັນແຄລເຊີມອອກໄຊຕີຈິງ  $2\theta$  ທີ່ພັບໃນເປັນແຄລເຊີມຂອຍແຄຮງກ່ອນແພາຄື່ອສັງຄູານຂອງແຄລເຊີມຄາຮບອນເຕີໄດ້ແກ່ 26.19, 27.19, 33.09, 37.84, 42.88, 45.02, 50.20 ແລະ 52.95 ມີກາຮທີ່ຍັງປຶກກັບປຶກຂອງ  $\text{CaCO}_3$  ແລະ  $2\theta$  ທີ່ພັບໃນເປັນແຄລເຊີມຂອຍແຄຮງຫລັ່ງແພາຄື່ອສັງຄູານຂອງແຄລເຊີມອອກໄຊຕີ ທີ່ 32.19, 37.34, 53.86, 64.15, 67.37 ແລະ 79.64

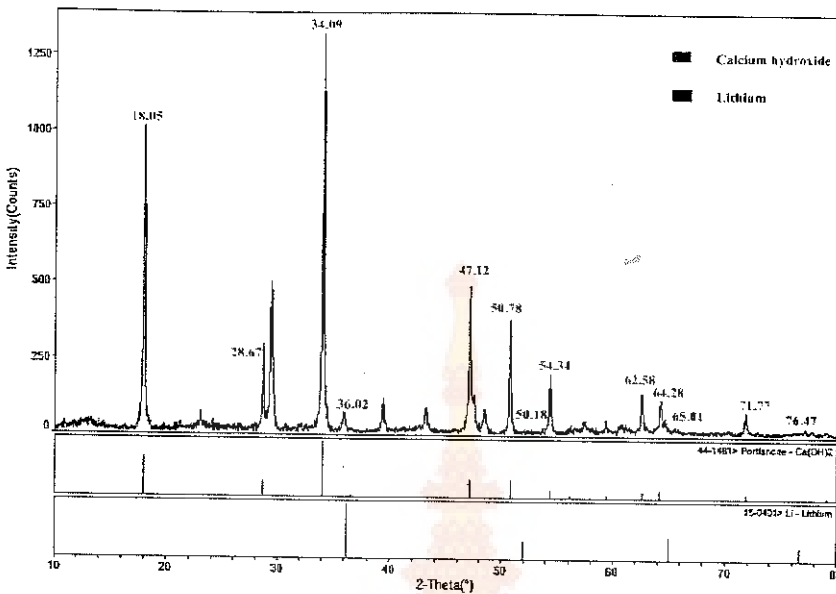


ຮູບທີ່ 4.7 ຜົດຈາກກາຮທີ່ດັ່ງນັ້ນໃຫຍ່ເບີນຂອງຮັບກາຮສລາຍຕ້ວ່າ ດັ່ງນັ້ນ



รูปที่ 4.8 ผลจากการทดสอบการเลี้ยงabenของรังสีเอกซ์ของเปลือกหอยแครงหลังการเผา

เมื่อนำแคลเซียมออกไซด์ที่ได้จากเปลือกหอยแครงมาเพิ่มประสิทธิภาพในการเร่งปฏิกิริยาแทรนส์โซสเทอ-ริฟิเคชันโดยการเคลือบผึ้งด้วยสารละลายลิเทียมในเตรท ในการทดลองใช้วิธีการเคลือบผึ้งแบบเปียก (Wet impregnation) โดยการวนผสม จากงานวิจัย [43] พบร่วมกับลิเทียมที่เคลือบผึ้งจะเพิ่มความกว้างไว้ในการเกิดปฏิกิริยาให้สูงขึ้น ภายหลังจากการเคลือบผึ้งจะนำตัวเร่งปฏิกิริยาไปตรวจสอบด้วยเทคนิคการเลี้ยงaben ของรังสีเอกซ์อีกครั้ง พบร่วมกับการเคลือบผึ้งจะมีบางส่วนของแคลเซียมออกไซด์ถูกเปลี่ยนไปเป็นแคลเซียมไอกโรกไซด์ พบร์ฟิก 2 θ ที่ 36.02, 18.05 และ 47.12 ดังภาพที่ 4.9 ซึ่งสอดคล้องกับการรายงานของ Kaur, M. และ Ali, A. [48] เมื่อจากการใช้น้ำเป็นตัวกลางในขั้นตอนของการเตรียมตัวเร่งปฏิกิริยา และจะพบของพีกของลิเทียม แสดงให้เห็นว่ามีการเคลือบผึ้งเกิดขึ้น และไม่พบพีกของ  $\text{Li}_2\text{CO}_3$  ทำให้พบว่ามีการกระจายตัวของ Li ใน CaO



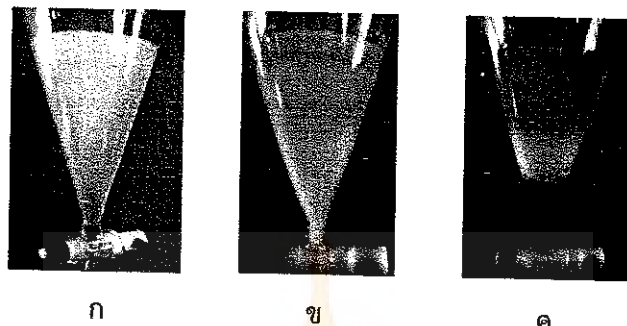
รูปที่ 4.9 ผลจากการทดสอบการเลี้ยงเบนของรังสีเอ็กซ์ของเปลือกหอยแครงหลังเคลือบฟิล์มเทียม

เมื่อทำการเตรียมตัวเร่งปฏิกิริยาขึ้นทางคณะผู้วิจัยได้เพิ่มการทดสอบประสิทธิภาพของตัวเร่งปฏิกิริยา โดยนำตัวเร่งปฏิกิริยาที่เตรียมขึ้นมาทดสอบประสิทธิภาพกับปฏิกิริยาแแทรนส์อสเทอโรฟิเคชันของน้ำมันปาล์มโดยใช้เมทานอลเป็นสารตั้งต้น ทั้งนี้ เพราะว่าในน้ำมันปาล์มจะเป็นน้ำมันที่มีปริมาณกรดไขมันอิสระต่ำ (ปริมาณกรดไขมันอิสระ เฉลี่ยร้อยละ 0.70 โดยน้ำหนัก) และให้ภาวะในการทำปฏิกิริยาคงที่คืออัตราส่วนโดยไมลของเมทานอลต่อน้ำมันเท่ากับ 12:1 ปริมาณตัวเร่งปฏิกิริยาร้อยละ 3 โดยน้ำหนัก เวลา 5 ชั่วโมง ที่อุณหภูมิ 65 °C เปรียบเทียบระหว่างชุดที่ 1 ไม่ใช้ตัวเร่งปฏิกิริยา ชุดที่ 2 ใช้ผงเปลือกหอยแครงเป็นตัวเร่งปฏิกิริยา ชุดที่ 3 ผงเปลือกหอยแครงที่ผ่านการเผาที่ 1000 °C และชุดที่ 4 Li/CaO จากผลการทดลองพบว่าชุดที่ 4 เกิดเมทิลเอสเทอร์สูงสุดร้อยละ 98.7 โดยน้ำหนัก ในขณะที่ชุดที่ 2 ให้ผลที่ใกล้เคียงกับชุดที่ 1 ที่ไม่ใช้ตัวเร่งปฏิกิริยาคือเกิดปริมาณเมทิลเอสเทอร์ต่ำกว่าร้อยละ 40 โดยน้ำหนัก แสดงผลในตารางที่ 4.3 จากรงานวิจัยของ [49] พบว่าอุกไซด์ของแคลเซียมจะมีความกว้างประมาณกว่าสารประกอบไออกไซด์และคาร์บอนเนตตามลำดับ และตัวเร่งปฏิกิริยา Li/CaO มีความกว้างประมาณกว่าแคลเซียมอุกไซด์ ทั้งนี้เป็นเพราะผลของลิเทียมในตัวเร่งปฏิกิริยาที่ทำให้แคลเซียมไออกไซด์มีความกว้างกว่าแคลเซียม การเพิ่มความกว้างไว้ในการเกิดปฏิกิริยาด้วยสารละลายลิเทียมในเตราท จึงเป็นสิ่งจำเป็นต่อการเกิดปฏิกิริยาแแทรนส์อสเทอโรฟิเคชัน โดยเฉพาะการสังเคราะห์ใบออดิเซลประเภทเอทิลเอสเทอร์ที่ใช้สารตั้งต้นเป็นเอทานอลที่มีขนาดโนเลกูลใหญ่กว่าเมทานอล

ตารางที่ 4.3 เปรียบเทียบปริมาณเมทิลเอสเทอร์ของปฏิกิริยาแทرنส์เอสเทอโรฟิคेचันที่อัตราส่วนระหว่าง เมทานอลต่อน้ำมันปาล์ม 12:1 ปริมาณตัวเร่งปฏิกิริยาอย่าง 3 โดยน้ำหนัก เวลา 5 ชั่วโมง ที่อุณหภูมิ 65 °ซ

ชุดที่	ชนิดของตัวเร่งปฏิกิริยา	ลักษณะของสารผสมหลังปฏิกิริยาสิ้นสุด
1	ไมสเตวเร่งปฏิกิริยา (ควบคุม)	แยกออกเป็น 2 ชั้น ไม่พบร่อง กลีเซอรอล
2	ผงเปลือกหอย ( $\text{CaCO}_3$ )	แยกออกเป็น 3 ชั้น ไม่พบร่อง กลีเซอรอล
3	ผงเปลือกหอยที่ผ่านการเผาที่ 1000 °ซ ( $\text{CaO}$ )	แยกออกเป็น 3 ชั้น ไม่พบร่อง กลีเซอรอล
4	ผงเปลือกหอยที่ผ่านการเผาที่ 1000 °ซ และเคลือบฟังด้วยลิเทียมไนเตรต ( $\text{Li/CaO}$ )	แยกออกเป็น 3 ชั้น พบร่อง กลีเซอรอล

ในระบบของการเกิดปฏิกิริยาโดยใช้ตัวเร่งปฏิกิริยาแบบวิธีพัฟ์ ถือเป็นการเกิดปฏิกิริยาที่ในระบบมี 3 วัตถุ ภาค ศืด ของแข็ง ของเหลวที่ไม่ร่วมดักกันประกอบด้วย ชั้นของน้ำมันและชั้นของเมทานอลดังนี้เมื่อเทศารตั้งต้นและตัวเร่งปฏิกิริยาลงในขวดทำปฏิกิริยาจะพบว่าเกิดการแยกชั้นของตัวเร่งปฏิกิริยา น้ำมัน และเมทานอล โดยที่เมทานอลซึ่งมีความหนาแน่นน้อยกว่าน้ำมัน (0.79 กรัม/ลบ.ซม.) จะแยกอยู่ชั้นบน โดยปฏิกิริยาแทرنส์เอสเทอโรฟิคेचันจะเกิดขึ้นในชั้นของเมทานอลดังนั้นในการทำปฏิกิริยาจำเป็นที่จะต้องทำการวนเพื่อให้น้ำมันเข้ามาอยู่ปอยู่ในชั้นของเมทานอลให้มากที่สุด จากผลการวิจัยของ Sharma Y.C. และคณะ[50]พบว่าเมื่อทำการศึกษาอัตราการกรองในช่วง 150-900 รอบ/นาที อัตราการกรองที่ 600 รอบ/นาที เหมาะสมที่สุด เมื่ออัตราการกรองเพิ่มขึ้นจาก 150 รอบ/นาที เป็น 600 รอบ/นาที ปริมาณเมทิลเอสเทอร์เพิ่มขึ้นตามลำดับ หลังจากนั้นเมื่อเพิ่มอัตราการกรองมากขึ้นเป็น 700 รอบ/นาทีและ 800 รอบ/นาที ปริมาณเมทิลเอสเทอร์คงที่ ตั้งนั้นในการทดลองจึงทำการกรองที่อัตราเร็ว 600 รอบ/นาที โดยที่การกรองจะช่วยให้ตัวเร่งปฏิกิริยาที่มีสถานะเป็นแข็งกระจายตัวในระบบอย่างสม่ำเสมอและช่วยทำให้การเกิดปฏิกิริยาเกิดได้ดีขึ้น ในช่วงแรกของการเกิดปฏิกิริยาตั้งแต่เริ่มจับเวลาจนถึง 30 นาทีจะยังพบการแยกชั้นของเมทานอลกับน้ำมัน แต่หลังจาก 30 นาที ชั้นของน้ำมันกับชั้นของเมทานอลจะเกิดการรวมตัวซึ่งหมายถึงการเกิดของเมทิลเอสเทอร์และกลีเซอรอล อิทธิพลได้ด้วยที่จุดนี้ไครกลีเซอไรต์ลดลงและเกิดเมทิลเอสเทอร์และกลีเซอรอลมากขึ้น ซึ่งทั้งเมทิลเอสเทอร์และกลีเซอรอลจะสามารถละลายได้อย่างสมบูรณ์ในเมทานอล ตั้งนั้นการกรองสารผสมจึงมีความสำคัญ เป็นอย่างยิ่งต่อการเกิดปฏิกิริยาแทرنส์เอสเทอโรฟิคेचัน เพราะจะเป็นเครื่องมือที่ทำให้สารที่ทำปฏิกิริยาเกิด การสัมผัสนกันมากที่สุด ภายหลังจากปฏิกิริยาสิ้นสุดจะพบการแยกชั้นของกลีเซอรอลออกจากชั้นของ เมทิลเอสเทอร์ทันที ในขณะที่ตัวเร่งปฏิกิริยาที่เป็นของแข็งจะค่อยๆ ตกลงมาอยู่ด้านล่างของกรวยแยก ภายหลังจากตั้งทิ้งต่อเป็นเวลา 1 ชั่วโมงจะให้ชั้นของตัวเร่งปฏิกิริยาและกลีเซอรอลออก เพื่อทำให้กลีเซอรอลที่ปั้งตกล้างแยกออกมากขึ้น และปล่อยให้เกิดการแยกต่อเป็นเวลาประมาณ 12 ชั่วโมง



ภาพที่ 4.10 เปรียบเทียบลักษณะของสารผสมหลังปฏิกริยาสิ้นสุด ภาพ ก ไม่ใส่ตัวเร่งปฏิกริยา ภาพ ข ใส่ตัวเร่งปฏิกริยาผงเปลือกหอยแครงที่ผ่านการเผาที่  $1000^{\circ}\text{C}$  ภาพ ค  $\text{Li/CaO}$

#### 4.3 การลดปริมาณกรดไขมันอิสระ

จากการที่น้ำมันเมล็ดพาราและน้ำมันสบู่ดำมีปริมาณกรดไขมันอิสระสูงในขั้นตอนการลดปริมาณกรดไขมันอิสระจะเลือกวิธีที่ผ่านการทำปฏิกริยาเอสเทอเรติกเคชัน โดยใช้อุตสาหกรรมเป็นสารตั้งต้น เพื่อเปลี่ยนกรดไขมันอิสระที่มีอยู่ในน้ำมันให้อยู่ในรูปเอทิลเอสเทอร์ ตามสมการในภาพที่ 4.11 เมื่อ  $\text{RCOOH}$  แทนสูตรโมเลกุลของกรดไขมันอิสระในน้ำมันทั้ง 2 ชนิด



ภาพที่ 4.11 ปฏิกริยาเอสเทอเรติกเคชันระหว่างกรดไขมันอิสระกับอุตสาหกรรม

ในปฏิกริยาดังกล่าวจำเป็นต้องใช้ตัวเร่งปฏิกริยาที่มีสมบัติเป็นกรดซึ่งในงานวิจัยได้เลือกใช้เฟอริก-ชัลเพตเป็นตัวเร่งปฏิกริยาแบบวิธพันธ์หรือแบบเนื้อผสมที่มีสมบัติเป็นกรดแบบคลิอิส [51] จากงานวิจัยที่ผ่านมาพบว่าเฟอริกชัลเพตเป็นตัวเร่งปฏิกริยาที่มีประสิทธิภาพสำหรับปฏิกริยาเอสเทอเรติกเคชันระหว่างกรดไขมันอิสระในน้ำมันและเมทานอล [51, 52] ทั้งยังมีข้อดีเหนือกว่าตัวเร่งปฏิกริยาแบบเอกพันธ์ เช่น กรดฟิวริก ในแง่ของการแยกตัวเร่งปฏิกริยาออกได้ง่ายหลังจากทำปฏิกริยาเสร็จสิ้น ไม่ส่งผลกระทบต่อการกัดกร่อนอุปกรณ์ และไม่ก่อให้เกิดผลพิษต่อสิ่งแวดล้อมในขั้นตอนที่ต้องมีการล้างผลิตภัณฑ์ด้วยน้ำ [53] ภาวะที่ใช้ในการทำปฏิกริยา คือ ที่อัตราส่วนโดยไม่ระบุของอุตสาหกรรมต่อกรดไขมันอิสระที่ 17:1 อุณหภูมิ  $75^{\circ}\text{C}$  เวลา 3 ชั่วโมง ทำการกรองต atol ด้วยกระดาษเพื่อเพิ่มพื้นที่ผิวสัมผัสระหว่างสารตั้งต้นและตัวเร่งปฏิกริยาที่ความเร็ว rob คงที่ ภายหลังจากครบเวลาที่กำหนดเทารผสมทั้งหมดในรายแยกตั้งทั้งไว้ 1 คืนจะพบว่าเกิดการแยกออกเป็น 3 ชั้นคือ ชั้นบนเป็นชั้นบางๆ ของอุตสาหกรรมมีสีน้ำตาลเข้ม ชั้นกลางเป็นชั้นของน้ำมัน ชั้นล่างเป็นชั้นของเฟอริก

ซัลเฟต จะแยกส่วนของชั้นกลาสซึ่งเป็นชั้นของที่มีน้ำมันมากองอีกครั้งหนึ่งเพื่อแยกเฟอริกซัลเฟตที่ปะปนอยู่ และนำไประ夷แยกเอทานอลและน้ำที่อุณหภูมิ  $110^{\circ}\text{C}$  เมื่อน้ำมันมีอุณหภูมิลดลงมาที่อุณหภูมิห้องจะนำมาวิเคราะห์หาปริมาณกรดไขมันอิสระโดยวิธีการไทเทเรต ตามมาตรฐาน AOAC 940.28 และคำนวณร้อยละการลดลงของกรดไขมันอิสระที่เหลือ จากผลการทดลองพบว่า น้ำมันเมล็ดยางพารา มีปริมาณกรดไขมันอิสระลดลงจากร้อยละ 29.0 เหลือร้อยละ 2.5 โดยน้ำหนัก คิดเป็นลดลงร้อยละ 91.4 และน้ำมันสนับเข้มีปริมาณกรดไขมันอิสระลดลงเฉลี่ยวจากร้อยละ 16.1 เหลือร้อยละ 1.5 โดยน้ำหนัก คิดเป็นลดลงร้อยละ 90.7 เมื่อนำไปวิเคราะห์ปริมาณน้ำและค่าความหนืดได้ผลดังแสดงในตารางที่ 4.4

**ตารางที่ 4.4** สมบัติของน้ำมันเมล็ดยางพาราและน้ำมันสนับเข้มีปริมาณตัวเร่งปฏิกิริยาเริ่มต้นที่ภาวะอัตราส่วนโดยไม่ระบุว่างเอทานอลต่อกรดไขมันอิสระที่ 17:1 อุณหภูมิ  $75^{\circ}\text{C}$  เวลา 3 ชั่วโมงปริมาณตัวเร่งปฏิกิริยาเริ่มต้น 3 โดยน้ำหนัก

สมบัติ	น้ำมันเมล็ดยางพารา	น้ำมันสนับเข้ม
ค่าความหนืด粘度 ที่อุณหภูมิ $40^{\circ}\text{C}$ , mm. <sup>2</sup> /วินาที	15.75	14.85
ปริมาณน้ำ, wt.%	0.19	0.37
ปริมาณกรดไขมันอิสระ,wt.%	2.5	1.5

#### 4.4 ศึกษาผลของตัวแปรในการเกิดปฏิกิริยาแทนส์เอสเทอโรฟิเคลชัน

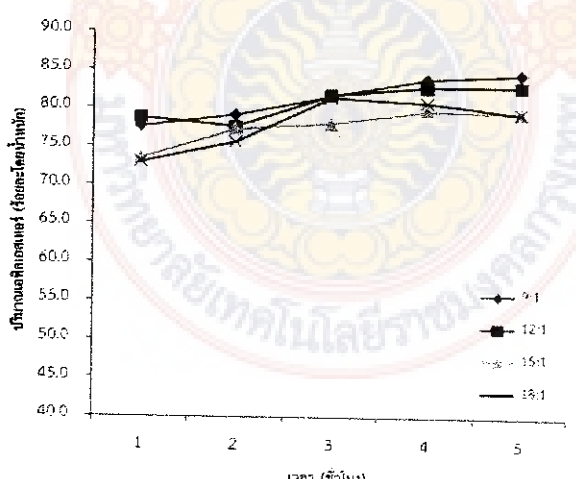
การศึกษาผลของตัวแปรในการเกิดปฏิกิริยาแทนส์เอสเทอโรฟิเคลชันจะทำการทดลองทีล็อตตัวแปรโดยเริ่มจากอัตราส่วนโดยไม่ระบุว่างเอทานอลต่อน้ำมันเมล็ดยางพารา ปริมาณตัวเร่งปฏิกิริยา อุณหภูมิและเวลาในการเกิดปฏิกิริยา ตามลำดับ

##### 4.4.1 ศึกษาผลของอัตราส่วนโดยไม่ระบุว่างเอทานอลต่อน้ำมัน

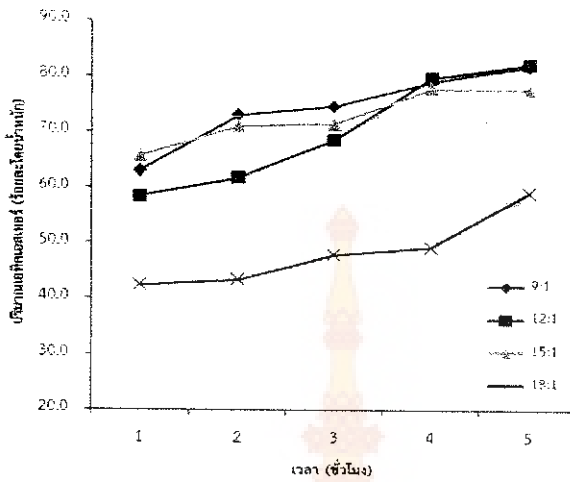
อัตราส่วนโดยไม่ระบุว่างแอลกอฮอล์กับน้ำมันถือเป็นพารามิเตอร์ที่มีความสำคัญและส่งผลโดยตรงกับปริมาณเอสเทอร์ที่เกิดขึ้น เหตุผลประการแรกคือ แอลกอฮอล์เป็นสารตั้งต้นในการเกิดปฏิกิริยา ประการที่สองคือปฏิกิริยานี้เป็นปฏิกิริยาแบบผันกลับ (Reversible reaction) การบวกกวนสมดุลโดยการเพิ่มปริมาณแอลกอฮอล์จะทำให้สมดุลของปฏิกิริยาเลื่อนมาทางขวา ดังนั้นจึงทำการเพิ่มอัตราส่วนโดยไม่ระบุว่างเอทานอลต่อน้ำมันให้มากกว่า 3:1 จากการวิจัยที่ผ่านมาโดยทั่วไปเมื่อใช้เมทานอลในการทำปฏิกิริยาแทนส์เอสเทอโรฟิเคลชันที่มีตัวเร่งปฏิกิริยาเอกพันธุ์ชนิดเบสจะใช้อัตราส่วนโดยไม่ลที่ 6:1 แต่ในกรณีที่ใช้ตัวเร่งปฏิกิริยาแบบวิธีพันธุ์ซึ่งมีอัตราการเกิดปฏิกิริยาที่ชากว่าการใช้ตัวเร่งปฏิกิริยาแบบเอกพันธุ์ การเพิ่มปริมาณเอทานอลจะเป็นหนทางหนึ่งในการเพิ่มปริมาณเอทิลเอสเทอร์ [54] ในการทดลองจึงศึกษาอัตราส่วนโดยไม่ระบุว่างเอ-ทานอลต่อน้ำมันเมล็ดยางพาราที่ 9:1-18:1 ทำปฏิกิริยาที่เวลา 1-5 ชั่วโมง โดยให้ตัวแปรอื่นคงที่ได้ผลดังแสดงในภาพที่ 4.12 และ 4.13

จากการทดลองพบว่าอัตราส่วนโดยโมลระหว่างเอทานอลต่อน้ำมันมีผลต่อปริมาณเอทิลเอสเทอร์ที่เกิดขึ้น ในกรณีของน้ำมันสนุ่นๆ พบว่าเมื่อเริ่มเกิดปฏิกิริยาถึงเวลา 1 ชั่วโมงทุกอัตราส่วนโดยโมลให้ปริมาณเอทิลเอสเทอร์เฉลี่ยมากกว่าร้อยละ 70 โดยน้ำหนัก และเมื่อเพิ่มเวลาในการเกิดปฏิกิริยา ปริมาณเอทิลเอสเทอร์ จะเพิ่มขึ้นและมีแนวโน้มที่เริ่มคงที่เมื่อเวลาเข้าใกล้ที่ 5 ชั่วโมง เมื่อพิจารณาปริมาณเอทิลเอสเทอร์ที่เกิดขึ้น พบว่าที่อัตราส่วนโดยโมลระหว่างเอทานอลต่อน้ำมัน 9:1 และ 12:1 เกิดมากกว่าที่ อัตราส่วนโดยโมลระหว่างเอทานอลต่อน้ำมัน 15:1 และ 18:1 ปริมาณเอทิลเอสเทอร์เฉลี่ยสูงสุดคือ ร้อยละ 84.6 โดยน้ำหนักที่อัตราส่วนโดยโมลระหว่างเอทานอลต่อน้ำมัน 9:1 เวลา 5 ชั่วโมง ในกรณีของน้ำมันเม็ดดองพารา เมื่อพิจารณาที่เวลาในการทำปฏิกิริยา 1 ชั่วโมง เมื่อใช้อัตราส่วนโดยโมลระหว่างเอทานอลต่อน้ำมัน 9:1 – 18:1 เกิดเอทิลเอสเทอร์เฉลี่ยร้อยละ 42.4-65.7 โดยน้ำหนัก ซึ่งมีปริมาณเอทิลเอสเทอร์ต่ำกว่าในกรณีที่ใช้น้ำมันสนุ่นๆ เป็นวัตถุตัวกลาง ที่อัตราส่วน 9:1 12:1 และ 18:1 เมื่อเวลาในการทำปฏิกิริยาเพิ่มขึ้นแนวโน้มจะเกิดปริมาณเอทิลเอสเทอร์เพิ่มขึ้น แต่ที่อัตราส่วน 15:1 จากเวลา 4 ชั่วโมงถึง 5 ชั่วโมงจะมีปริมาณลดลงเล็กน้อย ปริมาณเอทิลเอสเทอร์เฉลี่ยสูงสุดคือ ร้อยละ 82.0 โดยน้ำหนัก ที่อัตราส่วนโดยโมลระหว่างเอทานอลต่อน้ำมัน 12:1 เวลา 5 ชั่วโมง ซึ่งมีค่าใกล้เคียงกับที่อัตราส่วนโดยโมลระหว่างเอทานอลต่อน้ำมัน 9:1 เวลา 5 ชั่วโมง เท่ากับร้อยละ 81.6 โดยน้ำหนัก ซึ่งไม่มีความแตกต่างกันอย่างมีนัยสำคัญในกรณีนี้จึงเลือกที่อัตราส่วน 9:1

จากการทดลองพบว่าเมื่อปริมาณแอลกอฮอล์สูงขึ้น ปริมาณเอทิลเอสเทอร์ที่เกิดขึ้นกลับน้อยลงทั้งนี้เนื่องจากเมื่อปริมาณแอลกอฮอล์เพิ่มขึ้น ปริมาตรรวมของระบบเพิ่มขึ้น โอกาสที่จะเกิดการสัมผัสกันของสารในการทำปฏิกิริยาน้อยลง เกิดการเจือจางของตัวเร่งปฏิกิริยาและอาจจะมีผลต่อการเสื่อมสภาพของตัวเร่งปฏิกิริยาด้วย และช่วงที่ทำการศึกษาเป็นช่วงที่ปริมาณแอลกอฮอล์ที่มากเกินพอดี [55]



ภาพที่ 4.12 ผลการศึกษาอัตราส่วนโดยโมลระหว่างเอทานอลต่อน้ำมันที่ 9:1-18:1 ต่อปริมาณเอทิลเอสเทอร์ที่ปริมาณตัวเร่งปฏิกิริยา r้อยละ 3 โดยน้ำหนักของน้ำมันเวลา 1-5 ชั่วโมง อุณหภูมิ 75 °C ของน้ำมันสนุ่นๆ



ภาพที่ 4.13 ผลการศึกษาอัตราส่วนโดยไม่ระบุว่างເອທານອລຕ່ອນ້ຳມັນທີ 9:1-18:1 ຕ່ອປະມານເອທີລເສເຫອຣ໌ ທີ່ປະມານຕ້ວເຮັງປົກົກີຣີຍາຮ້ອຍລະ 3 ໂດຍນໍ້າໜັກຂອງໜ້າມັນເວລາ 1-5 ຊົ່ວໂມງ ອຸນຫຼຸມ 75 °ຈ ຂອງໜ້າມັນເລື້ອຍໆຢາງພາຣາ

จากผลการศึกษาตัวแปรແຮກຄືອັດຕາສ່າວນໂດຍໂມລະຮວ່າງພບວ່າທີ່ອັດຕາສ່າວນໂດຍໂມລະຮວ່າງເອທານອລຕ່ອນ້ຳມັນທີ່ເໝາະສົມຄື່ອງ 9:1 ທັງໜ້າມັນເລື້ອຍໆຢາງພາຣາ ແລະໜ້າມັນສຸ່ດຳ ໄດ້ປະມານເອທີລເສເຫອຣ໌ສູງສຸດທີ່ເວລາ 5 ຊົ່ວໂມງ

#### 4.4.2 ผลຂອງປະມານຕ້ວເຮັງປົກົກີຣີຍາ

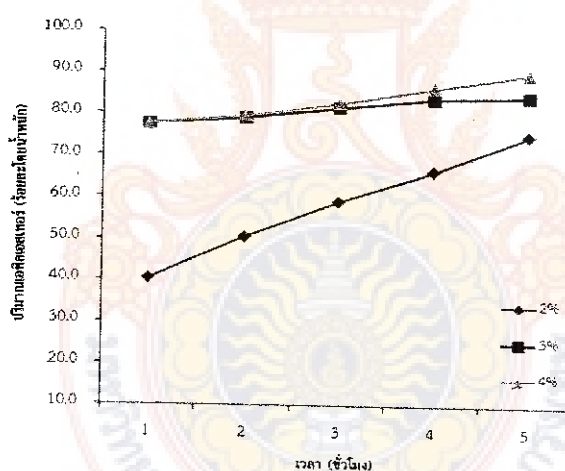
ໃນການສຶກຫາຜົນຂອງປະມານຕ້ວເຮັງປົກົກີຣີຍາ  $\text{Li/CaO}$  ການສຶກຫາຮະດັບຂອງປະມານຕ້ວເຮັງປົກົກີຣີຍາທີ່ຮ້ອຍລະ 2, 3, 4 ໂດຍນໍ້າໜັກ ໃຫ້ອັດຕາສ່າວນໂດຍໂມລະຮວ່າງເອທານອລຕ່ອນ້ຳມັນຄົງທີ່ທີ່ 9:1 ອຸນຫຼຸມຄົງທີ່ທີ່ 75 °ຈ ແລະປ່ອຍໃຫ້ເກີດປົກົກີຣີຍາທີ່ເວລາ 1-5 ຊົ່ວໂມງ

ກາພທີ່ 4.14 ແສດຜົນການທົດຄອງໃນການຟີ່ໃຫ້ໜ້າມັນສຸ່ດຳເປັນວັດຖຸດົບ ພບວ່າທີ່ປະມານຕ້ວເຮັງປົກົກີຣີຍາຮ້ອຍລະ 2 ໂດຍນໍ້າໜັກ ທີ່ເວລາ 1 ຊົ່ວໂມງປະມານເອທີລເສເຫອຣ໌ເກີດເຂັ້ນຍ້ອຍກວ່າຮ້ອຍລະ 50 ໂດຍນໍ້າໜັກ ແລະເນື່ອເພີ່ມເວລາໃນການທຳປົກົກີຣີຍາ ປະມານເອທີລເສເຫອຣ໌ມີແນວໂນັ້ນພື້ນຍ່າງຕອນ໌ເນື່ອງ ທີ່ເວລາຂອງການທຳປົກົກີຣີຍາ 5 ຊົ່ວໂມງ ປະມານເອທີລເສເຫອຣ໌ສູງກວ່າຮ້ອຍລະ 70 ໂດຍນໍ້າໜັກ ອໍາຍ່າໄກ້ຕາມປະມານເອສເຫອຣ໌ທີ່ເກີດເຂັ້ນຍັງນ້ອຍກວ່າເນື່ອໃຫ້ປະມານຮ້ອຍລະ 3 ແລະ 4 ໂດຍນໍ້າໜັກ ແສດງວ່າໃນໜ່ວຍແຮກເປັນພິບປະມານຕ້ວເຮັງປົກົກີຣີຍາໄນ່ເພື່ອງພວ ການເພີ່ມຕ້ວເຮັງປົກົກີຣີຍາຈະທຳໃຫ້ປະມານຂອງເອທອກໃຊ້ດຳມັກເຂັ້ນ ອັດການເກີດປົກົກີຣີຍາ ເພີ່ມເຂັ້ນ ເນື່ອເປົ້າທີ່ກ່ຽວຂ້ອງການໃຫ້ຕ້ວເຮັງປົກົກີຣີຍາຮ້ອຍລະ 3 ແລະ 4 ໂດຍນໍ້າໜັກ ທີ່ເວລາ 1-3 ຊົ່ວໂມງ ເກີດປະມານເອສເຫອຣ໌ທີ່ໄກລ້າເຄີຍກັນ ແຕ່ເນື່ອພິຈານາທີ່ເວລາ 4-5 ຊົ່ວໂມງພບວ່າ ກາວະທີ່ໃຫ້ຕ້ວເຮັງປົກົກີຣີຍາຮ້ອຍລະ 4

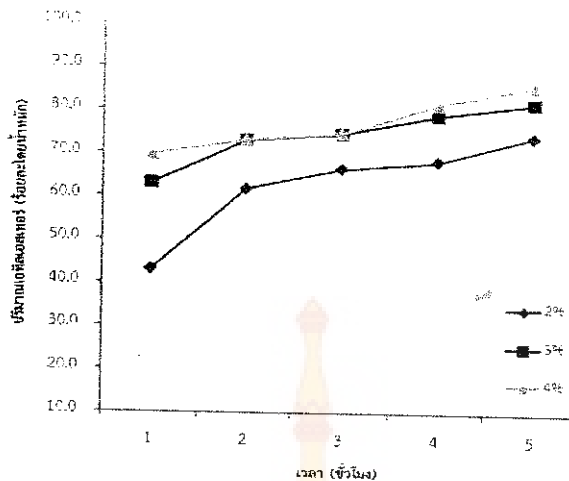
โดยน้ำหนักทำให้สามารถเกิดเอสเทอร์ได้เพิ่มขึ้น และสูงกว่าที่ปริมาณตัวเร่งปฏิกิริยาร้อยละ 3 โดยน้ำหนักเมื่อปริมาณตัวเร่งปฏิกิริยาเพิ่มขึ้นจะให้ปริมาณของเอทอกไซด์มากขึ้น อัตราการเกิดปฏิกิริยาเพิ่มขึ้น จากงานวิจัยของ Kaur และ Ali [56] พบว่าปริมาณตัวเร่งปฏิกิริยา yang เกี่ยวข้องกับชนิดของวัตถุดิบ ถ้าวัตถุดิบที่ใช้มีความบริสุทธิ์สูงจะใช้ปริมาณตัวเร่งปฏิกิริยาน้อย

ภาพที่ 4.15 แสดงผลการทดลองในกรณีที่ใช้น้ำมันเมล็ดยางพาราเป็นวัตถุดิบ แนวโน้มการเกิดปริมาณเอสเทอร์เป็นไปในทิศทางเดียวกับของน้ำมันสน้ำด้ำ คือเมื่อใช้ปริมาณตัวเร่งปฏิกิริยาที่ร้อยละ 2 โดยน้ำหนักจะเกิดปริมาณเอทิลเอสเทอร์น้อยกว่าเมื่อใช้ปริมาณตัวเร่งปฏิกิริยาร้อยละ 3 และ 4 โดยน้ำหนักตามลำดับ

ภาวะที่เหมาะสมที่สุดของน้ำมันสน้ำด้ำ คือใช้ตัวเร่งปฏิกิริยาร้อยละ 4 โดยน้ำหนัก เวลา 5 ชั่วโมง เกิดเอทิลเอสเทอร์ร้อยละ 90.0 โดยน้ำหนัก และภาวะที่เหมาะสมที่สุดของน้ำมันเมล็ดยางพารา คือใช้ตัวเร่งปฏิกิริยาร้อยละ 4 โดยน้ำหนัก เวลา 5 ชั่วโมงเกิดเอทิลเอสเทอร์ร้อยละ 85.6 โดยน้ำหนัก อย่างไรก็ตามเมื่อพิจารณาการทำปฏิกิริยาที่ภาวะเดียวกันพบว่า เกิดเอทิลเอสเทอร์จากน้ำมันเมล็ดยางพาราต่ำกว่าจากน้ำมันสน้ำด้ำ



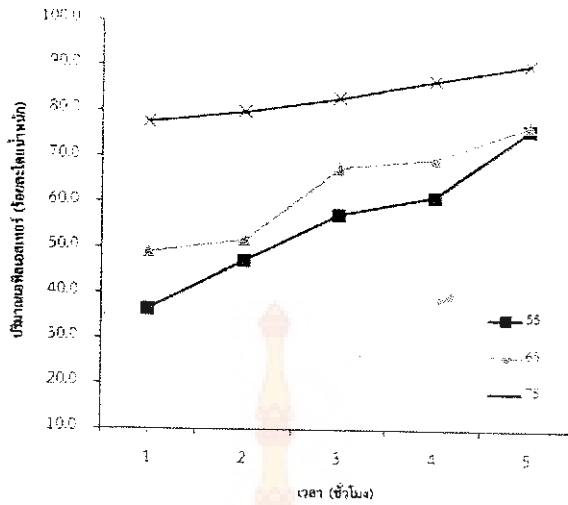
ภาพที่ 4.14 ผลการศึกษาปริมาณตัวเร่งปฏิกิริยาร้อยละ 2-4 โดยน้ำหนักต่อปริมาณเอทิลเอสเทอร์ที่อัตราส่วนโดยไม่ระบุห่วงเอทานอลต่อน้ำมันที่ 9:1 เวลา 1-5 ชั่วโมง อุณหภูมิ 75 °C ของน้ำมันสน้ำด้ำ



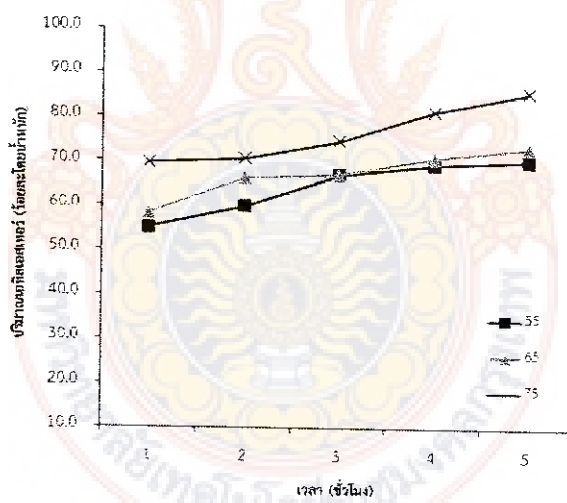
**ภาพที่ 4.15** ผลการศึกษาปริมาณตัวเร่งปฏิกิริยา rate 2-4 โดยนำหนักต่อปริมาณเอทิลเอสเทอร์ที่อัตราส่วนโดยโนรัลห่วงเอทานอลต่อน้ำมันที่ 9:1 เวลา 1-5 ชั่วโมง อุณหภูมิ 75 °C ของน้ำมันเมล็ดพวยพารา

#### 4.4.3 ผลของอุณหภูมิ

อุณหภูมิเป็นอีกด้านแปรหันที่สำคัญต่อการปฏิกิริยาแพรนส์เอสเทอโรฟิเคชัน เนื่องจากเอทานอลสามารถเกิดปฏิกิริยาได้ดีในสถานะที่เป็นไอ ในการทดลองได้ทำการศึกษาอุณหภูมิในการทำปฏิกิริยานี้ในช่วง 55-75 °C ที่อุณหภูมิห้องปฏิกิริยาแพรนส์เอสเทอโรฟิเคชันเกิดขึ้นช้าและได้ปริมาณเอสเทอร์ต่ำ ดังนั้นจึงกำหนดช่วงของอุณหภูมิที่สูงกว่าอุณหภูมิน้อย แล้วเมื่อพิจารณาจุดเดือดของเอทานอลมีค่าเท่ากับ 78.4 °C ทำให้ในการออกแบบงานวิจัยจึงกำหนดช่วงของอุณหภูมิที่ทำการศึกษาสูงกว่าอุณหภูมิห้องจนถึงอุณหภูมิที่ต่ำกว่าจุดเดือดของเอทานอลเล็กน้อยเพื่อให้ง่ายต่อการควบคุมระบบ ตามธรรมชาติเมื่ออุณหภูมิสูงขึ้นความหนืดของน้ำมันจะลดลงทำให้ไม่เลกุลงในทรกลีเซอไรต์ทำปฏิกิริยากับเอทานอลได้ดีมากขึ้น อย่างไรก็ตาม เมื่ออุณหภูมิสูงกว่าจุดเดือดของเอทานอลมีโอกาสที่จะเกิดการระเหยและสูญเสียเอทานอลที่ใช้ในการทำปฏิกิริยา จากภาพที่ 4.16 และ 4.17 พบร่องรอยของน้ำมันเมล็ดพวยพาราที่อุณหภูมิ 55 และ 65 °C มีปริมาณเอทิลเอสเทอร์น้อย ซึ่งแตกต่างจากเมื่อทำปฏิกิริยาที่อุณหภูมิ 75 °C ดังนั้นในการทดลองจึงเลือกที่อุณหภูมิ 75 °C เป็นอุณหภูมิที่เหมาะสมที่สุด ซึ่งผลการทดลองแสดงลักษณะทั่วไปของน้ำมันสนับด้ำและน้ำมันเมล็ดพวยพารา



ภาพที่ 4.16 ผลการศึกษาอุณหภูมิที่ 55- 75 ° ซ ต่อปริมาณเอทิลเอสเทอร์ที่อัตราส่วนโดยไม่ลดระหว่างอุ่นอลต่อน้ำมันที่ 9:1 ที่ปริมาณตัวเร่งปฏิกิริยาเริ่มละ 4 โดยน้ำหนักของน้ำมัน เวลา 1-5 ชั่วโมงของน้ำมันสนับดู่

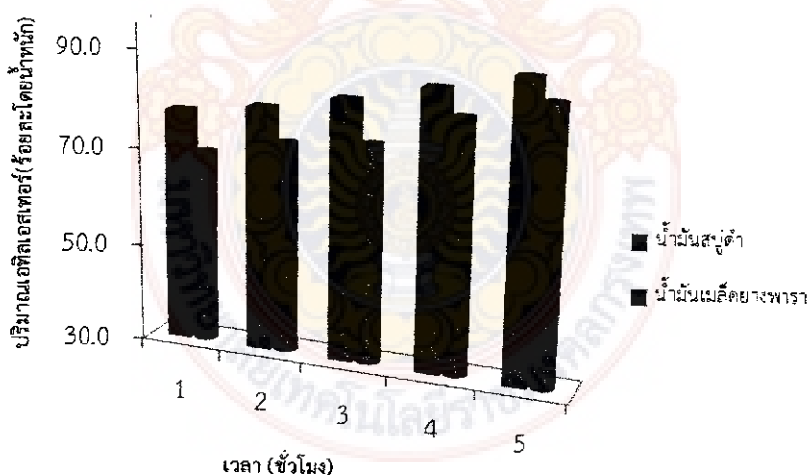


ภาพที่ 4.17 ผลการศึกษาอุณหภูมิที่ 55- 75 ° ซ ต่อปริมาณเอทิลเอสเทอร์ที่อัตราส่วนโดยไม่ลดระหว่างอุ่นอลต่อน้ำมันที่ 9:1 ที่ปริมาณตัวเร่งปฏิกิริยาเริ่มละ 4 โดยน้ำหนักของน้ำมัน เวลา 1-5 ชั่วโมงของน้ำมันเมล็ดยางพารา

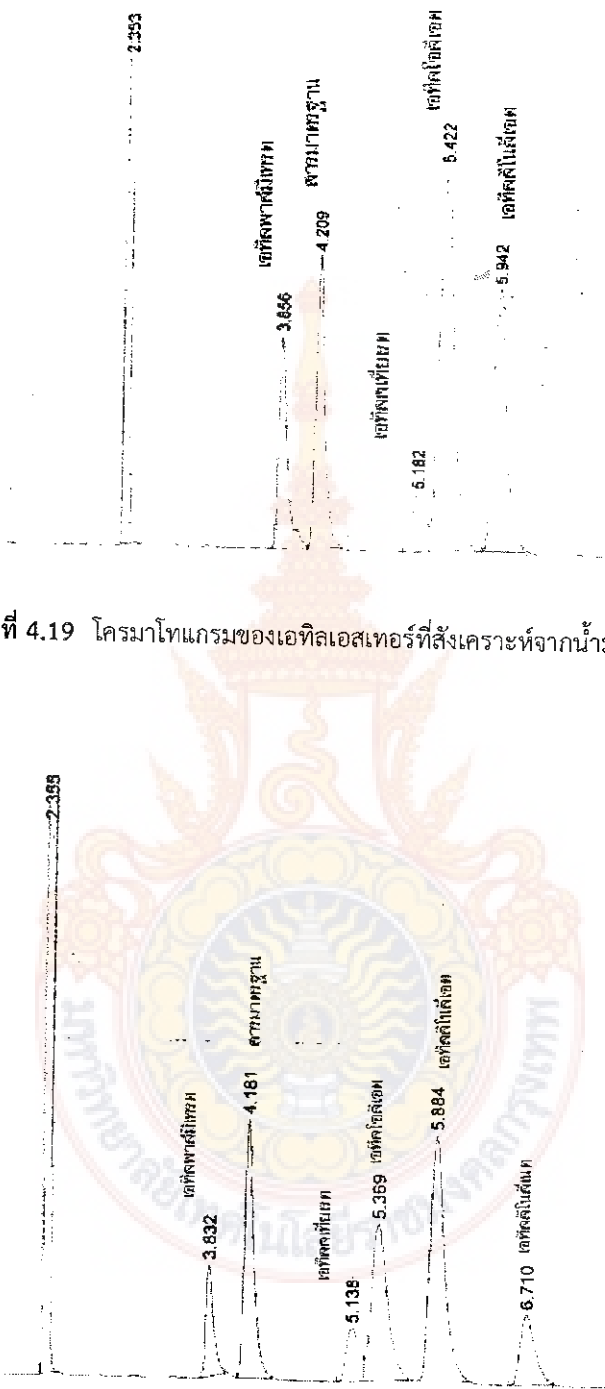
#### 4.4.4 ผลของเวลา

เวลาที่ใช้ในการทำปฏิกิริยาเป็นตัวแปรหนึ่งที่มีความสำคัญต่อการเกิดເອົຫລເສທ່ອຮ່າງຈິງຈາກຄ້າໃຊ້ເວລານ້ອຍເກີນໄປມີຜົດທໍາໄໝເກີດບັນດຸກິກິຣິຢາໄດ້ໄໝສົມບູຮົນ ທີ່ອໜາກໃຊ້ເວລານານເກີນໄປແລະຮັບເຂົ້າສູ່ສົມດຸລຸແລ້ວຈະສືບປັບປຸງເວລາ ໃນຈາກວິຊັ້ນນີ້ໄດ້ທຳການສຶກສາເວລາໃນການທຳປົກກິກິຣິຢາທີ 1-5 ຊົ່ວໂມງ ທີ່ອັດຕະວ່າສ່ວນໂດຍໂມລຮ່ວງເອຫານອລຕ່ອນ້າມັນເທົ່າກັນ 9:1 ປຽມານດ້ວຍເຮົ່າເງິນຕ່າງໆຮ່ວງປົກກິກິຣິຢາຮ້ອຍລະ 4 ໂດຍນ້ຳໜັກ ອຸນຫຼວມ 75 °C ເມື່ອເວລາເພີ່ມຂຶ້ນເອົຫລເສທ່ອຮ່າງຈິງຈາກນີ້ໄມ້ເພີ່ມຂຶ້ນ ແລະສູງສຸດທີ່ເວລາ 5 ຊົ່ວໂມງ ໂດຍທີ່ ປຽມານເອົຫລເສທ່ອຮ່າງຈິງຈາກນີ້ໄມ້ສູ່ດຳເກີດຂຶ້ນສູງກວ່າໃນ້າມັນເມັດຍາງພາຣາ ເມື່ອເປົ້າຍືນເຖິງທີ່ເວລາໃນການເກີດປົກກິກິຣິຢາເທົ່າກັນ ດັ່ງແສດງໃນກາພທີ 4.18 ເມື່ອເປົ້າຍືນເຖິງຜົດປຽມານເອົຫລເສທ່ອຮ່າງຈິງຈາກນີ້ໄມ້ເພີ່ມຂຶ້ນ ແລະເສົ່າມອກໃຫ້ດົກເລີ່ມໄຫຼດຮັກໃຫ້ດົກ ທີ່ໃຊ້້າມັນຄ້ວ່າເລື່ອງເປັນວັດຖຸທີ່ອັດຕະວ່າສ່ວນໂດຍໂມລຮ່ວງເອຫານອລຕ່ອນ້າມັນທີ່ 9:1 ໃປປຽມານດ້ວຍເຮົ່າເງິນຕ່າງໆຮ່ວງປົກກິກິຣິຢາຮ້ອຍລະ 13.8 ໂດຍນ້ຳໜັກຂອງ້າມັນ ທີ່ເວລາ 2 ຊົ່ວໂມງ ໄດ້ປຽມານເອົຫລເສທ່ອຮ່າງຈິງຈາກນ້ອຍກວ່າຮ້ອຍລະ 20 ໂດຍນ້ຳໜັກ [55]

ກາຍຫລັງຈາກການສຶກສາກວາງທີ່ເໝາະສົມໂດຍການສຶກສາດ້ວຍປົກກິກິຣິຢາທັງສອງທີ່ສຳຄັນໃນການທຳປົກກິກິຣິຢາແທຣນສ-ເສທ່ອຮິພິເຄີນຮ່ວງ້າມັນທີ່ 2 ຂົນດັບເອຫານອລ ໂດຍໃຫ້ດ້ວຍເຮົ່າເງິນຕ່າງໆຮ່ວງປົກກິກິຣິຢາ Li/CaO ໄດ້ກວາງທີ່ເໝາະສົມຂອງ້າມັນທີ່ສອງນີ້ທີ່ກວາງເດືອກກິນຄື່ອງທີ່ກວາງເດືອກກິນຄື່ອງທີ່ອັດຕະວ່າສ່ວນໂດຍໂມລຮ່ວງເອຫານອລຕ່ອນ້າມັນທີ່ 9:1 ປຽມານດ້ວຍເຮົ່າເງິນຕ່າງໆຮ່ວງປົກກິກິຣິຢາຮ້ອຍລະ 4 ໂດຍນ້ຳໜັກ ອຸນຫຼວມ 75 °C ເວລາ 5 ຊົ່ວໂມງ ໂຄຣມາໂທແກຣມຂອງເອົຫລເສທ່ອຮ່າງຈິງຈາກນ້ຳໜັກສູ່ດຳ ແລະເມັດຍາງພາຣາດັ່ງແສດງໃນກາພທີ 4.19 ແລະ 4.20 ຕາມລຳດັບ



ກາພທີ 4.18 ເປົ້າຍືນເຖິງປຽມານເອົຫລເສທ່ອຮ່າງຈິງຈາກນ້ຳໜັກສູ່ດຳ ແລະນ້ຳໜັກເມັດຍາງພາຣາເມື່ອທຳປົກກິກິຣິຢາທີ່ອັດຕະວ່າສ່ວນໂດຍໂມລຮ່ວງເອຫານອລຕ່ອນ້າມັນເທົ່າກັນ 9:1 ປຽມານດ້ວຍປົກກິກິຣິຢາຮ້ອຍລະ 4 ໂດຍນ້ຳໜັກ ເວລາ 1-5 ຊົ່ວໂມງ



ภาพที่ 4.19 โครมาโทแกรมของเอทิลเอสเทอร์ที่สั่งเคราะห์จากน้ำมันสบู่ด้ำ



ภาพที่ 4.20 โครมาโทแกรมของเอทิลเอสเทอร์ที่สั่งเคราะห์จากน้ำมันเมล็ดยางพารา

#### 4.5 เตรียมເອທິລເອສເທອຣຈາກກວາງທີ່ແນະສມແລະວິເຄຣະທໍສົມບັດ

ເມື່ອນຳເອທິລເອສເທອຣຂອງນ້ຳມັນທັງ 2 ຜົນດີທີ່ເຕີມຈາກກວາງທີ່ແນະສມໄປວິເຄຣະທໍສົມບັດບາງປະກາດ  
ພບວ່າ ດ່າວວິມຫຸ້ນທີ່ອຸນຫກູມ  $40^{\circ}\text{C}$  ຂອງເອທິລເອສເທອຣມີຄ່ານ້ອຍກວ່າດ່າວວິມຫຸ້ນທີ່ຂອງນ້ຳມັນເນັ້ນແຕ່ສູງ  
ກວ່າດ່າວວິມຫຸ້ນທີ່ຂອງເມທິລເອສເທອຣຕາມຂ້ອງດຳນັດ ທັງນີ້ເພື່ອນວ່າມາດໄມເລກຂອງເອທິລເອສເທອຣໃຫຍ່ກວ່າຫນາດ  
ໄມເລກຂອງເມທິລເອສເທອຣ ແລະມີຄ່າສູງກວ່າຂ້ອງດຳນັດດ່າວວິມຫຸ້ນທີ່ຂອງນ້ຳມັນດີເຊລ່ອມຸນເຮົາເຊັ່ນກັນ ເມື່ອ<sup>†</sup>  
ພິຈາລະນາຄົງປະມາດຄວາມເປັນກະຕົວຂອງເອທິລເອສເທອຣພບວ່າຍັງມີຄ່າສູງທັງນີ້ອ້າງເນື່ອງຈາກມີຜລເຮືອງຄວາມໄມ່ເສດຖຽນ  
ຂອງນ້ຳມັນເມີລື້ມີທີ່ນໍາມາໃຊ້ທຳມະວິຍ ກາຣວິເຄຣະທໍຄວາມສາມາດຄອງນ້ຳມັນທີ່ໄລດ້ທີ່ອຸນຫກູມຕໍ່ຈະ  
ຮາຍງານດ່າຈຸດໄທລເທ ສຶງເມື່ອວິເຄຣະທໍດ່າຈຸດໄທລເທຂອງເອທິລເອສເທອຣທີ່ເຕີມຈາກນ້ຳມັນທັງ 2 ຜົນດີພບວ່າມີຄ່າ  
ເທົກນັດໂດຍ ຕ່າງວ່າ  $5^{\circ}\text{C}$  ກາຣທີ່ນ້ຳມັນເຊື່ອພັດທິມີຄ່າຈຸດໄທລເທຕໍ່ທຳມະວິຍໃຫ້ສາມາດໃຊ້ງານທີ່ອຸນຫກູມຕໍ່ໄດ້ເປັນຍ່າງດີ  
ໂດຍທີ່ຈະໄມ່ເກີດການເຊັ່ງຕົວອ່ານື່ອແລະຂັດຂວາງການໄລດ້ຂອງນ້ຳມັນຈາກຄົງເກີນນ້ຳມັນມາສູ່ທົ່ວເລີ່ມຕົ້ນ  
ກາຣວິເຄຣະທໍທາປະມາດຈຸດວາບໄຟຈະແສດງຄົງສາຣທີ່ສາມາດຮະເໝຍໄດ້ຈ່າຍໃນທີ່ນີ້ຕ້ອງບໍ່ມາດີວຽນກາຣຕົກຄັງຂອງແລກອໝອລີໃນ  
ນ້ຳມັນ ພບວ່າເອທິລເອສເທອຣທັງ 2 ຜົນດີມີຈຸດວາບໄຟສູງກວ່າດ່າວວິມຫຸ້ນຂອງຈຸດວາບໄຟຂອງນ້ຳມັນດີເຊລ່ອມຸນເຮົາ ສຶງ  
ຈະແສດງຄົງຄວາມປລອດກັບໃນການໃຊ້ງານແລະກາຮັບຮັກໝາ ກາຣວິເຄຣະທໍທາປະມາດນ້ຳເພື່ອປັບປຸງຄົງໂກກສີທີ່  
ເມື່ອນຳນ້ຳມັນໄປໃຊ້ງານຈະທຳໄດ້ເກີດການກັດກັນໃນເຄື່ອງຍົນຕ ນອກຈາກນີ້ໄປໂດຍເຊລຍັງມີຄວາມສາມາດໃນການດູດ  
ນ້ຳໄດ້ເຮົວກວ່ານ້ຳມັນດີເຊລ່ອຕັ້ງນີ້ເນື້ອທຳການສັງເຄຣະທໍແລ້ວຈຶ່ງຄວາມເກີນໄວ້ໃນການນະທີ່ແນະສມແລະສ້າເກີດການ  
ປັນເປົ້ອນຂອງນ້ຳ ນ້ຳມັນຈະມີລັກຜະນະທີ່ຊຸ່ນມາກັບນີ້



ตารางที่ 4.5 สมบัติของไบโอดีเซลประเภทเอทิลเอสเทอร์เบรียบเทียบกับค่ามาตรฐานน้ำมันเชื้อเพลิงตามข้อกำหนดของประเทศไทย

รายการทดสอบ	เอทิลเอส	เอทิลเอส	น้ำมันดีเซล	มาตรฐาน
เทอร์เจก น้ำมันสนุ่วๆ	เทอร์เจก	เทอร์เจก	หมุนเร็ว น้ำมันเมล็ด	ไบโอดีเซลประเภท เมทิลเอสเทอร์ ยางพารา
ความหนืด ณ อุณหภูมิ 40 °ซ (mm <sup>2</sup> /วินาที)	6.840	6.542	1.8-4.1	3.5-5.0
ปริมาณน้ำ (ร้อยละโดยน้ำหนัก)	0.11	0.15	300 พีพีเอ็ม	รายงาน
ปริมาณโมโน ได ไทรกรีเซอโรต์ (ร้อยละโดยน้ำหนัก)	> 0.20	> 0.20	-	ไม่สูงกว่า 0.20
ปริมาณกรีเซอโรโลอิสระและกรีเช อรอลทั้งหมด (ร้อยละโดยน้ำหนัก)	> 0.25	> 0.25	-	ไม่สูงกว่า 0.25
เดักษ์เลฟต (ร้อยละโดยน้ำหนัก)	<0.02	<0.02	-	ไม่สูงกว่า 0.02
ปริมาณความเป็นกรดรวม (มิลลิกรัม โพแทสเซียมไฮดรอกไซด์/กรัม)	1.14	2.57	-	ไม่สูงกว่า 0.50
จุดวางไฟ แบบ P.M. °ช	120	120	ไม่ต่ำกว่า 52	ไม่น้อยกว่า 120
จุดไฟลเท °ช	3	3	ไม่สูงกว่า 10	รายงาน

## บรรณานุกรม

- ธรรมชาติและสิ่งแวดล้อม. 2551. “วิกฤตพลังงาน-โลกร้อน....ลดได้” ออนไลน์. เข้าถึงได้จาก <http://www.oknation.net/blog/print.php?id=302617> วันที่สืบค้น 18 สิงหาคม 2551.
- นโยบายรัฐบาล.“นโยบายพลังงาน”. ออนไลน์. เข้าถึงได้จาก <http://eval.nrct.go.th/images/stories/report/appendix4.pdf> วันที่สืบค้น 14 กันยายน 2555.
- กระทรวงพลังงาน. กรมธุรกิจพลังงาน. 2551. “สถิติการจัดทำและการจัดจำหน่าย” ออนไลน์. เข้าถึงได้จาก [http://www.doeb.go.th/information/infor\\_data.html](http://www.doeb.go.th/information/infor_data.html) วันที่สืบค้น 14 กันยายน 2555
- กระทรวงพลังงาน. กรมพลังงานทดแทนและอนุรักษ์พลังงาน. 2551. ออนไลน์. เข้าถึงได้จาก [http://www.dede.go.th/dede/images/stories/Biodiesel/B100\\_Producer\\_Jan\\_11.pdf](http://www.dede.go.th/dede/images/stories/Biodiesel/B100_Producer_Jan_11.pdf) วันที่สืบค้น 12 กันยายน 2555.
- Tapanes NCO, Aranda DAG, Carneiro de Mesquita JW, Antunes OAC. 2008. Transesterification of *Jatropha curcas* oil glycerides: Theoretical and experimental studies of biodiesel reaction. *Fuel*, 87: 2286-2295.
- Oliveira JSD, Leite PM, Souza LBD, Mello VM, Silva EC, Rubim JC, Meneghetti SMP, Suarez PAZ. 2009. Characteristics and composition of *Jatropha curcas gossypiifolia* and *Jatropha curcas* L. oils and application for biodiesel production. *Biomass Bioenergy*, 33 : 449-453.
- Lu H, Liu Y, Zhou H, Yang Y, Chen M, Liang B. 2009. Production of biodiesel from *Jatropha curcas* L. oil. *Comput Chem Eng*, 33 : 1091-1096.
- Koh MY, Ghazi TIM. A review of biodiesel production from *Jatropha curcas* L. oil. 2011. *Renew Sustain Energy Rev*, 15 : 2240-2251.
- Nakpong P, Wootthikanokkhan S. 2010. Optimization of biodiesel production from *Jatropha curcas* L. oil via alkali-catalyzed methanolysis. *J Sustain Energy Environ*, 1 : 105-9.
- วิทยา ปั้นสุวรรณ และสุขสันต์ สุทธิผลพูนย์. น้ำมันเมล็ดยางพารา อีกหนึ่งทางเลือกพลังงาน ทดแทนตัวใหม่ เทคโนโลยีชาวบ้าน ปีที่ 19 ฉบับที่ 415.
- Marjanović AV, Stamenković OS, Todorović ZB, Lazić ML, Veljković VB. 2010. Kinetics of the base-catalyzed sunflower oil ethanolysis. *Fuel*, 89 : 665-671.
- Lee D-W, Park Y-M, Lee K-Y. 2009. Heterogeneous base catalysts for transesterification in biodiesel synthesis. *Catalysis Surveys from Asia*, 13 : 63-77.

## บรรณานุกรม (ต่อ)

13. Zabeti M, Wan Daud, WM. A, Aroua K. 2009. Acitivity of solid catalysts for biodiesel production: A review. *Fuel Processing Technology*, 90 : 770-777.
14. Hu, S.; Wang, Y.; Han, H. 2010. Utilization of waste freshwater mussel shell as an economic catalyst for biodiesel production. *Biomass and Bioenergy*, 35 : 3627-3635.
15. Nakatani N, Takamori H, Takeda K, Sakugawa, H. 2008. Transesterification of soybean oil using combusted oyster shell waste as a catalyst. *Bioresource Technology*, 100 : 1510-1513.
16. Viriya-empikul N, Krasae P, Puttasawat B, Yoosuk B, Chollacoop N, Faungnawakij K. 2009. Waste shells of mollusk and egg as biodiesel production catalysts. *Bioresource Technology*, 101: 3765-3767.
17. Birla A, Singh B, Upadhyay SN, Sharma YC. 2012. Kinetics studies of synthesis of biodiesel from waste frying oil using a heterogeneous catalyst derived from snail shell. *Bioresource Technology*, 106 : 95-100.
18. Boey, P.-L.; Maniam, G. P.; Hamid, S. A. 2009. Biodiesel production via transesterification of palm olein using waste mud crab (*Scylla serrata*) shell as a heterogeneous catalyst. *Bioresource Technology*, 100 : 6362-6368.
19. Meher LC, Kulkarni M G, Dalai A K, Naik SN. 2006. Transesterification of karanja (*Pongamia pinnata*) oil by solid basic catalysts. *European Journal of Lipid Science and Technology*, 108:389-397
20. เรื่องวิทย์ สร่างแก้ว. 2547. “การผลิตบีโอดีเซลจากน้ำมันพืชด้วยปฏิกิริยาทรานส์อสเทอเรติกเคนซ์ ในแมกนอลิ加โนวิกฤตอย่างต่อเนื่องในเครื่องปฏิกริยาระดับนำร่อง ” วิทยานิพนธ์วิทยาศาสตรมหาบัณฑิต. สาขาวิชาเคมีเทคนิค ภาควิชาเคมีเทคนิค คณะวิทยาศาสตร์ จุฬาลงกรณ์มหาวิทยาลัย.
21. ศูนย์ส่งเสริมและพัฒนาอาชีพการเกษตร จังหวัดชัยนาท(จักรกลเกษตร). “สบู่ดำ” [ออนไลน์] เข้าถึงได้จาก [aopdm01@doae.go.th/data/physicnut21.htm](http://aopdm01@doae.go.th/data/physicnut21.htm) วันที่สืบค้น 27 กุมภาพันธ์ 2551
22. พิศมัย เจนวนิชปัญจกุล. 2524. “การศึกษาสมบัติเบื้องต้นของน้ำมันเมล็ดสบู่ดำ” *วิทยาศาสตร์* 35, 11 (พฤษจิกายน) : 820-823.
23. ลุจินต์ แม้นเหมือน, ประพัส ร่มเย็น, และชัยโรจน์ ธรรมรัตน์. 2555. โครง..เปิดประดุยยางพาราอีสาน. *วารสารยางพารา*, 33(4), 15-19.

## บรรณานุกรม (ต่อ)

24. อารักษ์ จันทุมา. 2551. ยางพารากับภาวะโลกร้อน. *น.ส.พ. กสิกร*, 81(2), 69-77.
25. สารานุกรมไทยสำหรับเยาวชน โดยพระราชประสงค์ในพระบาทสมเด็จพระเจ้าอยู่หัว เล่มที่ 3. เรื่องที่ 4 2556. “ยางพารา”. ออนไลน์ เข้าถึงได้จาก <http://kanchanapisek.or.th> วันที่สืบค้น 6 เมษายน 2557.
26. วิถีพีเดีย. 2554 “ยางพารา” [ออนไลน์]. เข้าถึงได้จาก <http://th.wikipedia.org/wiki> วันที่สืบค้น 11 กันยายน 2557.
- 27 สถาบันวิจัยยาง กรมวิชาการเกษตร กระทรวงเกษตรและสหกรณ์ “ข้อมูลวิชาการยางพารา2553” [ออนไลน์]. เข้าถึงได้จาก <http://www.rubberthai.com/about/data.php> วันที่สืบค้น 11 กันยายน 2554
28. Tomes, D., Lakshmanan, P. and Songstad, D., 2011, Biofuels: Global Impact on Renewable Energy, Production Agriculture, and Technological Advancements.
29. ประชาสัมพันธ์ ไตรยสุทธิ์ และคณะ 2550 การผลิตใบโอดีเซลจากน้ำมันเมล็ดยางพาราด้วยวิธีtransesterification คehrั้งแบบ 2 ชั้นตอน การประชุมวิชาการเครือข่ายวิศวกรรมเครื่องกลแห่งประเทศไทยครั้งที่ 21 จังหวัดชลบุรี.
30. Bart, J.C.J., Palmeri, N. and Cavallaro, S. 2010. *Biodiesel science and technology From soil to oil*. n.p.: Woodhead.
31. Demirbas, A. 2008. *Biodiesel: A realistic fuel alternative for diesel engines*. London: Springer-Verlag London Limited.
32. Parkash, S. 2010. *Petroleum fuels manufacturing handbook: including speciality products and sustainable manufacturing techniques*. New York: McGraw-Hill.
33. สุพรรณา ฉะยะบุตรและคณะ. ม.ป.ป. การศึกษาความเป็นเบสของตัวเร่งปฏิกิริยาของแข็งที่ใช้ในอุตสาหกรรม. สถาบันวิจัยและพัฒนา มหาวิทยาลัยศิลปากร.
34. สุภกร บุญยืน. 2555. การสังเคราะห์ใบโอดีเซลโดยใช้ตัวเร่งวิธีพันธุ์ชนิดใหม่และสร้างเครื่องตันแบบในการผลิตใบโอดีเซลจากน้ำมันใช้แล้ว. รายงานการวิจัย ประจำปี 2555. สำนักงานคณะกรรมการวิจัยแห่งชาติ
35. Marjanović DM., et. al. Calcium oxide as a promising heterogeneous catalyst for biodiesel production: Current state and perspectives. *Renewable and Sustainable Energy Reviews*, 2016; 56: 1387-1408.
36. Jutika, B., Deka, D. and Thakur, A.J. 2012. A Review on solid oxide derived from waste shells as catalyst for biodiesel product. *Renewable and Sustainable Energy Reviews*, 16 : 904-910.
37. แม้น ออมรสิทธิ์ และคณะ. 2554. หลักการและเทคนิคการวิเคราะห์เชิงเครื่องมือ. พิมพ์ครั้งที่ 2.  
กรุงเทพฯ: บริษัท ชวนพิมพ์ 50 จำกัด.

### បរណាប្រភព (ទេ)

38. Saifuddin, N. and Chua, K.H. 2004. Production of Ethyl Ester (Biodiesel) from used Frying Oil : Optimization of Tranesterification Process Using Microwave Irradiation. *Malaysian Journal of Chemistry*, 6:77-82.
39. Zhu H, Wu Z, Chen Y, Zhang P, Duan S, Liu X, Mao Z. 2006. Preparation of Biodiesel Catalyzed by Solid Super Base of Calcium Oxide and Its Refining Process. *Chinese Journal of Catalysis*, 27: 391-396.
40. Encinar JM, Gonzalez JF, Rodriguez A. 2007. Ethanolysis of used frying oil. Biodiesel preparation and characterization. *Fuel Process Technol*, 88 : 513-522.
41. Oliveira LS, Franca AS, Camargos RSS, Ferraz VP. 2007. Coffee oil as a potential feedstock for biodiesel production. *Bioresour Technol*, 99 : 3244-3250.
42. Boey P-L, Ganesan S, Maniam GP, Khairuddean M. 2011. Catalyst derived from waste sources in the production of biodiesel using waste cooking oil. *Catalysis Today*, 109:117-121.
43. Kaur, N., Ali, A. 2011. Lithium ion impregnated calcium oxide as nano catalyst for the biodiesel production from karanja and jatropha oils. *Renewable Energy*, 35: 2866-2871.
44. Jairam S, Kolar P, Sharma-Shivappa, R, Osborne JA, Davis JP. 2012. KI-impregnated oyster shell as a solid catalyst for soybean oil transesterification. *Bioresource Technology*, 104 : 329-335.
45. Viriya-empikul N, Krasae P, Nualpaeng W, Yoosuk B, Faungnawakij K. 2012. Biodiesel production over Ca-based solid catalysts derived from industrial wastes. *Fuel*, 92: 239-244.
46. Ahmad, J., Yusup, S., Bokhari, A. Nik, R. and Kamil, M. 2014. Study of fuel properties of rubber seed oil based biodiesel. *Energy Conversion and Management*, 78:266-275.
47. Mohamed, M., Rashidi, N. A., Yusup, S., Teong, L.K., Rashid, U. and Al, R.M. 2012. Effects of experimental variables on conversion of cockle shell to calcium oxide using thermal gravimetric analysis. *Journal of Cleaner Production*, 37:394-397.

### บรรณานุกรม (ต่อ)

48. Kaur, N., Ali, A. 2014. Ethanolysis of waste cottonseed oil over lithium impregnated calcium oxide: Kinetics and reusability studies. *Renewable Energy*, 63: 272-279.
49. Kouzu, M., Kasuno, T., Tajika, M., Sugimoto, Y., Yamanaka, S. and Hidaka, J. 2008. Calcium oxide as a solid base catalyst for transesterification of soybean oil and its application to biodiesel production. *Fuel*, 87: 2798-2806.
50. Sharma, Y.C., Singh, B. and Korstad, J. n.d. Application of an Efficient Nonconventional Heterogeneous Catalyst for Biodiesel Synthesis from Pongamia pinnata Oil. *energy&fuels* article.
51. Patil, P., Deng, S., Rhodes, J.L., and Lammers, P.J. 2010. Conversion of waste cooking oil to biodiesel using ferric sulphate and supercritical methanol processes. *Fuel*, 89:360-364.
52. Wootthikanokkhan, S., Mutchika, S. and Phontee, A. (2011). Removal of free fatty acid in crude *Jatropha Curcas* oil using ferric sulphate for biodiesel production, *Suranaree J. Sci. Technol.*, 18: 229-237.
53. Santoso, H., Iryanto, Inggrid, M. 2014. Effect of Temperature, Pressure, Preheating Time and Pressing Time on Rubber Seed Oil Extraction Using Hydraulic Press. *Procedia Chemistry*, 9: 248-256.
54. Meher, L.C., Kulkarni, M.G., Dalai, A.K. and Naik, S.N. 2006. Transesterification of karanja (*Pongamia pinnata*) oil by solid basic catalysts. *Eur. J. lipid Sci. Technol.*, 108: 389-397.
55. Watcharathamrongkul, K. Jongsomjit, J. and Phisalaphong M. 2010. Calcium oxide based catalysts for ethanolysis of soybean oil. *Songklanakarin J Sci. Technol.* 32: 627-634.
56. Kaur, N., Ali, A. 2014. Kinetics and reusability of Zr/CaO as heterogenous catalyst for the ethanolysis and methanolysis by *Jatropha crucas* oil. *Fuel Processing Technology*. 119: 173-184.

ภาคผนวก



## ภาคผนวก ก

### การวิเคราะห์ปริมาณกรดไขมันอิสระตามวิธีมาตรฐาน AOAC 940.28

#### ก.1 อุปกรณ์และเครื่องมือ

- 1 กระยะกรอง
- 2 ขวดรูปชามพู่ ขนาด 250 มล.
- 3 ป๊เปต ขนาด 1 มล.
- 4 ป๊เปต ขนาด 10 มล.
- 5 บิกเกอร์ ขนาด 100 มล.
- 6 บิวเรต ขนาด 50 มล.
- 7 หลอดทดลองสาร
- 8 เครื่องซั่ง
- 9 เตาอบ

#### ก.2 สารเคมีและการเตรียม

- 1 สารละลายโซเดียมไฮดรอกไซด์ที่มีความเข้มข้น 0.25 โนมลาร์
 

เตรียมโดยซึ่งโซเดียมไฮดรอกไซด์ ปริมาณ 5.0000 กรัม (บันทึกน้ำหนักที่แน่นอน) นำมาละลายด้วยน้ำกลั่นและปรับปริมาตรเป็น 500 มล. หากความเข้มข้นที่แน่นอนของสารละลายโซเดียมไฮดรอกไซด์ โดยการให้เทรตกับสารละลายมาตรฐานโพแทสเซียมไฮโดรเจนพลาเตต
- 2 สารละลายมาตรฐานโพแทสเซียมไฮโดรเจนพลาเตต
 

ซึ่งสารละลายมาตรฐานโพแทสเซียมไฮโดรเจนพลาเตตประมาณ 15-20 กรัม (ซึ่งหยาบ) บดให้ละเอียดนำไปอบที่อุณหภูมิ 120 °C เป็นเวลา 2 ชั่วโมง ปล่อยให้เย็นในเดซิเคเตอร์ ซึ่ง 10.0000 กรัม(จดน้ำหนักละเอียด) นำมาละลายด้วยน้ำกลั่นและปรับปริมาตรเป็น 1 ลิตร คำนวณความเข้มข้นที่แน่นอนของสารละลายมาตรฐานโพแทสเซียมไฮโดรเจนพลาเตตในหน่วยโนมลาร์
- 3 สารละลายฟื้นอลพทาลีน
 

เตรียมโดยซึ่งฟื้นอลพทาลีนของแข็งหนัก 1 กรัม ละลายใน.ethanol ที่มีความบริสุทธิ์ร้อยละ 95 และปรับปริมาตรเป็น 100 มล.

### ก.3 วิธีการทดลอง

1 การไฟเกรตเพื่อหาความเข้มข้นที่แน่นอนของสารละลายน้ำไฮดรอกไซด์

1.1 ปั๊บสารละลายน้ำตราชูน KHP 40 มล.ลงในขวดรูปทรงพู่ขนาด 250 มล. หยดฟี-นอร์ฟ ชาลีน 3 หยด

1.2 ไฟเกรตด้วยสารละลายน้ำไฮดรอกไซด์ ที่จุ่ดยูติดสารละลายน้ำสีชมพูอ่อนอย่างถาวร

1.3 คำนวณความเข้มข้นของสารละลายน้ำไฮดรอกไซด์ ในหน่วยโมลาร์ ได้เท่ากับ 0.2504 โมลาร์

2 การไฟเกรตเพื่อหาปริมาณกรดไขมันอิสระในน้ำมันตัวอย่าง

2.1 ชั่งตัวอย่างน้ำมันด้วยเครื่องชั่งละเอียด 7.05 กรัม (บันทึกน้ำหนักที่แน่นอน) ใส่ในขวดรูปทรงพู่ขนาด 250 มล.

2.2 ตวงเอทานอล 50 มล. มาทำให้เป็นกลางโดยการเติมสารละลายน้ำออลฟทาลีน

2 มล. และหยดโซเดียมไฮดรอกไซด์ที่มีความเข้มข้น 0.1 โมลาร์ลงไปจนสารละลายน้ำสีชมพูอ่อนหาย去อย่างถาวร

2.3 เทสารละลายน้ำ 2.3 ลงในตัวอย่างน้ำมันที่ซึ่งเตรียมไว้ในข้อ 2.1

2.4 ไฟเกรตด้วยสารละลายน้ำไฮดรอกไซด์ ที่เตรียมในข้อ 1 โดยให้เขย่าแรงๆ ในระหว่างที่ทำการไฟเกรต จนปรากฏเป็นสีชมพูอย่างถาวร อุ่นนานกว่า 1 นาที (การมองสีจะค่อนข้างยาก เพราะน้ำมันเมล็ดพารามีสีน้ำตาลเข้ม)

2.5 ทำการไฟเกรตตัวอย่างเดียวกันซ้ำอีก 1 ครั้ง

### ก.4 การคำนวณปริมาณกรดไขมันอิสระในตัวอย่าง

ก.4.1 รายงานปริมาณกรดไขมันอิสระในน้ำมันเมล็ดพาราและรายงานผลในรูปข้อyle ของกรดไขมันอิสระ โดยจากตารางที่ 4.1 ผลการวิเคราะห์ท้องค์ประกอบของกรดไขมันพบว่าในน้ำมันเมล็ดพารามีปริมาณกรดลิโนเลอิกสูงสุดดังนี้ในการคำนวณจึงใช้มูลเชิงไม่เสถียรของกรดลิโนเลอิกเป็นตัวแทน มูลเชิงไม่เสถียรของกรดลิโนเลอิก = 280.45 กรัม/โมล

#### หลักการคำนวณ

$$\text{จำนวนโมลของ } \text{OH}^- = \text{จำนวนโมลของ } \text{H}^+$$

$$\text{น้ำหนักของกรดไขมันอิสระ} = \text{จำนวนโมลของ } \text{H}^+ \times \text{มวลโมเลกุลของกรดลิโนเลอิก}$$

$$\text{ร้อยละโดยน้ำหนักของกรดไขมันอิสระ} = \frac{\text{น้ำหนักของกรดไขมันอิสระ}}{\text{น้ำหนักของตัวอย่าง}} \times 100$$

น้ำหนักของตัวอย่าง

### ตัวอย่างการคำนวณ

น้ำหนักตัวอย่างน้ำมัน ครั้งที่ 1 = 7.0124 กรัม

ครั้งที่ 2 = 7.0146 กรัม

ความเข้มข้นของ NaOH = 0.2504 มิลลิกรัม

ครั้งที่ 1 ปริมาตรของสารละลาย NaOH ที่ใช้ในการไฟเทเรต = 29.00 มล.

$$\text{จำนวนโมล ของ } H^+ = \frac{0.2504}{1000} \times 29.00$$

$$= 7.26 \times 10^{-3} \text{ โมล}$$

$$\text{น้ำหนักของกรดไขมันอิสระในน้ำมันตัวอย่าง} = 7.26 \times 10^{-3} \times 280.45$$

$$= 2.0360 \text{ กรัม}$$

$$\text{ร้อยละโดยน้ำหนักของกรดไขมันอิสระ} = \underline{2.0360 \text{ กรัม}} \times 100$$

$$7.0146$$

$$= 29.0$$

ครั้งที่ 2 ปริมาตรของสารละลาย NaOH ที่ใช้ในการไฟเทเรต = 29.05 มล.

$$\text{จำนวนโมล ของ } H^+ = \frac{0.2504}{1000} \times 29.05$$

$$= 7.27 \times 10^{-3} \text{ โมล}$$

$$\text{น้ำหนักของกรดไขมันอิสระในน้ำมันตัวอย่าง} = 7.27 \times 10^{-3} \times 280.45$$

$$= 2.0388 \text{ กรัม}$$

$$\text{ร้อยละโดยน้ำหนักของกรดไขมันอิสระ} = \underline{2.0388 \text{ กรัม}} \times 100$$

$$7.0146$$

$$= 29.0$$

$$\text{ร้อยละโดยน้ำหนักของกรดไขมันอิสระโดยเฉลี่ย} = \frac{29.0 + 29.0}{2} = 29.0$$

ก.4.2 รายงานปริมาณกรดไขมันอิสระในน้ำมันสนับด้ำและรายงานผลในรูปรอยละของกรดไขมันอิสระ โดยจากตารางที่ 4.2 ผลการวิเคราะห์องค์ประกอบของกรดไขมันพบว่าในน้ำมันสนับด้ำมีปริมาณกรดโอลิอิกสูงสุด ดังนั้นในการคำนวณจึงใช้มูลเชิงโมเลกุลของกรดโอลิอิกเป็นตัวแทน มูลเชิงโมเลกุลของกรดโอลิอิก = 282.46 กรัม/โมล

#### หลักการคำนวณ

$$\text{จำนวนโมลของ } \text{OH}^- = \text{จำนวนโมลของ } \text{H}^+$$

$$\text{น้ำหนักของกรดไขมันอิสระ} = \text{จำนวนโมลของ } \text{H}^+ \times \text{มวลโมเลกุลของกรดโอลิอิก}$$

$$\text{รอยละโดยน้ำหนักของกรดไขมันอิสระ} = \frac{\text{น้ำหนักของกรดไขมันอิสระ}}{\text{น้ำหนักของตัวอย่าง}} \times 100$$

$$\text{น้ำหนักของตัวอย่าง}$$

#### ตัวอย่างการคำนวณ

$$\text{น้ำหนักตัวอย่างน้ำมัน ครั้งที่ 1} = 7.0118 \text{ กรัม}$$

$$\text{ครั้งที่ 2} = 7.0198 \text{ กรัม}$$

$$\text{ความเข้มข้นของ NaOH} = 0.2504 \text{ มolar}$$

$$\text{ครั้งที่ 1 ปริมาตรของสารละลายนาโน่ NaOH ที่ใช้ในการไฟเทเรต} = 16.00 \text{ มล.}$$

$$\text{จำนวนโมลของ } \text{H}^+ = \frac{0.2504}{1000} \times 16.0$$

$$= 4.0064 \times 10^{-3} \text{ โมล}$$

$$\text{น้ำหนักของกรดไขมันอิสระในน้ำมันตัวอย่าง} = 4.0064 \times 10^{-3} \times 282.46$$

$$= 1.1316 \text{ กรัม}$$

$$\text{รอยละโดยน้ำหนักของกรดไขมันอิสระ} = \frac{1.1316 \text{ กรัม}}{7.0118} \times 100$$

$$= 16.1$$

$$\text{ครั้งที่ 2 ปริมาตรของสารละลายนาโน่ NaOH ที่ใช้ในการไฟเทเรต} = 16.05 \text{ มล.}$$

$$\text{จำนวนโมลของ } \text{H}^+ = \frac{0.2504}{1000} \times 16.05$$

$$= 4.0189 \times 10^{-3} \text{ โมล}$$

$$\text{น้ำหนักของกรดไขมันอิสระในน้ำมันตัวอย่าง} = 4.0189 \times 10^{-3} \times 282.46$$

$$= 1.1351 \text{ กรัม}$$

$$\text{รอยละโดยน้ำหนักของกรดไขมันอิสระ} = \frac{1.1351 \text{ กรัม}}{7.0198} \times 100$$

7.0198

 $= 16.1$ 

$$\text{ร้อยละโดยน้ำหนักของกรดไฮมันอิสระโดยเฉลี่ย} = \frac{16.1 + 16.1}{2} = 16.1$$

moS<sup>2</sup>

## ภาคผนวก ข

### ตัวอย่างการคำนวณปริมาณสารตั้งต้นและปริมาณตัวเร่งปฏิกิริยา ในการลดปริมาณกรดไขมันอิสระในน้ำมัน

ข.1.1 ตัวอย่างการคำนวณปริมาณสารตั้งต้นและปริมาตรตัวเร่งปฏิกิริยาในการลดปริมาณกรดไขมันอิสระในน้ำมันเมล็ดพาราฟารา

การคำนวณปริมาณเอทานอลที่ใช้ในการทำปฏิกิริยาที่อัตราส่วนโดยไม่ระบุระหว่างเอทานอลต่อกรดไขมันอิสระที่ 17:1

จากตารางที่ 4.1 ผลการวิเคราะห์องค์ประกอบของกรดไขมันพบว่าในน้ำมันเมล็ดพาราฟารามีปริมาณกรดลิโนเลอิกสูงสุดดังนี้ในการคำนวณจึงใช้มูลเชิงโมเลกุลของกรดลิโนเลอิกเป็นตัวแทนในการคำนวณ มวลเชิงโมเลกุลของกรดลิโนเลอิก = 280.45 กรัม/โมล

ปริมาณกรดไขมันอิสระในน้ำมันเมล็ดพาราที่ใช้ในงานวิจัยเริ่มต้นเท่ากับร้อยละ 29.0 โดยน้ำหนัก ในการทำปฏิกิริยาใช้น้ำมันเมล็ดพาราปริมาณ 200 กรัม

$$\text{ตั้งนั้นจำนวนโมลของกรดไขมันอิสระในน้ำมันเมล็ดพาราเริ่มต้น} = \frac{200 \times 0.290}{280.45} \\ = 0.2068 \text{ โมล}$$

1 ตัวอย่างการคำนวณปริมาณเอทานอลที่ใช้ในการทำปฏิกิริยา

$$\text{ที่อัตราส่วนโดยไม่ระบุระหว่างเอทานอลต่อกรดไขมันอิสระ} = 17:1$$

$$\text{กรดไขมันอิสระ } 1 \text{ โมล ใช้เอทานอล} = 17 \text{ โมล} \times 46.07 \text{ กรัม/โมล}$$

$$\text{กรดไขมันอิสระ } 0.2068 \text{ โมล ใช้เอทานอล} = 17 \times 46.07 \times 0.2068 \\ = 161.9636 \text{ กรัม}$$

$$\text{ความหนาแน่นของเอทานอล} = 0.79 \text{ กรัม/มล.}$$

$$\text{ตั้งนั้นปริมาณของเอทานอล} = \frac{161.9636}{0.79} \\ = 205.0 \text{ มล.}$$

2 ตัวอย่างการคำนวณปริมาณตัวเร่งปฏิกิริยาเพอริกซ์ลเฟต

$$\text{ตัวเร่งปฏิกิริยาเพอริกซ์ลเฟต} 3.0 \text{ โดยน้ำหนักของน้ำมัน}$$

น้ำมันหนัก 97.0 กรัม ใช้ตัวเร่งปฏิกิริยาเฟอริกซ์ลเฟต 3.0 กรัม

$$\text{น้ำมันหนัก } 200 \text{ กรัม ใช้ตัวเร่งปฏิกิริยาเฟอริกซ์ลเฟต} = \frac{200 \times 3.0}{97.0}$$

$$= 6.19 \text{ กรัม}$$

จากตารางที่ 4.2 ผลการวิเคราะห์องค์ประกอบของกรดไขมันพบว่าในน้ำมันสบู่คำมีปริมาณกรดโอลีอิกสูงสุดตั้งนี้ในการคำนวณจึงใช้มูลเชิงโมเลกุลของกรดโอลีอิกเป็นตัวแทนในการคำนวณ  
มวลเชิงโมเลกุลของกรดโอลีอิก = 282.46 กรัม/โมล

ปริมาณกรดไขมันอิสระในน้ำมันสบู่คำที่ใช้ในงานวิจัยเริ่มต้นเท่ากับร้อยละ 16.1 โดยน้ำหนักในการทำปฏิกิริยาใช้น้ำมันสบู่คำปริมาณ 200 กรัม

$$\text{ตั้งน้ำหนักจำนวนโมลของกรดไขมันอิสระในน้ำมันสบู่คำเริ่มต้น} = \frac{200 \times 0.161}{282.46}$$

$$= 0.1140 \text{ โมล}$$

#### 1 ตัวอย่างการคำนวณปริมาณเอทานอลที่ใช้ในการทำปฏิกิริยา

$$\text{ที่อัตราส่วนโดยโมลระหว่างเอทานอลต่อกรดไขมันอิสระ} = 17:1$$

$$\text{กรดไขมันอิสระ } 1 \text{ โมล ใช้เอทานอล} = 17 \text{ โมล} \times 46.07 \text{ กรัม/โมล}$$

$$\text{กรดไขมันอิสระ } 0.1140 \text{ โมล ใช้เอทานอล} = 17 \times 46.07 \times 0.140$$

$$= 89.2836 \text{ กรัม}$$

$$\text{ความหนาแน่นของเอทานอล} = 0.79 \text{ กรัม/มล.}$$

$$\text{ตั้งน้ำหนักปริมาณของเอทานอล} = \frac{89.2836}{0.79}$$

$$= 113.0 \text{ มล.}$$

#### 2 ตัวอย่างการคำนวณปริมาณตัวเร่งปฏิกิริยาเฟอริกซ์ลเฟต

ตัวเร่งปฏิกิริยาเฟอริกซ์ลเฟตร้อยละ 3.0 โดยน้ำหนักของน้ำมัน

น้ำมันหนัก 97.0 กรัม ใช้ตัวเร่งปฏิกิริยาเฟอริกซ์ลเฟต 3.0 กรัม

$$\text{น้ำมันหนัก } 200 \text{ กรัม ใช้ตัวเร่งปฏิกิริยาเฟอริกซ์ลเฟต} = \frac{200 \times 3.0}{97.0}$$

$$= 6.19 \text{ กรัม}$$

**ภาคผนวก ค**  
**การคำนวณน้ำหนักโมเลกุลเฉลี่ยของน้ำมันเม็ดยางพารา**

ตารางที่ ค-1 การคำนวณน้ำหนักโมเลกุลเฉลี่ยของน้ำมันเม็ดยางพารา

ชนิดของกรดไขมัน	น้ำหนักโมเลกุล (กรัม/โมล)	ร้อยละโดยน้ำหนัก	สัดส่วนโดยน้ำหนัก
กรดไขมิสติก	228.37	0.08	0.18
กรดพาล์มิติก	256.42	8.77	22.48
กรดพาล์มิโนเลอิก	254.41	0.25	0.64
กรดสเทียริก	284.48	7.87	22.38
กรดโอลีอิก	282.46	25.74	72.70
กรดลิโนลีอิก	280.45	41.94	117.63
กรดไอโค	310.51	0.16	0.50
กรดอะราชิคิก	312.53	0.28	0.88
กรดลิโนลีนิก	278.43	14.79	41.17
กรดบีชินิก	340.58	0.06	0.21
ลิกโนซีลูอิก	368.63	0.06	0.22
น้ำหนักโมเลกุลกรดไขมันเฉลี่ย (กรัม/โมล)			278.99
น้ำหนักโมเลกุลกรดไขมันที่หักน้ำหนักของ OH			261.98
น้ำหนักโมเลกุลเฉลี่ยของ น้ำมันเม็ดยางพารา	= $(261.98 \times 3) + 89.08$		875.02

**ตารางที่ ค-2 การคำนวณน้ำหนักโมเลกุลเฉลี่ยของน้ำมันสนับด้ำ**

ชนิดของกรดไขมัน	น้ำหนักโมเลกุล (กรัม/โมล)	ร้อยละโดยน้ำหนัก	สัดส่วนโดยน้ำหนัก
กรดเมริสติก	228.37	0.07	0.16
กรดพาร์มิติก	256.42	14.13	36.47
กรดพาร์มิโตเลอิก	254.41	0.66	1.69
กรดสเตียริก	284.48	6.64	19.01
กรดโอลีอิก	282.46	44.99	127.90
กรดลิโนลีอิก	280.45	32.4	91.45
กรดไอโอดิค	310.51	0.06	0.19
กรดอะราชิติก	312.53	0.19	0.60
กรดลิโนลีนิก	278.43	0.17	0.48
酇ิโนซีลูอิก	368.63	0.05	0.19
น้ำหนักโมเลกุลกรดไขมันเฉลี่ย (กรัม/โมล)			278.12
น้ำหนักโมเลกุลกรดไขมันที่หักน้ำหนักของ OH			261.11
น้ำหนักโมเลกุลเฉลี่ยของ น้ำมันเมล็ดยางพารา	= $(261.11 \times 3) + 89.08$		872.42

ภาคผนวก ๔

ตัวอย่างการคำนวณปริมาณสารตั้งต้นในขั้นการทำปฏิกิริยาแทรนส์เอสเทอโรฟิเคน

ง1 ตัวอย่างการคำนวณปริมาณเอกสารอลที่อัตราส่วนโดยไม่กระห่วงระหว่างเอกสารอลกับน้ำมัน

ปริมาณเอทานอลที่อัตราส่วนโดยไม่ลกระห่างระหว่างเอทานอลกับน้ำมันเมล็ดยางพาราเท่ากับ 12:1

น้ำมันเมล็ดยางพารา	875.02 กรัม	ใช้ปริมาณเอทานอล	$46.07 \times 12$	กรัม
น้ำมันเมล็ดยางพารา	15.0 กรัม	ใช้ปริมาณเอทานอล	$\frac{46.07 \times 12 \times 15}{875.02}$	กรัม
			= 9.48	กรัม
จากสูตร	ความหนาแน่น	=	$\frac{m}{v}$	0.79 กรัม/มิลลิลิตร
ปริมาณเอทานอลที่ใช้	=	$\frac{9.48}{0.79}$		
		= 12.0 มิลลิลิตร		

ปริมาณเอทานอลที่อัตราส่วนโดยไม่คระห์ว่างเอทานอลกับน้ำมันสปีด้า เท่ากับ 12:1

น้ำมันสปูด้า	872.42 กรัม ใช้ปริมาณເອທານອລ	$46.07 \times 12$ กรัม
น้ำมันสปูด้า	15.0 กรัม ใช้ปริมาณເອທານອລ	$\frac{46.07 \times 12 \times 15}{872.42}$ กรัม
		= 9.51 กรัม
จากสูตร	ความหนาแน่น = $\frac{m}{v}$	= 0.79 กรัม/มลลิลิตร
ปริมาณເອທານອລที่ใช้	= $\frac{9.51}{0.79}$	
	= 12.0 มลลิลิตร	

หมายเหตุ ที่อัตราส่วนอื่นใช้วิธีการคำนวณเหมือนกัน

ง2 ตัวอย่างการคำนวณปริมาณตัวเร่งปฏิกิริยาที่ร้อยละ 3 โดยน้ำหนัก เมื่อใช้ปริมาณน้ำมันเริ่มต้น 15.0 กรัม

$$\text{น้ำหนักของตัวเร่งปฏิกิริยาทั้ง 3 โดยน้ำหนัก} = \frac{3 \times 15}{97} = 0.46 \text{ กิรัม}$$

### ภาคผนวก จ

#### ผลของปริมาณเอธิลเอสเทอร์จากการทำปฏิกิริยาที่ภาวะต่างๆ

ตารางที่ จ 7-1 ผลปริมาณเอธิลเอสเทอร์จากการศึกษาอัตราส่วนโดยไม่ระบุห่วงเอทานอลต่อน้ำมันสนูด้าที่ 9:1 เมื่อทำปฏิกิริยาแพรนส์เอสเทอริฟิคเข้นที่อุณหภูมิ  $75^{\circ}\text{C}$  เวลา 1-5 ชั่วโมง ปริมาณตัวเร่งปฏิกิริยาร้อยละ 3 โดยน้ำหนัก

เวลา (ชม)	ปริมาณเอธิลเอสเทอร์ (ร้อยละโดยน้ำหนัก)		ปริมาณเอทิล เอสเทอร์	ค่าเบี้ยงเบน มาตรฐาน
	ครั้งที่ 1	ครั้งที่ 2		เฉลี่ย(ร้อยละ โดยน้ำหนัก)
1	77.1	78.04	77.6	0.7
2	80.2	78.07	79.1	1.5
3	83.1	80.25	81.7	2.0
4	85.2	82.6	83.9	1.8
5	85.6	83.58	84.6	1.4

ตารางที่ ฉ 7-2 ผลปริมาณเอทิลเอสเทอร์จากการศึกษาอัตราส่วนโดยไม่ระบุว่างເອທານອລຕ່ວນໍາມັນສຸດຳທີ່ 12:1 ເພື່ອທຳປົງກິໂຮຍແຫຣນສີເອສເທອຣິຟີເຄັ້ນທີ່ອຸນຫກຸມ  $75^{\circ}\text{C}$  ເວລາ 1-5 ຊົ່ວໂມງ ປະມານດັວງປົງກິໂຮຍຮ້ອຍລະ 3 ໂດຍນໍາໜັກ

ເວລາ (ໜມ)	ປະມານເອທີລເອສເທອ່ຽ		ປະມານເອທີລ ເອສເທອ່ຽ	ຄ່າເປີຍແບນ ມາຕຮຽນ
	ຄົງທີ່ 1	ຄົງທີ່ 2		ເຊີ້ຍ(ຮ້ອຍລະ ໂດຍນໍາໜັກ)
1	79.3	78.3	78.8	0.7
2	77.4	77.9	77.7	0.4
3	81.6	81.9	81.8	0.2
4	83.4	82.4	82.9	0.7
5	83.4	82.5	83.0	0.7

ตารางที่ ฉ 7-3 ผลປະມານເອທີລເອສເທອ່ຽจากการศึกษาอัตราส่วนโดยไม่ระบุວ່າເອທານອລຕ່ວນໍາມັນສຸດຳທີ່ 15:1 ເພື່ອທຳປົງກິໂຮຍແຫຣນສີເອສເທອຣິຟີເຄັ້ນທີ່ອຸນຫກຸມ  $75^{\circ}\text{C}$  ເວລາ 1-5 ຊົ່ວໂມງ ປະມານດັວງປົງກິໂຮຍຮ້ອຍລະ 3 ໂດຍນໍາໜັກ

ເວລາ (ໜມ)	ປະມານເອທີລເອສເທອ່ຽ		ປະມານເອທີລ ເອສເທອ່ຽ	ຄ່າເປີຍແບນ ມາຕຮຽນ
	ຄົງທີ່ 1	ຄົງທີ່ 2		ເຊີ້ຍ(ຮ້ອຍລະ ໂດຍນໍາໜັກ)
1	74.7	72.2	73.5	1.8
2	77.5	77.1	77.3	0.3
3	77.2	78.9	78.1	1.2
4	81.0	78.6	79.8	1.7
5	80.1	78.9	79.5	0.9

ตารางที่ ฉ 7-4 ผลปริมาณเอทธิลเอสเทอร์จากการศึกษาอัตราส่วนโดยไม่ระบุว่าอุณหภูมิ  
น้ำมันสนับด้ำที่ 18:1 เมื่อทำปฏิกริยาแพรนส์เอสเทอโรฟิเคลชันที่อุณหภูมิ  $75^{\circ}\text{C}$  เวลา 1-5 ชั่วโมง  
ปริมาณตัวเร่งปฏิกริยาร้อยละ 3 โดยน้ำหนัก

เวลา (ชม)	ปริมาณเอทธิลเอสเทอร์		ปริมาณเอทธิล เอสเทอร์	ค่าเบี่ยงเบน มาตรฐาน
	ร้อยละโดยน้ำหนัก	เอสเทอร์		
	ครั้งที่ 1	ครั้งที่ 2	เฉลี่ย(ร้อยละ โดยน้ำหนัก)	
1	73.7	72.2	73.0	1.1
2	75.3	75.9	75.6	0.4
3	82.1	80.8	81.5	0.9
4	81.2	80.5	80.8	0.5
5	80.2	78.8	79.5	1.0

ตารางที่ จ 7-5 ผลปริมาณเอทธิลเอสเทอร์จากการศึกษาอัตราส่วนโดยไม่ระบุว่าอุณหภูมิ  
น้ำมันเมล็ดยางพาราที่ 9:1 เมื่อทำปฏิกริยาแพรนส์เอสเทอโรฟิเคลชันที่อุณหภูมิ  $75^{\circ}\text{C}$  เวลา 1-5  
ชั่วโมง ปริมาณตัวเร่งปฏิกริยาร้อยละ 3 โดยน้ำหนัก

เวลา (ชม)	ปริมาณเอทธิลเอสเทอร์		ปริมาณเอทธิล เอสเทอโรฟิเคลชัน (ร้อยละโดย น้ำหนัก)	ค่าเบี่ยงเบน มาตรฐาน
	ร้อยละโดยน้ำหนัก	เอทธิลเอสเทอโรฟิเคลชัน		
	ครั้งที่ 1	ครั้งที่ 2	เฉลี่ย(ร้อยละ โดย น้ำหนัก)	
1	60.1	65.8	63.0	4.0
2	72.3	73.5	72.9	0.8
3	75.4	73.4	74.4	1.4
4	78.8	78.7	78.8	0.1
5	80.3	82.9	81.6	1.8

ตารางที่ จ 7-6 ผลปริมาณเอทธิลเอสเทอร์จากการศึกษาอัตราส่วนโดยไม่ระบุว่างเอกสารอลต่อ  
น้ำมันเมล็ดยางพาราที่ 12:1 เมื่อทำปฏิกิริยาแแทรนส์เอสเทอโรฟิเคลเซนที่อุณหภูมิ  $75^{\circ}\text{C}$  เวลา 1-5  
ชั่วโมง ปริมาณตัวเร่งปฏิกิริยาอยละ 3 โดยน้ำหนัก

เวลา (ชม)	ปริมาณเอทธิลเอสเทอร์ (ร้อยละโดยน้ำหนัก)		ปริมาณเอทธิล เอสเทอโรฟิเคลเซน (ร้อยละโดย น้ำหนัก)	ค่าเบี่ยงเบน มาตรฐาน
	ครั้งที่ 1	ครั้งที่ 2		
1	57.8	59.1	58.5	0.9
2	60.5	63.0	61.8	1.8
3	69.8	67.0	68.4	2.0
4	79.1	79.9	79.5	0.6
5	81.3	82.7	82.0	1.0

ตารางที่ จ 7-7 ผลปริมาณเอทธิลเอสเทอร์จากการศึกษาอัตราส่วนโดยไม่ระบุว่างเอกสารอลต่อ  
น้ำมันเมล็ดยางพาราที่ 15:1 เมื่อทำปฏิกิริยาแแทรนส์เอสเทอโรฟิเคลเซนที่อุณหภูมิ  $75^{\circ}\text{C}$  เวลา 1-5  
ชั่วโมง ปริมาณตัวเร่งปฏิกิริยาอยละ 3 โดยน้ำหนัก

เวลา (ชม)	ปริมาณเอทธิลเอสเทอร์ (ร้อยละโดยน้ำหนัก)		ปริมาณเอทธิล เอสเทอโรฟิเคลเซน (ร้อยละโดย น้ำหนัก)	ค่าเบี่ยงเบน มาตรฐาน
	ครั้งที่ 1	ครั้งที่ 2		
1	66.6	64.7	65.7	1.3
2	74.8	66.9	70.9	5.6
3	70.6	71.9	71.3	0.9
4	76.5	78.6	77.6	1.5
5	74.2	80.5	77.4	4.5

ตารางที่ จ 7-8 ผลปริมาณเอทิลเอสเทอร์จากการศึกษาอัตราส่วนโดยไม่ระบุว่าง Ethanol ต่อน้ำมันเมล็ดยางพาราที่ 18:1 เมื่อทำปฏิกิริยาแพรนส์-เอสเทอโรฟิเคลชันที่อุณหภูมิ  $75^{\circ}\text{C}$  เวลา 1-5 ชั่วโมง ปริมาณตัวเร่งปฏิกิริยาร้อยละ 3 โดยน้ำหนัก

เวลา (ชม)	ปริมาณเอทิลเอสเทอร์		ปริมาณเอทิล เอสเทอร์เฉลี่ย	ค่าเบี่ยงเบน มาตรฐาน
	ครั้งที่ 1	ครั้งที่ 2		
1	40.9	44	42.4	2.2
2	42.2	44.6	43.4	1.7
3	48.6	47.0	47.8	1.1
4	50.8	47.4	49.1	2.4
5	60.4	57.7	59.0	1.9

ตารางที่ ฉ 7-9 ผลปริมาณเอทิลเอสเทอร์จากการศึกษาปริมาณตัวเร่งปฏิกิริยาร้อยละ 2 โดยน้ำหนัก อัตราส่วนโดยไม่ระบุว่าง Ethanol ต่อต้นน้ำมันสนบุญคำที่ 9:1 เมื่อทำปฏิกิริยาแพรนส์-เอสเทอโรฟิเคลชันที่ อุณหภูมิ  $75^{\circ}\text{C}$  เวลา 1-5 ชั่วโมง

เวลา (ชม)	ปริมาณเอทิลเอสเทอร์		ปริมาณเอทิลเอส เทอร์เฉลี่ย(ร้อย ละโดยน้ำหนัก)	ค่าเบี่ยงเบน มาตรฐาน
	ครั้งที่ 1	ครั้งที่ 2		
1	38.8	41.7	40.3	2.1
2	52.1	49.0	50.6	2.2
3	60.8	57.2	59.0	2.5
4	66.1	66.7	66.4	0.4
5	75.1	75.1	75.1	0.0

ตารางที่ ฉ 7-10 ผลปริมาณเอทิลเอสเทอร์จากการศึกษาปริมาณตัวเร่งปฏิกิริยา.r้อยละ 3 โดยน้ำหนัก อัตราส่วนโดยไม่ระบุว่างເອທານອລດต่อน้ำมันสนับดຳที่ 9:1 เมื่อทำปฏิกิริยาແຫຣນສೋສເທອຣີພເກຊັນທີ່ອຸ່ນຫຼຸມ  $75^{\circ}\text{C}$  ເວລາ 1-5 ຜົ້າໂມງ

เวลา (ชม)	ปริมาณเอทิลเอสเทอร์ (ร้อยละโดยน้ำหนัก)		ปริมาณเอทิลเอส	ค่าเบี้ยงเบน
	ครั้งที่ 1	ครั้งที่ 2	ເທືອນເຈລື່ອ(ຮ້ອຍ ລະໄດ້ນ້ຳໜັກ)	ມາຕຽບຮານ
1	77.1	78.04	77.6	0.7
2	80.2	78.07	79.1	1.5
3	83.1	80.25	81.7	2.0
4	85.2	82.6	83.9	1.8
5	85.6	83.58	84.6	1.4

ตารางที่ ฉ 7-11 ผลปริมาณเอทิลเอสเทอร์จากการศึกษาปริมาณตัวเร่งปฏิกิริยา.r้อยละ 4 โดยน้ำหนัก อัตราส่วนโดยไม่ระบุว่างເອທານອລດต่อน้ำมันสนับດຳที่ 9:1 เมื่อทำปฏิกิริยาແຫຣນສೋສເທອຣີພເກຊັນທີ່ອຸ່ນຫຼຸມ  $75^{\circ}\text{C}$  ເວລາ 1-5 ຜົ້າໂມງ

เวลา (ชม)	ปริมาณเอทิลเอสเทอร์ (ຮ້ອຍລະໄດ້ນ້ຳໜັກ)		ปริมาณเอทิลเอส	ค่าเบี้ยงเบน
	ครั้งที่ 1	ครั้งที่ 2	ເທືອນເຈລື່ອ(ຮ້ອຍ ລະໄດ້ນ້ຳໜັກ)	ມາຕຽບຮານ
1	77	78.1	77.6	0.8
2	79.3	80.0	79.7	0.5
3	83.5	82.0	82.8	1.1
4	85.6	87.4	86.5	1.3
5	89.2	90.9	90.1	1.2

ตารางที่ ฉบับ 7-12 ผลปริมาณเอทธิลเอสเทอร์จากการศึกษาปริมาณตัวเร่งปฏิกิริยา rate 2 โดยน้ำหนัก อัตราส่วนโดยไม่กระห่างอุณหภูมิ 9:1 เมื่อทำปฏิกิริยาแพรนส์เอสเทอโรฟิคเข็นที่อุณหภูมิ  $75^{\circ}\text{C}$  เวลา 1-5 ชั่วโมง

เวลา(ชม)	ปริมาณเอทธิลเอสเทอร์		ปริมาณเอทธิลเอส	ค่าเบี่ยงเบน มาตรฐาน
	(ร้อยละโดยน้ำหนัก)	เทอร์เฉลี่ย(ร้อยละ) โดยน้ำหนัก)		
	ครั้งที่ 1	ครั้งที่ 2		
1	42.5	43.4	43.0	0.6
2	60.7	62.5	61.6	1.3
3	65.2	67.3	66.3	1.5
4	67.3	68.8	68.1	1.1
5	75.4	72.5	74.0	2.1

ตารางที่ ฉบับ 7-13 ผลปริมาณเอทธิลเอสเทอร์จากการศึกษาปริมาณตัวเร่งปฏิกิริยา rate 3 โดยน้ำหนัก อัตราส่วนโดยไม่กระหังอุณหภูมิ 9:1 เมื่อทำปฏิกิริยาแพรนส์เอสเทอโรฟิคเข็นที่อุณหภูมิ  $75^{\circ}\text{C}$  เวลา 1-5 ชั่วโมง

เวลา(ชม)	ปริมาณเอทธิลเอสเทอร์		ปริมาณเอทธิลเอส	ค่าเบี่ยงเบน มาตรฐาน
	(ร้อยละโดยน้ำหนัก)	เทอร์เฉลี่ย(ร้อยละ) โดยน้ำหนัก)		
	ครั้งที่ 1	ครั้งที่ 2		
1	60.1	65.8	63.0	4.0
2	72.3	73.5	72.9	0.8
3	75.4	73.4	74.4	1.4
4	78.8	78.7	78.8	0.1
5	80.3	82.9	81.6	1.8

ตารางที่ ๗-๑๔ ผลปริมาณเอทธิลเอสเทอร์จากการศึกษาปริมาณตัวเร่งปฏิกิริยาร้อยละ ๓ โดยน้ำหนัก อัตราส่วนโดยไม่ระบุห่วงเอทานอลต่อน้ำมันเมล็ดยางพาราที่ ๙:๑ เมื่อทำปฏิกิริยาแพรนส์กอสเทอริฟิคเข้นที่อุณหภูมิ  $75^{\circ}\text{C}$  เวลา ๑-๕ ชั่วโมง

เวลา(ชม)	ปริมาณเอทธิลเอสเทอร์		ปริมาณเอทธิลเอส เทอร์เฉลี่ย(ร้อยละ โดยน้ำหนัก)	ค่าเบี่ยงเบน มาตรฐาน
	ครั้งที่ ๑	ครั้งที่ ๒		
1	71.1	68.0	69.6	2.2
2	73.0	73.1	73.1	0.1
3	73.6	75.5	74.5	1.4
4	81.0	81.7	81.4	0.4
5	85.6	85.6	85.6	0.0



# CreTech2016

## Proceeding



PMPLANNERS

# 4<sup>th</sup>

## International Conference on **Creative** Technology

August 24 – 26, 2016

[www.utkcretech.org/2016/](http://www.utkcretech.org/2016/)

**UTK**  
RAJAMANGALA  
KRUNGTHEP

For More Information  
Rajamangala University of Technology Krungthep  
Tel. +(66) 2287 9600 ext 1177  
Fax +(66) 2287 9684

# Synthesis of the ethyl ester biodiesel from rubber seed oil and *Jatropha curcas* oil by using heterogeneous catalyst from *Anadara granosa* shell

Sasiwimol Woothikanokkhan<sup>1</sup>/ Chatchawan Sookman<sup>2</sup>/ Thanaporn Chuen-Im<sup>3</sup>

<sup>1</sup>Department of Chemistry, Faculty of Science and Technology,  
Rajamangala University of Technology Krungthep,  
Bangkok, Thailand  
[sasiwimol.w@rmutk.ac.th](mailto:sasiwimol.w@rmutk.ac.th)

<sup>2</sup>Department of Chemical Engineering, Faculty of Engineering,  
Rajamangala University of Technology Krungthep,  
Bangkok, Thailand  
[chatchawan.s@rmutk.ac.th](mailto:chatchawan.s@rmutk.ac.th)

<sup>3</sup>Department of Microbiology, Faculty of Science, Silpakorn University,  
Nakorn Pathom, Thailand  
[suy85@hotmail.co.uk](mailto:suy85@hotmail.co.uk)

## ABSTRACT

This research was to study ethyl ester synthesis from non-edible oils, rubber seed and *Jatropha curcas* oils. Prior to subject to transesterification, high free fatty acid containing in both oils were reduced through esterification reaction. Preparation of catalyst used for ethyl ester production started by calcination of waste *Anadara granosa* shell at 1000 °C before impregnation with LiNO<sub>3</sub> at 1.75 %w/w of Li concentration. The parameters studied to optimize the condition for transesterification included molar ratio of ethanol to oil (9:1-18:1), the catalyst amount(2-4 %w/w), temperature (55-75°C), reaction time (1-5 h). The results indicated that the prepared catalyst could be used in synthesis of ethyl ester biodiesel, and the optimized condition for both oils was the ethanol to oil molar ratio at 9:1, the catalyst amount at 4 % w/w, the reaction temperature at 75°C, and the reaction time at 5 h. This yielded ethyl ester when utilized rubber seed oil and *Jatropha curcas* oil as raw material at 90.1 %w/w and 85.6 %w/w, respectively.

## KEYWORDS

Ethyl ester; rubber seed oil; *Jatropha curcas* oil; *Anadara granosa* shell.

## INTRODUCTION

Presently, rubber seed oil and *Jatropha curcas* oil are considered, in particular Thailand and Asian countries, as important raw materials for renewable energy. In biodiesel production, calcium oxide (CaO) is widely used as a catalyst because of its highly reactivity, availability, and low toxicity [2]. Furthermore, CaO can be prepared from calcination of waste materials e.g. shells at high temperature [4]. Meher et al. reported that reactivity of CaO will be increased when impregnated with lithium (Li),

and can be used for catalysis of oil with > 1 % w/w high free fatty acid (FFA) [1, 3]. Thus it is suitable for non-edible oils which usually contain high free fatty acid. The aim of this research was to determine utilization and efficiency of waste shells as a catalyst in ethyl ester biodiesel synthesis.

## MATERIALS AND METHODS

### Raw Materials and Chemicals

The rubber seeds were purchased from rubber plantation from the North-East region of Thailand. The *Jatropha curcas* oil was purchased from Thai Jatropha Co., Ltd., Pathum Thani Province. The *Anadara granosa* shells were obtained from a local market. All chemicals were of analytical grade.

### Catalyst Preparation

For CaO preparation, the *Anadara granosa* shells were cleaned and air dried. The mashed shell was then, calcined at 1000 °C for 2 h prior to perform XRD analysis. Wet impregnation of CaO was carried out by mixing calcined *Anadara granosa* shell CaO with LiNO<sub>3</sub> solution, containing 1.75%w/w Li, and stirring for 2 h continuously before drying again at 100°C for 24 h [1].

### Transesterification Reaction

All experiments were carried out in a reflux system. The reaction was started by mixing a desired amount of catalyst and ethanol in a three-necked flask. The reaction was heated while stirring (700 rpm). When the desired temperature reached, 15 g of oil was added and allowed the reaction continuing until reaching the reaction time. The mixture was kept in a separatory funnel overnight to allow complete separation between catalyst and ethyl ester

layers. On the next day, the mixture was filtered to separate the catalyst before heat at 100°C to evaporate ethanol from the ester layer, while the glycerol was collected at the bottom of the flask. Quantification of the ethyl ester was determined by EN 14103 standard method.

## RESULTS AND DISCUSSION

### Properties of Crude Oil

Table 1 illustrates the chemical and physical properties of the crude oil investigated by standard methods.

Properties	Jatropha curcas oil	Rubber seed oil
Viscosity, cSt	35.18	30.11
Water content, % w/w	0.23	0.21
Free fatty acid content, % w/w	16.1 (as oleic acid)	29.0 (as linoleic acid)

Table 1. Chemical and physical properties of crude oils

### Characterization of CaO

Figure 1 shows the X-ray diffraction (XRD) patterns from *Anadara granosa* shell samples after calcination confirming that the transformation of CaCO<sub>3</sub> in shells into CaO was completed.

### Effect of Variables on Transesterification

Determination of the effect of ethanol/oil molar ratio on the reaction revealed that at 9:1 and 12:1 molar ratios, the reaction yields were almost the same. Besides, the ester amounts from both ratios trended to be increased when the reaction time was longer, and stable at 5 h reaction time. Compared with 9:1 and 12:1 molar ratios, using 15:1 and 18:1 molar ratios gave lower amounts of ethyl ester.

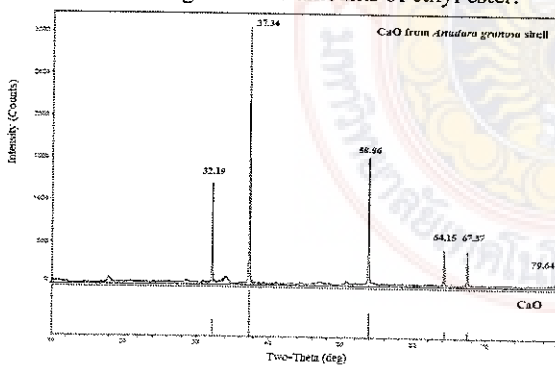


Figure 1: XRD patterns of CaO and *Anadara granosa* shells after being calcined at 1000 °C for 2 h.

Importantly, increasing catalyst amount from 2 to 4% w/w resulted in higher yield. The increased ethyl ester amounts were observed from 74.0 to 85.6 %w/w and from 75.1 to 90.1 %w/w for rubber seed oil and *Jatropha curcas* oil, respectively, at the reaction condition of 9:1 ethanol/oil molar ratio, reaction time at 5 h, and 75°C. It should be noted that no separation of glycerol was seen when using the same reaction condition but without catalyst addition. Finally, the effect of temperature on the ethyl ester synthesis was examined by comparing the yield between 2 reaction temperatures, 55 and 65°C at the reaction time of 5 h. For both rubber seed oil and *Jatropha curcas* oil increasing of ethyl ester, for about 60-70 %w/w was obtained from both reaction temperatures. One explanation is that when reaction temperature was higher, decreasing of oil viscosity occurred. This led into increasing of interaction between catalyst and oil, thereby higher reactivity.

## CONCLUSION

The results from this study indicated that Li/CaO from *Anadara granosa* shells can be potentially used to prepare a high reactive catalyst for ethyl ester synthesis. From the results, it was found that the optimal condition for the highest yield for both oils is reaction time at 5 h., molar ratio of ethanol to oil at 9:1, and temperature at 75°C.

## ACKNOWLEDGMENT

This research was supported by a grant from Rajamangala University of Technology Krungthep.

## REFERENCES

1. Kaur, M., Ali, A. Lithium ion impregnated calcium oxide as nano catalyst for the biodiesel production from karanja and jatropha oils. *Renewable Energy* 36 (2001), 2866-2871.
2. Lee, D-W, Park, Y-M, Lee, K-Y. Heterogeneous base catalysts for transesterification in biodiesel synthesis. *Catalysis Surveys from Asia* 13(2009), 63-77.
3. Meher, L.C., Kulkarni, M. G., Dalai, A. K., Naik, S.N. Transesterification of karanja oil by solid basic catalysts. *European Journal of Lipid Science and Technology* 108 (2006), 389-397.
4. Zabeti, M., Wan Daud, WM. A., Aroua, K. Acitivity of solid catalysts for biodiesel production: A review. *Fuel Processing Technology* 90(2009), 770-777.